

# مجلة جامعة حمص

## سلسلة العلوم الأساسية



مجلة علمية محكمة دورية

المجلد 47 . العدد 17

2025 هـ - 1447 م

**الأستاذ الدكتور طارق حسام الدين رئيس جامعة حمص**

**المدير المسؤول عن المجلة**

رئيس تحرير مجلة جامعة حمص للغات الإنسانية	أ. د. وليد حمادة
رئيس تحرير مجلة جامعة حمص للغات الطبيعية والهندسية والأساسية والتطبيقية	د. نعيمة عجيب

د. محمد فراس رمضان	عضو هيئة التحرير
د. مضر سعود	عضو هيئة التحرير
د. ممدوح عبارة	عضو هيئة التحرير
د. موفق تلاوي	عضو هيئة التحرير
د. طلال رزوق	عضو هيئة التحرير
د. أحمد الجاعور	عضو هيئة التحرير
د. الياس خلف	عضو هيئة التحرير
د. روعة الفقس	عضو هيئة التحرير
د. محمد الجاسم	عضو هيئة التحرير
د. خليل الحسن	عضو هيئة التحرير
د. هيثم حسن	عضو هيئة التحرير
د. أحمد حاج موسى	عضو هيئة التحرير

تهدف المجلة إلى نشر البحوث العلمية الأصلية، ويمكن للراغبين في طلبها  
الاتصال بالعنوان التالي:

رئيس تحرير مجلة جامعة حمص

سورية . حمص . جامعة حمص . الإدارة المركزية . ص . ب (77)

. هاتف / فاكس : 2138071 31 963 ++

. موقع الإنترنت : [www.homs-univ.edu.sy](http://www.homs-univ.edu.sy) .

. البريد الإلكتروني : [journal.homs-univ.edu.sy](mailto:journal.homs-univ.edu.sy) .

**ISSN: 3005-6551**

# شروط النشر في مجلة جامعة حمص

الأوراق المطلوبة:

- 2 نسخة ورقية من البحث بدون اسم الباحث / الكلية / الجامعة + CD / word + من البحث منسق حسب شروط المجلة.
  - طابع بحث علمي + طابع نقابة معلمين.
  - اذا كان الباحث طالب دراسات عليا:  
يجب إرفاق قرار تسجيل الدكتوراه / ماجستير + كتاب من الدكتور المشرف بموافقته على النشر في المجلة.
  - اذا كان الباحث عضو هيئة تدريسية:  
يجب إرفاق قرار المجلس المختص بإنجاز البحث أو قرار قسم بالموافقة على اعتماده حسب الحال.
  - اذا كان الباحث عضو هيئة تدريسية من خارج جامعة البعث :  
يجب إحضار كتاب من عمادة كليته تثبت أنه عضو بالهيئة التدريسية و على رأس عمله حتى تاريخه.
  - اذا كان الباحث عضواً في الهيئة الفنية :  
يجب إرفاق كتاب يحدد فيه مكان و زمان إجراء البحث ، وما يثبت صفتة وأنه على رأس عمله.
- يتم ترتيب البحث على النحو الآتي بالنسبة للكليات (العلوم الطبية والهندسية والأساسية والتطبيقية):
- عنوان البحث .. ملخص عربي و إنكليزي ( كلمات مفتاحية في نهاية الملخصين).
- 1 مقدمة
  - 2 هدف البحث
  - 3 مواد وطرق البحث
  - 4 النتائج ومناقشتها .
  - 5 الاستنتاجات والتوصيات .
  - 6 المراجع.

- يتم ترتيب البحث على النحو الآتي بالنسبة للكليات ( الأداب - الاقتصاد - التربية - الحقوق - السياحة - التربية الموسيقية وجميع العلوم الإنسانية):
  - عنوان البحث .. ملخص عربي و إنجليزي ( كلمات مفتاحية في نهاية الملخصين).
  - 1. مقدمة.
  - 2. مشكلة البحث وأهميته والجديد فيه.
  - 3. أهداف البحث و أسئلته.
  - 4. فرضيات البحث و حدوده.
  - 5. مصطلحات البحث و تعريفاته الإجرائية.
  - 6. الإطار النظري و الدراسات السابقة.
  - 7. منهج البحث و إجراءاته.
  - 8. عرض البحث و المناقشة والتحليل
  - 9. نتائج البحث.
  - 10. مقتراحات البحث إن وجدت.
  - 11. قائمة المصادر والمراجع.
- 7- يجب اعتماد الإعدادات الآتية أثناء طباعة البحث على الكمبيوتر:
- أ- قياس الورق B5  $25 \times 17.5$
  - ب- هامش الصفحة: أعلى 2.54 - أسفل 2.54 - يمين 2.5 - يسار 2.5 سم
  - ت- رأس الصفحة 1.6 / تتبيل الصفحة 1.8
  - ث- نوع الخط وقياسه: العنوان . Monotype Koufi قياس 20
  - كتابة النص Simplified Arabic قياس 13 عادي - العناوين الفرعية Simplified Arabic قياس 13 عريض.
  - ج . يجب مراعاة أن يكون قياس الصور والجدوال المدرجة في البحث لا ينبعى 12 سم.
  - 8- في حال عدم إجراء البحث وفقاً لما ورد أعلاه من إشارات فإن البحث سيهمل ولا يرد البحث إلى صاحبه.
  - 9- تقديم أي بحث للنشر في المجلة يدل ضمناً على عدم نشره في أي مكان آخر ، وفي حال قبول البحث للنشر في مجلة جامعة البعث يجب عدم نشره في أي مجلة أخرى.

- 10- الناشر غير مسؤول عن محتوى ما ينشر من مادة الموضوعات التي تنشر في المجلة
- 11- تكتب المراجع ضمن النص على الشكل التالي: [1] ثم رقم الصفحة ويفضل استخدام التمهيس الإلكتروني المعهول به في نظام وورد WORD حيث يشير الرقم إلى رقم المرجع الوارد في قائمة المراجع.

**تكتب جميع المراجع باللغة الانكليزية (الأحرف الرومانية) وفق التالي:**  
**آ . إذا كان المرجع أجنبياً:**

- الكنية بالأحرف الكبيرة - الحرف الأول من الاسم تتبعه فاصلة - سنة النشر - وتتبعها معترضة ( - ) عنوان الكتاب ويوضع تحته خط وتتبعه نقطة - دار النشر وتتبعها فاصلة - الطبعة ( ثانية . ثلاثة ) . بلد النشر وتتبعها فاصلة . عدد صفحات الكتاب وتتبعها نقطة .  
 وفيما يلي مثال على ذلك:

-MAVRODEANUS, R1986- **Flame Spectroscopy**. Willy, New York,  
 373p.

**ب . إذا كان المرجع بحثاً منشورةً في مجلة باللغة الأجنبية:**

- بعد الكنية والاسم وسنة النشر يضاف عنوان البحث وتتبعه فاصلة، اسم المجلد ويوضع تحته خط وتتبعه فاصلة — المجلد والعدد ( كتابة مختلفة ) وبعدها فاصلة — أرقام الصفحات الخاصة بالبحث ضمن المجلة.

مثال على ذلك:

BUSSE,E 1980 Organic Brain Diseases **Clinical Psychiatry News** , Vol.  
 4. 20 – 60

ج. إذا كان المرجع أو البحث منشورةً باللغة العربية فيجب تحويله إلى اللغة الإنكليزية و التقيد بالبنود (أ و ب) ويكتب في نهاية المراجع العربية: ( المراجع In Arabic )

## رسوم النشر في مجلة جامعة حمص

1. دفع رسم نشر (50000) ل.س أربعون ألف ليرة سورية عن كل بحث لكل باحث يريد نشره في مجلة جامعة البعث.
2. دفع رسم نشر (200000) ل.س مئة الف ليرة سورية عن كل بحث للباحثين من الجامعة الخاصة والافتراضية .
3. دفع رسم نشر (200) مئتا دولار أمريكي فقط للباحثين من خارج القطر العربي السوري .
4. دفع مبلغ (15000) ل.س ستة آلاف ليرة سورية رسم موافقة على النشر من كافة الباحثين.

## المحتوى

الصفحة	اسم الباحث	اسم البحث
28-11	محمد إبراد شراباتي د.باسل حمدو العرنوس	حل معادلة ديفانتس $x^2 + y^2 = z^2$ في $M_n(\mathbb{Z})$ باستخدام التقاطر
44-29	د.باسل حمدو العرنوس	دراسة في بنية الخواصيات الفيثاغورية الجبرية، واستخدامها في توليد فيثاغوريات
72-45	عمر العبوش د. مفيد دياب د.أحمد خضرو	تأثير إشبابة النikel في الخصائص البنوية لمركب فلوريد السترانسيوم
98-73	زينب الحسن أ.د. عبد الرزاق الصوفي أ.د. عبد الله رستناوي	تحليل خصائص التيار والجهد كتابع لدرجة الحرارة واستخراج المقاومة المتسلسلة لليود شوتكي $Cu/ZnO/Al$
126-99	هيفاء صويص د.إيمان الخوجة د. عدنان الطيباني	دراسة في المجموعات المولدة الصغرى لزمرة تبديلية



## حل معادلة ديبوفانتس باستخدام التقاطير

د. محمد إياد شراباتي / أستاذ مساعد في قسم الرياضيات - كلية العلوم - جامعة حمص

د. باسل حمدو العنوس / أستاذ مساعد في قسم الرياضيات - كلية العلوم - جامعة حمص

### ملخص البحث

ندرس في هذه الأوراق ثلاثة من المصفوفات الصحيحة، التي يكون مجموع مربعي المنسقين الأول والثاني يساوي مربع المنسق الثالث، وأسمينا كل ثلاثة مصفوفات تحقق هذا الشرط ثلاثة مصفوفات فيثاغوريّة.

قمنا في هذه الأوراق بدراسة توليد ثلاثة مصفوفات فيثاغوريّة جديدة انطلاقاً من ثلاثة موجودة، ومن ثم درسنا إمكانية إيجاد ثلاثة مصفوفات فيثاغوريّة انطلاقاً من مصفوفة واحدة، وفق الحالات الآتية:

1. مصفوفة صحيحة قطرية.

2. مصفوفة قابلة للتقاطير وقيمها الذاتية صحيحة وتملك مصفوفة متوجهات ذاتية صحيحة ومحددتها  $+1$  أو  $-1$ .

### الكلمات المفتاحية:

ثلاثة مصفوفات فيثاغوريّة - مصفوفة قطرية - مصفوفة قابلة للتقاطير.

## Solving Diophantine Equation $x^2 + y^2 = z^2$ in $M_n(\mathbb{Z})$ Using a Diagonalization Method

**Dr. Mohamad Eyad Charabati**

Department of Mathematics – Faculty of Science – Homs University

**Dr. Basel Hamdo Alarnous**

Department of Mathematics – Faculty of Science – Homs University

### Abstract

We study in this paper the triple of integer matrices that satisfies the sum of squares of the first and second matrices is equal to the square of the third one. We call this triple by matrix Pythagorean triple.

We study the generation of new matrix Pythagorean triple by another triple and then the ability to find this triple by one matrix in the following cases:

1. Diagonal integer matrix
2. Diagonalizable matrix with integer eigenvalues and its eigenvectors matrix has determinant +1 or -1.

### Key Words:

The Matrix Pythagorean Triple – Diagonal matrix – Diagonalizable matrix.

حل معادلة دیوفانتس  $x^2 + y^2 = z^2$  في  $M_n(\mathbb{Z})$  باستخدام التقدير

### مقدمة 1

لعل من أهم المبرهنات التي تعلق في الذهن في مجال الهندسة، هي مبرهنة فيثاغورث والتي تنص على: «في المثلث القائم: مساحة المربع المنشأ على الوتر، تساوي مجموع مساحتي المربعين المنشائين على الضلعين القائمتين»، وليس المربع فحسب ، وإنما أي مطلع منتظم منشأ على أضلاع المثلث القائم، وكذلك أنصاف الدوائر المنشأة على أضلاع المثلث القائم.

لتكن  $a,b,c$  أطوال أضلاع مثلث قائم طول وتره  $c$ ، فإنه وبحسب مبرهنة فيثاغورث:

$$a^2 + b^2 = c^2$$

انتقلت الدراسة فيما بعد لإيجاد الحلول الصحيحة لمعادلة دیوفانتس:  $x^2 + y^2 = z^2$ .

وسمى كل حل من هذه الحلول ثلاثة فيثاغوريّة، وبدأت تطبيقات هذه الثلاثيات تظهر شيئاً فشيئاً.

كانت الفكرة التي تم الانطلاق منها في هذا البحث هي إيجاد حلول لمعادلة دیوفانتس السابقة على شكل مصفوفات صحيحة، واهتمامنا في هذا البحث ينصب على إيجاد ثلاثة مصفوفات فيثاغوريّة بدخلات صحيحة فقط، لأنّه من أجل مدخلات أعداد عاديّة فإنّه بالإمكان توليد ثلاثة فيثاغوريّة باختيار مصفوفة مربعة ما  $P$  من المرتبة  $n$  وعناصرها من  $\mathbb{Q}$ ، أي إنّه بالإمكان إيجاد مصفوفتين مربعتين  $A,C$  من المرتبة  $n$  وعناصرها من  $\mathbb{Q}$  انطلاقاً من المصفوفة  $P$  بحيث يكون:  $[1] P^2 + C^2 = A^2$ .

---

## حل معادلة دیوفانتس $x^2 + y^2 = z^2$ في $M_n(\mathbb{Z})$ باستخدام التقاطير

---

### 2. هدف البحث

يهدف البحث إلى توليد ثلاثة مصفوفات صحيحة فيثاغوريّة انطلاقاً من ثلاثة محددّة، أو انطلاقاً من مصفوفة صحيحة.

### 3. أهمية البحث:

عند إيجاد ثلاثة مصفوفات صحيحة فيثاغوريّة انطلاقاً من مصفوفة صحيحة، هذا يعني أنه بمعرفة بعض البراميرات يمكن الحصول على برميرات أكثر، ولهذا دور مهم في عملية تشفير البيانات، بالإضافة إلى إمكانية تصنيف جديدة للمصفوفات بكونها فيثاغوريّة أم ليست كذلك.

### 4. المناقشة و النتائج

#### تعريف 1 : [2]

ندعو المصفوفات المرّعة والتي عناصرها أعداد صحيحة، بالمصفوفات الصّحّحة، ونرمز لمجموعة المصفوفات الصحيحة من المرتبة  $n$  بالرّمز  $M_n(\mathbb{Z})$ .

#### تعريف 2 : [2]

لتكن  $(A, B, C) \in M_n(\mathbb{Z})$  نسمّي الثلاثيّة  $(A, B, C)$  ثلاثة مصفوفات فيثاغوريّة، إذا تحقّقت العلاقة:

$$A^2 + B^2 = C^2$$

#### مثال 1 :

إنّ الثلاثيّة الآتية هي ثلاثة فيثاغوريّة في  $M_2(\mathbb{Z})$ .

$$\left( \begin{pmatrix} 5 & 1 \\ 2 & 1 \end{pmatrix}, \begin{pmatrix} 5 & 3 \\ 2 & 1 \end{pmatrix}, \begin{pmatrix} 7 & 3 \\ 3 & 1 \end{pmatrix} \right)$$

نتيجة 1:

لتكن  $(A, B, C \in M_n(\mathbb{Z}))$  بحيث تكون هذه المصفوفات قطرية، معرفة بالشكل:

$$A = \begin{pmatrix} \lambda_1 & 0 & \dots & 0 \\ 0 & \lambda_2 & \dots & 0 \\ \vdots & \vdots & \ddots & \vdots \\ 0 & 0 & \dots & \lambda_n \end{pmatrix}, B = \begin{pmatrix} \mu_1 & 0 & \dots & 0 \\ 0 & \mu_2 & \dots & 0 \\ \vdots & \vdots & \ddots & \vdots \\ 0 & 0 & \dots & \mu_n \end{pmatrix}, C = \begin{pmatrix} v_1 & 0 & \dots & 0 \\ 0 & v_2 & \dots & 0 \\ \vdots & \vdots & \ddots & \vdots \\ 0 & 0 & \dots & v_n \end{pmatrix}$$

إن الشرط اللازم والكافي لتكون  $(A, B, C)$  ثلاثة مصفوفات فيثاغورية، هو أن تكون الثلاثيات:

$$(\lambda_i, \mu_i, v_i); i \in \{1, \dots, n\}$$

ثلاثيات فيثاغورية في  $\mathbb{Z}$ .

الإثبات:

بما أن:

$$A^2 + B^2 = \begin{pmatrix} \lambda_1^2 + \mu_1^2 & 0 & \dots & 0 \\ 0 & \lambda_2^2 + \mu_2^2 & \dots & 0 \\ \vdots & \vdots & \ddots & \vdots \\ 0 & 0 & \dots & \lambda_n^2 + \mu_n^2 \end{pmatrix}$$

$$C^2 = \begin{pmatrix} v_1^2 & 0 & \dots & 0 \\ 0 & v_2^2 & \dots & 0 \\ \vdots & \vdots & \ddots & \vdots \\ 0 & 0 & \dots & v_n^2 \end{pmatrix}$$

فإذنا نلاحظ أن الشرط اللازم والكافي ليكون:  $A^2 + B^2 = C^2$  هو أن يكون:

$$\lambda_i^2 + \mu_i^2 = v_i^2 ; i \in \{1, \dots, n\}$$

---

### حل معادلة دیوفانتس $x^2 + y^2 = z^2$ في $M_n(\mathbb{Z})$ باستخدام التقاطير

---

وبهذا يتم المطلوب.

مثال 2:

من أجل الثلاثيات  $(3,4,5), (5,12,13), (7,24,25)$  في  $\mathbb{Z}$  ، فإن الثلاثيات:

$$\left( \begin{pmatrix} 3 & 0 & 0 \\ 0 & 5 & 0 \\ 0 & 0 & 7 \end{pmatrix}, \begin{pmatrix} 4 & 0 & 0 \\ 0 & 12 & 0 \\ 0 & 0 & 24 \end{pmatrix}, \begin{pmatrix} 5 & 0 & 0 \\ 0 & 13 & 0 \\ 0 & 0 & 25 \end{pmatrix} \right)$$

فيثاغوريّة في  $M_3(\mathbb{Z})$ .

مبرهنة 1:

بفرض أن  $(A, B, C)$  ثلاثة مصفوفات فيثاغوريّة في  $M_n(\mathbb{Z})$ ، وبفرض  $L \in M_n(\mathbb{Z})$  بحيث

أن  $\det(L) = \pm 1$  عندئذ فإن:  $(LAL^{-1}, LBL^{-1}, LCL^{-1})$  ثلاثة مصفوفات فيثاغوريّة

في  $M_n(\mathbb{Z})$ .

الإثبات:

بما أن  $(A, B, C)$  ثلاثة مصفوفات فيثاغوريّة في  $M_n(\mathbb{Z})$ ، فإن:

$$A^2 + B^2 = C^2$$

من جهة أولى يكون:

$$\begin{aligned} (LAL^{-1})^2 + (LBL^{-1})^2 &= LAL^{-1} \cdot LAL^{-1} + LBL^{-1} \cdot LBL^{-1} \\ &= LA^2 L^{-1} + LB^2 L^{-1} = L(A^2 + B^2)L^{-1} = LC^2 L^{-1} \end{aligned}$$

ومن جهة أخرى يكون:

$$(LCL^{-1})^2 = LCL^{-1} \cdot LCL^{-1} = LC^2 L^{-1}$$

وبالتالي فإنَّ:

$$(LAL^{-1})^2 + (LBL^{-1})^2 = (LCL^{-1})^2$$

بما أنَّ  $L^{-1} \in M_n(\mathbb{Z})$  فإنَّ  $\det(L) = \pm 1$  و  $L \in M_n(\mathbb{Z})$ ، وبالتالي فإنَّ كلاً من  $M_n(\mathbb{Z})$  هي من  $LAL^{-1}, LBL^{-1}, LCL^{-1}$ .  
بهذا يتم المطلوب.

**مثال 3:**

من أجل ثلاثة المصفوفات الفيثاغورية  $A = \begin{pmatrix} 3 & 2 \\ 3 & 3 \end{pmatrix}, B = \begin{pmatrix} 4 & 6 \\ 4 & 4 \end{pmatrix}, C = \begin{pmatrix} 5 & 6 \\ 5 & 5 \end{pmatrix}$  في  $M_2(\mathbb{Z})$ . ومن أجل المصفوفة  $L = \begin{pmatrix} 3 & 1 \\ 5 & 2 \end{pmatrix}$  في  $M_2(\mathbb{Z})$ .  
 $(LAL^{-1}, LBL^{-1}, LCL^{-1}) = \left( \begin{pmatrix} -21 & 15 \\ -38 & 27 \end{pmatrix}, \begin{pmatrix} -78 & 50 \\ -134 & 86 \end{pmatrix}, \begin{pmatrix} -75 & 49 \\ -130 & 85 \end{pmatrix} \right)$   
ستكون فيثاغورية في  $M_2(\mathbb{Z})$ .

**نتيجة 2:**

بفرض أنَّ  $(A, B, C)$  ثلاثة مصفوفات فيثاغورية في  $M_n(\mathbb{Z})$ ، وبفرض  $L \in M_n(\mathbb{Z})$  عندئذٍ فإنَّ:

$$(\det(L)LAL^{-1}, \det(L)LBL^{-1}, \det(L)LCL^{-1})$$

أي:

حل معادلة دیوفانتس  $x^2 + y^2 = z^2$  في  $M_n(\mathbb{Z})$  باستخدام التقاطير

$$(L.A.\text{adj}(L), L.B.\text{adj}(L), L.C.\text{adj}(L))$$

ثلاثية مصفوفات فيثاغوريّة في  $M_n(\mathbb{Z})$ .

مثال 4:

من أجل ثلاثة المصفوفات:

$$\left( A = \begin{pmatrix} 3 & 2 \\ 3 & 3 \end{pmatrix}, B = \begin{pmatrix} 4 & 6 \\ 4 & 4 \end{pmatrix}, C = \begin{pmatrix} 5 & 6 \\ 5 & 5 \end{pmatrix} \right)$$

الفيثاغوريّة في  $M_2(\mathbb{Z})$ . ومن أجل المصفوفة  $L = \begin{pmatrix} 4 & 1 \\ 5 & 2 \end{pmatrix}$ ، حيث إن  $\det(L) = 3$ ، فإنَّ

ثلاثية المصفوفات:

$$(3LAL^{-1}, 3LBL^{-1}, 3LCL^{-1}) = \left( \begin{pmatrix} -25 & 29 \\ -38 & 43 \end{pmatrix}, \begin{pmatrix} -100 & 92 \\ -134 & 124 \end{pmatrix}, \begin{pmatrix} -95 & 91 \\ -130 & 125 \end{pmatrix} \right)$$

ستكون فيثاغوريّة في  $M_2(\mathbb{Z})$ .

مبرهنة 2:

لتكن  $(A, B) \in M_n(\mathbb{Z})$ ، بحيث  $A \cdot B + B \cdot A = O_n$ ، عندئذ تكون ثلاثة المصفوفات:

$$M_n(\mathbb{Z}) \text{ فيثاغوريّة في } (A, B, A + B)$$

الإثبات:

ببساطة نجد:

$$(A + B)^2 = (A + B) \cdot (A + B) = A^2 + A \cdot B + B \cdot A + B^2 = A^2 + B^2$$

مثال 5

من أجل:

$$A = \begin{pmatrix} a & 0 & 0 \\ 0 & 0 & 0 \\ 0 & 0 & c \end{pmatrix}, B = \begin{pmatrix} 0 & 0 & 0 \\ 0 & b & 0 \\ 0 & 0 & 0 \end{pmatrix}$$

واضح أن:  $A \cdot B + B \cdot A = O_3$  ، وبالتالي فإن ثلاثة المصفوفات الآتية ستكون فيثاغورية  
في  $M_3(\mathbb{Z})$

$$\left( \begin{pmatrix} a & 0 & 0 \\ 0 & 0 & 0 \\ 0 & 0 & c \end{pmatrix}, \begin{pmatrix} 0 & 0 & 0 \\ 0 & b & 0 \\ 0 & 0 & 0 \end{pmatrix}, \begin{pmatrix} a & 0 & 0 \\ 0 & b & 0 \\ 0 & 0 & c \end{pmatrix} \right)$$

نتيجة 3:

بفرض  $a, b \in \mathbb{Z}$  عندئذ ثلاثة المصفوفات الآتية فيثاغورية في  $M_2(\mathbb{Z})$ :

$$\left( \begin{pmatrix} a & a \\ a & a \end{pmatrix}, \begin{pmatrix} b & -b \\ -b & b \end{pmatrix}, \begin{pmatrix} a+b & a-b \\ a-b & a+b \end{pmatrix} \right)$$

$$\left( \begin{pmatrix} a & a \\ b & b \end{pmatrix}, \begin{pmatrix} b & -a \\ -b & a \end{pmatrix}, \begin{pmatrix} a+b & 0 \\ 0 & a+b \end{pmatrix} \right)$$

$$\left( \begin{pmatrix} a & a \\ 0 & 0 \end{pmatrix}, \begin{pmatrix} 0 & b \\ 0 & -b \end{pmatrix}, \begin{pmatrix} a & a+b \\ 0 & -b \end{pmatrix} \right)$$

$$\left( \begin{pmatrix} a & b \\ 0 & 0 \end{pmatrix}, \begin{pmatrix} 0 & b \\ 0 & -a \end{pmatrix}, \begin{pmatrix} a & 2b \\ 0 & -a \end{pmatrix} \right)$$

ذلك أن المسقط الأول والثاني في كل منها يحقق المبرهنة السابقة.

### مبرهنة 3:

لتكن  $A \in M_n(\mathbb{Z})$  بحيث تكون  $A$  مصفوفة جامدة: [2]. عندئذ تكون ثلاثة المصفوفات الآتية:

$$(A, I_n - A, I_n)$$

فيثاغوريَّة في  $M_n(\mathbb{Z})$

الإثبات:

من كون:

$$\begin{aligned} A^2 + (I_n - A)^2 &= A + (I_n - A) \cdot (I_n - A) = A + I_n^2 - I_n A - A I_n + A^2 \\ &= A + I_n - A - A + A = I_n = I_n^2 \end{aligned}$$

يتم المطلوب.

### مثال 6:

لأخذ المصفوفة:  $A = \begin{pmatrix} -3 & -4 & -4 \\ 1 & 2 & 1 \\ 2 & 2 & 3 \end{pmatrix}$  ومن ثم تكون ثلاثة المصفوفات الآتية ستكون فيثاغوريَّة في  $M_3(\mathbb{Z})$ :

$$(A, I_3 - A, I_3) = \left( \begin{pmatrix} -3 & -4 & -4 \\ 1 & 2 & 1 \\ 2 & 2 & 3 \end{pmatrix}, \begin{pmatrix} 4 & 4 & 4 \\ -1 & -1 & -1 \\ -2 & -2 & -2 \end{pmatrix}, \begin{pmatrix} 1 & 0 & 0 \\ 0 & 1 & 0 \\ 0 & 0 & 1 \end{pmatrix} \right)$$

تمهيدية 1:

لأجل أي عدد صحيح  $\lambda$  فإنَّ التَّلَاثِيَّاتُ الْآتِيَّةُ تَكُونُ فِيَثَاغُورِيَّةً فِي  $\mathbb{Z}$ :

$$\left( \lambda, \frac{\lambda^2 - 1}{2}, \frac{\lambda^2 + 1}{2} \right) ; \lambda \text{ is odd}$$

$$\left( \lambda, \frac{\lambda^2 - 4}{4}, \frac{\lambda^2 + 4}{4} \right) ; \lambda \text{ is even}$$

الإثبات:

من المعلوم أنَّه إذا كانت  $(\alpha, \beta, \gamma)$  ثالثيَّةٌ فِيَثَاغُورِيَّةٌ أولَىٰ فِي  $\mathbb{Z}$  ، عَنْدَنَا تَوْجِيدُ الأَعْدَادُ الصَّحِيحَةُ  
[3]  $r, s$  بِحِيثُ  $r > s$  التَّيْ تَحْقِيقُ:

$$\alpha = r^2 - s^2 , \quad \beta = 2rs , \quad \gamma = r^2 + s^2$$

عَلَوَةً عَلَى ذَلِكَ، فَإِنَّ أَيَّ ثالثيَّةٍ فِيَثَاغُورِيَّةٍ أُولَىٰ يُمْكِنُ التَّعْبِيرُ عَنْهَا بِشَكْلٍ وَحِيدٍ بِدَلَالَةٍ زَوْجٍ مِّنَ  
الْأَعْدَادُ الصَّحِيحَةُ  $r$  و  $s$  كَلَاهُمَا فَرْدَيِ.

ليَكُنَّ الْآنَ  $\lambda$  عَدْدًا صَحِيحًا ، نَرِيدُ تَضْمِينَ هَذَا الْعَدْدَ فِي ثالثيَّةٍ فِيَثَاغُورِيَّةٍ وَلَأَجْلِ ذَلِكَ نَحْتَاجُ  
لِإِيجَادِ أَعْدَادٍ صَحِيحَةٍ  $r, s$  لِتَشْكِيلِ هَذِهِ الثَّالِثِيَّةِ.

لِنَنَاقِشَ أَوْلًا فِيمَا إِذَا كَانَ  $\lambda$  عَدْدًا فَرْدَيًا ، وَسَنَبْحُثُ عَنْ عَدَدَيْنِ  $r, s$  يَحْقِقُانَ

$$\lambda = r^2 - s^2$$

بِسُهُولَةٍ يُمْكِنُنَا اخْتِيَارُ الْعَدَدَيْنِ الصَّحِيحَيْنِ

$$r = \frac{\lambda + 1}{2} , \quad s = \frac{\lambda - 1}{2}$$

وَلَنَحْصُلُ بِذَلِكَ عَلَىِ الثَّالِثِيَّةِ الْفِيَثَاغُورِيَّةِ فِي  $\mathbb{Z}$ :

$$\left( \lambda, \frac{\lambda^2 - 1}{2}, \frac{\lambda^2 + 1}{2} \right)$$

اما إذا كان  $\lambda$  عدد صحيح زوجي، عندئذ نبحث عن الأعداد الصحيحة  $r, s$  بحيث:

$$\lambda = 2rs$$

يمكنا أيضاً هنا أن نختار الأعداد الصحيحة

$$r = \frac{\lambda}{2}, \quad s = 1$$

ولنحصل بذلك على الثلاثية الفيثاغورية في  $\mathbb{Z}$ :

$$\left( \lambda, \frac{\lambda^2 - 4}{4}, \frac{\lambda^2 + 4}{4} \right)$$

#### ملاحظة 1:

تجدر الإشارة هنا إلى أن الثلاثية الفيثاغورية المشكّلة من العدد الصحيح  $\lambda$  ليس بالضرورة أن تكون وحيدة، وعلى سبيل المثال:

من أجل العدد الصحيح  $20 = \lambda$  ، وباستخدام التمهيدية نحصل على الثلاثية  $(20, 99, 101)$   
، كما يمكن التأكّد من أن  $(20, 21, 29)$  هي أيضاً ثلاثة فيثاغورية.

بالمقابل، إذا كان  $\lambda$  عدداً أولياً، فإنّ الثلاثية الفيثاغورية التي تتضمن  $\lambda$  هي ثلاثة وحيدة. في الواقع بما أنّ  $\lambda$  إحدى مساقط ثلاثة فيثاغورية ، يوجد عدّان صحيحان  $r, s$  بحيث يكون

$$\lambda = r^2 - s^2 = (r - s)(r + s)$$

و بما أنّ  $\lambda$  أولي فهذا يقودنا إلى النتيجة الحتمية

$$r + s = \lambda, \quad r - s = 1$$

ومنه نحصل

$$r = \frac{\lambda + 1}{2}, \quad s = \frac{\lambda - 1}{2}$$

حل وحيد ، وهذا ما يؤكد صحة الادعاء.

**مبرهنة 4:**

مهما تكن  $A \in M_n(\mathbb{Z})$  بحيث تكون  $A$  مصفوفة قطرية، توجد مصفوفتان  $B, C$  من  $M_n(\mathbb{Z})$  بحيث تكون ثلاثة المصفوفات  $(A, B, C)$  فيثاغوريّة في  $M_n(\mathbb{Z})$ .

**الإثبات:**

بفرض  $A = \begin{pmatrix} \lambda_1 & 0 & \dots & 0 \\ 0 & \lambda_2 & \dots & 0 \\ \vdots & \vdots & \ddots & \vdots \\ 0 & 0 & \dots & \lambda_n \end{pmatrix}$  من  $M_n(\mathbb{Z})$ . بحسب التمهيدية السابقة فإن:

$$\begin{cases} \left( \lambda_i, \frac{\lambda_i^2 - 1}{2}, \frac{\lambda_i^2 + 1}{2} \right) & ; \lambda_i \text{ is odd} \\ \left( \lambda_i, \frac{\lambda_i^2 - 4}{4}, \frac{\lambda_i^2 + 4}{4} \right) & ; \lambda_i \text{ is even} \end{cases} \quad ; \quad i \in \{1, \dots, n\}$$

ثلاثيات فيثاغوريّة في  $\mathbb{Z}$ . وبحسب النتيجة 1 نضع:

$$B = \begin{pmatrix} \mu_1 & 0 & \dots & 0 \\ 0 & \mu_2 & \dots & 0 \\ \vdots & \vdots & \ddots & \vdots \\ 0 & 0 & \dots & \mu_n \end{pmatrix}, \quad C = \begin{pmatrix} v_1 & 0 & \dots & 0 \\ 0 & v_2 & \dots & 0 \\ \vdots & \vdots & \ddots & \vdots \\ 0 & 0 & \dots & v_n \end{pmatrix}$$

حيث:

$$\begin{aligned}\mu_i &= \frac{\lambda_i^2 - 1}{2}, \nu_i = \frac{\lambda_i^2 + 1}{2} & ; \lambda_i \text{ is odd} \\ \mu_i &= \frac{\lambda_i^2 - 4}{4}, \nu_i = \frac{\lambda_i^2 + 4}{4} & ; \lambda_i \text{ is even}\end{aligned}$$

وبهذا يتم المطلوب.

مثال 7 :

من أجل المصفوفة  $A = \begin{pmatrix} 5 & 0 & 0 \\ 0 & 4 & 0 \\ 0 & 0 & 7 \end{pmatrix}$  فإن ثلاثة المصفوفات الآتية ستكون فيثاغوريّة

في  $M_3(\mathbb{Z})$

$$\left( \begin{pmatrix} 5 & 0 & 0 \\ 0 & 4 & 0 \\ 0 & 0 & 7 \end{pmatrix}, \begin{pmatrix} 12 & 0 & 0 \\ 0 & 3 & 0 \\ 0 & 0 & 24 \end{pmatrix}, \begin{pmatrix} 13 & 0 & 0 \\ 0 & 5 & 0 \\ 0 & 0 & 25 \end{pmatrix} \right)$$

تعريف 3 : [4]

إن المتجه الذاتي لتحويل خطّي  $t$  من  $\mathbb{R}^2$  (أو  $\mathbb{R}^3$ ) إلى نفسه، هو متجه غير صفرى  $v$  بحيث يكون:

$$t(v) = \lambda v$$

حيث  $\lambda$  عدد ما، يُدعى بالقيمة الذاتية المقابلة.

تعريف 4 : [4]

إذا كانت  $A$  مصفوفة تحويل خطّي من  $\mathbb{R}^2$  (أو  $\mathbb{R}^3$ ) إلى نفسه، فندعوا المتجه غير الصّفري  $v$  الذي يحقق العلاقة  $Av = \lambda v$  في حال عدد ما  $\lambda$ ، متجهاً ذاتياً لـ  $A$ ، وتدعى  $\lambda$  القيمة الذاتية المقابلة.

إن القيم الذاتية  $\lambda$  لمصفوفة  $A$  مرتبتها  $n \times n$ ، تحقق المعادلة:

$$\det(A - \lambda I) = 0$$

التي تدعى بالمعادلة المميزة لـ  $A$  ، حيث  $I$  هو المصفوفة الواحدية.

#### ملاحظة 2 : [4]

لكل مصفوفة من المرتبة  $n \times n$  قيمة ذاتية حقيقة واحدة على الأقل.

#### تعريف 5 : [4]

تكون المصفوفة  $A$  التي من المرتبة  $n \times n$  قابلة للتقدير إذا وُجدت مصفوفة قطرية  $D$  من المرتبة  $n \times n$  بحيث يكون:

$$D = P^{-1}AP$$

حيث  $P$  مصفوفة نظامية من المرتبة  $n \times n$ . إن عناصر القطر الرئيسي لـ  $D$  هي القيم الذاتية لـ  $A$ .

#### مبرهنة 5 :

لتكن  $A \in M_n(\mathbb{Z})$  بحيث تكون  $A$  مصفوفة قابلة للتقدير، وقيمها الذاتية صحيحة، وتملك مصفوفة متجهات ذاتية لها  $P$  بحيث  $\det(P) = \pm 1$  و  $P \in M_n(\mathbb{Z})$  ، عندئذ يمكن توليد ثلاثة مصفوفات فيثاغورية في  $M_n(\mathbb{Z})$  ، من الشكل  $(A, B, C)$ .

الإثبات:

باعتبار  $A$  مصفوفة تحقق شروط المبرهنة، فيمكن كتابتها بالشكل:  $A = P \tilde{A} P^{-1}$  ، حيث  $\tilde{A}$  قطرية في  $M_n(\mathbb{Z})$  ، و  $P$  مصفوفة متوجهات ذاتية لـ  $A$  تتحقق شروط المبرهنة.

وبالتالي بحسب المبرهنة 4 فإنه توجد  $\tilde{B}, \tilde{C}$  من  $M_n(\mathbb{Z})$  والقطريتان بحيث:

ثلاثية مصفوفات فيثاغوريّة.

ومن ثم بحسب المبرهنة 1 فإن ثلاثة المصفوفات الآتية:

$$(P \tilde{A} P^{-1}, P \tilde{B} P^{-1}, P \tilde{C} P^{-1}) = (A, B, C)$$

فيثاغوريّة في  $M_n(\mathbb{Z})$

**مثال 8:**

من أجل المصفوفة:  $A = \begin{pmatrix} -2 & 2 \\ -15 & 9 \end{pmatrix}$  مصفوفة من  $M_2(\mathbb{Z})$ ، إن لهذه المصفوفة قيمتان ذاتيتان صحيحتان هما  $\lambda_1 = 3, \lambda_2 = 4$ . كما أن المتجه ذاتي يقابل القيمة  $\lambda_1 = 3$ ، والمتجهات

الذاتية المقابلة للقيمة  $\lambda_2 = 4$  هي من الشكل:

$$\begin{pmatrix} a \\ 3a \end{pmatrix}$$

إن القيمة  $a = 1$  تجعل  $P = \begin{pmatrix} 2 & a \\ 5 & 3a \end{pmatrix}$  . ويكون:

$$A = P \cdot \begin{pmatrix} 3 & 0 \\ 0 & 4 \end{pmatrix} \cdot P^{-1} ; \quad P = \begin{pmatrix} 2 & 1 \\ 5 & 3 \end{pmatrix}$$

من أجل المصفوفة:  $M_2(\mathbb{Z})$  ، فإن ثلاثة المصفوفات الآتية تكون فيثاغوريّة في  $M_2(\mathbb{Z})$ :

$$A = \begin{pmatrix} 3 & 0 \\ 0 & 4 \end{pmatrix}$$

$$(\tilde{A}, \tilde{B}, \tilde{C}) = \left( \begin{pmatrix} 3 & 0 \\ 0 & 4 \end{pmatrix}, \begin{pmatrix} 4 & 0 \\ 0 & 3 \end{pmatrix}, \begin{pmatrix} 5 & 0 \\ 0 & 5 \end{pmatrix} \right)$$

وبالتالي ثلاثة المصفوفات الآتية ستكون فيثاغوريّة في  $M_2(\mathbb{Z})$ :

$$\begin{aligned} (A, B, C) &= \left( P \tilde{A} P^{-1}, P \tilde{B} P^{-1}, P \tilde{C} P^{-1} \right) = \\ &= \left( \begin{pmatrix} -2 & 2 \\ -15 & 9 \end{pmatrix}, \begin{pmatrix} 9 & -2 \\ 15 & -2 \end{pmatrix}, \begin{pmatrix} 5 & 0 \\ 0 & 5 \end{pmatrix} \right) \end{aligned}$$

## 5. النتائج والمقترنات

تمكننا في هذا البحث من توليد ثلاثة مصفوفات فيثاغوريّة جديدة انطلاقاً من ثلاثة موجودة (المبرهنة 1 والنتيجة 2) ، كما درسنا إمكانية توليد ثلاثة مصفوفات فيثاغوريّة بشروط معينة (المبرهنتين 2 و3) ، ومن ثم درسنا إمكانية إيجاد ثلاثة مصفوفات فيثاغوريّة انطلاقاً من مصفوفة واحدة، وفق الحالات الآتية:

1. مصفوفة صحيحة قطرية (المبرهنة 4).
2. مصفوفة قابلة للنقطير وقيمها الذاتية صحيحة وتملك مصفوفة متوجهات ذاتية صحيحة ومحددتها  $+1$  أو  $-1$  (المبرهنة 5).

ويقترح الباحثان دراسة إمكانية معرفة فيما إذا كانت مصفوفة مربعة صحيحة هي أول فيثاغوري في ثلاثة مصفوفات فيثاغوريّة أم لا، والبحث عن الثاني والثالث الفيثاغوريّان.

## 6. المراجع

- [1] Arnold, M., & Eydelzon, A. (2019). On matrix Pythagorean triples. *American Mathematical Monthly*, 116 (2), 158–160.
- [2] Vălcăan, T. D. (2019). From Diofantian equations to matricial equations (I) – Equations and Pythagorean matrices. *Journal of Education & Social Policy*, 6 (1), 60–73.
- [3] Al-Husseini, D., & Qabeel, M. B. (2007). *Number theory*. University of Damascus, Faculty of Sciences Publications.
- [4] Horn, R. A., & Johnson, C. R. (1985). *Matrix analysis*. Cambridge University Press.

## دراسة في بنية الخماسيات الفيثاغورية الجبرية، واستخدامها في توليد فيثاغوريّات

إعداد الدكتور باسل العرنوس

### ملخص البحث

قمنا في هذا البحث بدراسة في بنية الخماسيات الفيثاغورية ( $PP_5^*$ ) حيث بينا أنَّ هذه البنية تقبل عنصراً محايداً، وأوجدنا العناصر القابلة للقلب بالنسبة للعملية \*، واستخدمنا مفهوم شبه المقلوب لحل معادلات تتضمن العملية \*.

أوجدنا طرفاً لتوليد خماسيات فيثاغوريّة من رباعيّات فيثاغوريّة، وتوليد خماسيات من ثلاثيّات فيثاغوريّة، وأخيراً طرفاً لتوليد ثلاثيّات فيثاغوريّة من ثلاثيّات فيثاغوريّة من خلال عملية مغلقة  $\odot$ .

### الكلمات المفتاحية:

خماسيّة فيثاغوريّة، رباعيّة فيثاغوريّة، ثلاثيّة فيثاغوريّة، بنية، نصف زمرة، محايدين، نصف مقلوب.

## A Study on the Algebraic Structure of Pythagorean Quintuples and Their Use in Generating Pythagorean Triples

### Abstract

In this research, we studied the structure of Pythagorean Quintuples ( $PP_5,*$ ), demonstrating that this structure possesses an identity element. We identified the invertible elements with respect to the operation  $*$  and employed the concept of a semi-inverse to solve equations involving the  $*$  operation.

We developed methods for generating Pythagorean Quintuples from Pythagorean Quadruples, generating Quintuples from Pythagorean Triples, and finally, methods for generating new Pythagorean Triples from existing ones through a closed operation  $\odot$ .

### Keywords:

Pythagorean Quintuple, Pythagorean Quadruple, Pythagorean Triple, Algebraic Structure, Semigroup, Identity Element, Semi-inverse.

## دراسة في بنية الخماسيات الفيثاغورية الجبرية، واستخدامها في توليد فيثاغوريات

### 1. مقدمة

تهدف دراسة الفيثاغوريات في معظم حالاتها إلى إيجاد طرائق توليد لهذه الفيثاغوريات، بدءاً من صيغة إقليدس لتوليد الثلاثيات الفيثاغورية إلى طريقة الأشجار الثلاثية، وهذا. ثم ظهرت طرائق توليد جديدة تعتمد على الفيثاغوريات نفسها، وذلك من خلال تعريف عمليات مغلقة على الفيثاغوريات.

ففي العام 1984 عرف إيكيرت Eckert عملية جمع بين الثلاثيات الفيثاغورية التي عناصرها من  $\mathbb{Z}$  ، على النحو الآتي:

$$(a_1, b_1, c_1) + (a_2, b_2, c_2) = (a_1 a_2 - b_1 b_2, a_1 b_2 + b_1 a_2, c_1 c_2)$$

حيث تشكل مجموعة كلَّ الثلاثيات الفيثاغورية الصحيحة بالإضافة إلى  $(1, 0, 1)$  مع العملية  $+$  زمرة تبديلية  $[1]$ .

بعد ذلك في العام 1991 قام زناردو Zanardo و زانير Zannier بتعظيم المجال من  $\mathbb{Z}$  إلى أي حلقة من الأعداد الصحيحة  $[2]$ .

في العام 1996 قام بيوريجادر Beauregard و سوريانارayan Suryanarayyan بتعريف عملية مغلقة \* على مجموعة كلِّ الثلاثيات الفيثاغورية الصحيحة، على النحو الآتي  $[3]$ :

$$(a_1, b_1, c_1) * (a_2, b_2, c_2) = (a_1 a_2, b_1 c_2, c_1 b_2 + b_1 b_2 + c_1 c_2)$$

## دراسة في بنية الخماسيات الفيثاغورية الجبرية، واستخدامها في توليد فيثاغوريات

في العام 2025 قام العرنوس بتعريف عملية مغلقة \* على مجموعة كل الخماسيات الفيثاغورية  $PP_5$ ، وأثبت أن البنية  $(PP_5, *)$  هي نصف زمرة، وأوجد العنصر المحايد بالنسبة للعملية \* [4].

ندرس في هذا البحث خواص هذه البنية من حيث العناصر القابلة للقلب، وطرائق أخرى لتوليد الخماسيات الفيثاغورية وكذلك الثلاثيات الفيثاغورية.

### 2. هدف البحث

يهدف البحث إلى إيجاد العناصر القابلة للقلب في بنية الخماسيات الفيثاغورية الجبرية. وإيجاد طرائق أخرى لتوليد الخماسيات الفيثاغورية وكذلك الثلاثيات الفيثاغورية.

### 3. المناقشة و النتائج

أولاً: **الخماسيات الفيثاغورية**  $\mathbb{Z}$ :

نعلم من نظرية الأعداد، أنَّ **الثلاثيات الفيثاغورية** في  $\mathbb{Z}$  هي مجموعة كلَّ **الثلاثيات**  $\{x, y, z\}$  التي تتحقق معادلة ديوفانتس الآتية:

$$x^2 + y^2 = z^2 ; \quad x, y, z \in \mathbb{Z}$$

وعليه فإنَّ **ال الخماسيات الفيثاغورية**، هي مجموعة كلَّ **ال الخماسيات**  $\{x, y, z, w, r\}$  والتي تتحقق معادلة ديوفانتس الآتية:

$$x^2 + y^2 + z^2 + w^2 = r^2 ; \quad x, y, z, w, r \in \mathbb{Z}^+$$

**تعريف 1:**

تسمى **خماسية** **فيثاغورية**، كلَّ **خماسية**  $(a, b, c, d, e) \in \mathbb{Z}$ ، حيث  $a, b, c, d, e \in \mathbb{Z}$ ، وتحقق:

$$a^2 + b^2 + c^2 + d^2 = e^2$$

سنرمز لمجموعة كلَّ **ال الخماسيات الفيثاغورية** بالرمز  $PP_5$  وبالتالي يكون:

$$PP_5 = \{(a, b, c, d, e); a^2 + b^2 + c^2 + d^2 = e^2 : a, b, c, d, e \in \mathbb{Q}\}$$

**[4]: مبرهنة 1 وتعريف 2**

ليكن  $(a_1, a_2, a_3, a_4, a_5), (b_1, b_2, b_3, b_4, b_5) \in PP_5$  العملية الثنائية الآتية:

$$(a_1, a_2, a_3, a_4, a_5) * (b_1, b_2, b_3, b_4, b_5) = (c_1, c_2, c_3, c_4, c_5)$$

حيث:

$$\begin{aligned} c_1 &= a_1 b_1 - a_2 b_2 - a_3 b_3 - a_4 b_4 \\ c_2 &= a_1 b_2 + a_2 b_1 + a_3 b_4 - a_4 b_3 \\ c_3 &= a_1 b_3 + a_3 b_1 + a_4 b_2 - a_2 b_4 \\ c_4 &= a_1 b_4 + a_4 b_1 + a_2 b_3 - a_3 b_2 \end{aligned}, \quad c_5 = a_5 b_5$$

عندئذ  $(PP_5, *)$  بنية جبرية.

**[4]: مبرهنة 2**

. تقبل العملية  $*$  في البنية الجبرية  $(PP_5, *)$  عنصراً محايضاً، هو  $(1, 0, 0, 0, 1)$ .

**[4]: مبرهنة 3**

إنَّ العملية  $*$  في البنية الجبرية  $(PP_5, *)$  هي عملية تجميعية.

**مبرهنة 4: العناصر القابلة للقلب في  $(PP_5, *)$**

إنَّ عدد العناصر القابلة للقلب في  $(PP_5, *)$  هو 16.

الإثبات:

بفرض  $\{(a_1, a_2, a_3, a_4, a_5) \in PP_5 \setminus \{(0, 0, 0, 0, 0)\}$  ولنفرض أنه قابلاً للقلب بالنسبة للعملية  $*$ ، وبالتالي يوجد  $(b_1, b_2, b_3, b_4, b_5) \in PP_5$  بحيث:

$$(a_1, a_2, a_3, a_4, a_5) * (b_1, b_2, b_3, b_4, b_5) = (1, 0, 0, 0, 1) \quad (4)$$

$$(b_1, b_2, b_3, b_4, b_5) * (a_1, a_2, a_3, a_4, a_5) = (1, 0, 0, 0, 1) \quad (5)$$

من (4), (5) يتضح أن:

$$a_5 b_5 = 1 \quad (6)$$

لتعريف العددين:

$$p_1 = \frac{a_1}{a_5} + \frac{a_2}{a_5} i + \frac{a_3}{a_5} j + \frac{a_4}{a_5} k, \quad p_2 = \frac{b_1}{b_5} + \frac{b_2}{b_5} i + \frac{b_3}{b_5} j + \frac{b_4}{b_5} k$$

وليكن  $p_1 \cdot p_2 = 1$  عندئذ فإن:

$$p_2 = \frac{1}{p_1} = \frac{\bar{p}_1}{|p_1|^2} = \frac{a_1}{a_5} - \frac{a_2}{a_5} i - \frac{a_3}{a_5} j - \frac{a_4}{a_5} k$$

وبالتالي نضع:

$$(b_1, b_2, b_3, b_4, b_5) = (a_1, -a_2, -a_3, -a_4, a_5) \quad (7)$$

وبملاحظة أن:

$$(a_1, a_2, a_3, a_4, a_5) * (a_1, -a_2, -a_3, -a_4, a_5) = (a_5^2, 0, 0, 0, a_5^2) \quad (8)$$

$$(a_1, -a_2, -a_3, -a_4, a_5) * (a_1, a_2, a_3, a_4, a_5) = (a_5^2, 0, 0, 0, a_5^2)$$

من العلاقة (6) ومن العلاقتين الأخيرتين يتضح أن  $(a_1, a_2, a_3, a_4, a_5)$  يكون قابلاً للقلب إذا و فقط إذا كان:  $a_5 = +1$  أو  $a_5 = -1$ . وعليه فإن العناصر في  $(PP_5, *)$  القابلة للقلب، استناداً إلى (7) هي:

مقلوبه	العنصر من $(PP_5, *)$	م
$(1,0,0,0,1)$	$(1,0,0,0,1)$	1
$(-1,0,0,0,1)$	$(-1,0,0,0,1)$	2
$(1,0,0,0,-1)$	$(1,0,0,0,-1)$	3
$(-1,0,0,0,-1)$	$(-1,0,0,0,-1)$	4
$(0,-1,0,0,1)$	$(0,1,0,0,1)$	5
$(0,-1,0,0,-1)$	$(0,1,0,0,-1)$	6
$(0,1,0,0,1)$	$(0,-1,0,0,1)$	7
$(0,1,0,0,-1)$	$(0,-1,0,0,-1)$	8
$(0,0,-1,0,1)$	$(0,0,1,0,1)$	9
$(0,0,-1,0,-1)$	$(0,0,1,0,-1)$	10
$(0,0,1,0,1)$	$(0,0,-1,0,1)$	11
$(0,0,1,0,-1)$	$(0,0,-1,0,-1)$	12
$(0,0,0,-1,1)$	$(0,0,0,1,1)$	13
$(0,0,0,-1,-1)$	$(0,0,0,1,-1)$	14
$(0,0,0,1,1)$	$(0,0,0,-1,1)$	15
$(0,0,0,1,-1)$	$(0,0,0,-1,-1)$	16

### تعريف 3:

ليكن  $A = (a_1, a_2, a_3, a_4, a_5) \in PP_5$  فإننا نسمى العنصر:

$$\tilde{A} = (a_1, -a_2, -a_3, -a_4, a_5)$$

شبه مقلوب العنصر  $A$ .

**نتيجة 1:**

إن البنية  $(PP_5, *)$  هي نصف زمرة، تقبل الخماسية  $(1, 0, 0, 0, 1)$  عنصراً محابداً، ويوجد 16 عنصراً منها مقلوباً بالنسبة للعملية  $*$ ، أما بقية العناصر ما عدا  $(0, 0, 0, 0, 0)$  فلكل عنصر شبه مقلوب.

**نتيجة 2:**

من العلاقة (8) يتضح أنه إذا كان  $A, B \in PP_5$ ، وكانت المعادلة:

$$A * X = B$$

قابلة للحل في  $PP_5$  فإن:

$$X = \frac{1}{a_5^2} \tilde{A} * B \quad (9)$$

إذا كانت المعادلة:  $X * A = B$  قابلة للحل في  $PP_5$  فإن:

$$X = \frac{1}{a_5^2} B * \tilde{A} \quad (10)$$

**مثال 3:**

ليكن:  $A = (1, 4, 8, 12, 15), B = (2, 4, 5, 6, 9)$ ، وبما أنّ:

$$A * B = (-126, 0, 45, 18, 135)$$

فإن المعادلة:

$$A * X = (-126, 0, 45, 18, 135)$$

قابلة للحل في  $PP_5$  ، وحلها بحسب العلاقة (9) ، هو:

$$\begin{aligned} X &= \frac{1}{225} \tilde{A} * (-126, 0, 45, 18, 135) = \\ &= \frac{1}{225} (1, -4, -8, -12, 15) * (-126, 0, 45, 18, 135) \\ &= \frac{1}{225} (450, 900, 1125, 1350, 2025) = (2, 4, 5, 6, 9) \end{aligned}$$

وهذا منطقي.

سادساً: توليد خماسيات فيثاغوريّة من رباعيّات فيثاغوريّة أو ثلاثيّات فيثاغوريّة.

#### 1. التوليد من رباعيّات فيثاغوريّة

يمكن استخدام العملية \* لتعريف عمليّات غرضها توليد خماسيات فيثاغوريّة، وذلك بتمديد الرباعيّات الفيثاغوريّة لتصبح خماسيّات.

فالرابعية الفيثاغوريّة  $(a, b, c, e)$  تحقق:

$$a^2 + b^2 + c^2 = e^2 \quad (11)$$

ويمكن تمديدها بأربعة طرق لتصبح خماسيّة، على النحو:

$$(a, b, c, 0, e), (a, b, 0, c, e), (a, 0, b, c, e), (0, a, b, c, e)$$

وبالتالي بتطبيق العملية \* على خماسيّتين ممدّدين من رباعيّات فيثاغوريّة نحصل على خماسيّة فيثاغوريّة.

فمن أجل الرباعيّتين:  $(a,b,c,e), (x,y,z,r)$  يمكن توليد خماسيات فياغوريّة بتطبيق العلاقة \* بعدة طرق، وذلك تبعاً لاختلاف طرق تمديد الرباعيّة الفياغوريّة إلى خماسيّة فياغوريّة، نضع مثلاً:

$$\begin{aligned} (a,b,0,c,e) * (x,y,z,0,r) = \\ = (ax - by, ay + bx - cz, az + cy, cx + bz, er) \end{aligned}$$

بأخذ كل طرق التمديد وتطبيق العلاقة \* نحصل من الرباعيّتين:

$$(a,b,c,e), (x,y,z,r)$$

على الخماسيّات الآتية:

$$(ax - by - cz, ay + bx, az + cx, bz - cy, er) \quad (12)$$

$$(ax - by, ay + bx - cz, az + cy, cx + bz, er) \quad (13)$$

$$(ax - bz, ay - cz, az + bx + cy, cx - by, er) \quad (14)$$

$$(-ay - bz, ax - cz, bx + cy, cx + az - by, er) \quad (15)$$

$$(ax - by, ay + bx + cz, cx - bz, az - cy, er) \quad (16)$$

$$(ax - by - cz, ay + bx, cy - bz, az + cx, er) \quad (17)$$

$$(ax - cz, ay + bz, bx + cy, az + cx - by, er) \quad (18)$$

$$(-ay - cz, ax + bz, bx + cy - az, cx - by, er) \quad (19)$$

$$(ax - cy, bx + cz, ay + cx - bz, az + by, er) \quad (20)$$

$$(ax - cz, bx - cy, ay - bz, az + cx + by, er) \quad (21)$$

$$(ax - by - cz , bz - cy , ay + bx , az + cx , er) \quad (22)$$

$$(-by - cz , ax + bz - cy , bx - az , cx + ay , er) \quad (23)$$

$$(-bx - cy , ax + cz , ay - bz , az + by - cx , er) \quad (24)$$

$$(-bx - cz , ax - cy , ay + cx - bz , az + by , er) \quad (25)$$

$$(-by - cz , ax + bz - cy , ay + cx , az - bx , er) \quad (26)$$

$$(-ax - by - cz , bz - cy , cx - az , ay - bx , er) \quad (27)$$

هذا يعني أنه انطلاقاً من رياضيتين فيثاغوريتين يمكن توليد خماسيات فيثاغورية بـ 16 طريقة مختلفة، جميعها لها الخامس الفيثاغوري ذاته.

نوضح ذلك من خلال المثال الآتي:

: مثال 4

عند تطبيق العلاقات من (12) إلى (27) على الرباعيّتين  $(2,6,3,7)$  ،  $(8,1,4,6)$  نحصل على الخماسيّات:

ال الخماسيّة	العلاقة	الخماسيّة	العلاقة
$(13,60,2,14,63)$	(20)	$(-2,50,32,21,63)$	(12)
$(4,45,-22,38,63)$	(21)	$(10,38,11,48,63)$	(13)
$(-2,21,50,32,63)$	(22)	$(-8,-10,59,18,63)$	(14)
$(-18,37,40,26,63)$	(23)	$(-26,4,51,26,63)$	(15)
$(-51,28,-22,-10,63)$	(24)	$(10,62,0,5,63)$	(16)
$(-60,13,2,14,63)$	(25)	$(-2,50,-21,32,63)$	(17)
$(-18,37,26,-40,63)$	(26)	$(4,26,51,26,63)$	(18)
$(-34,21,16,-46,63)$	(27)	$(-14,40,43,18,63)$	(19)

## 2. التوليد من ثلاثيات فيثاغوريّة

بنفس الطريقة يمكن توليد خماسيّات فيثاغوريّة من ثلاثيات فيثاغوريّة، فإذا أهملنا إشارة وترتيب المركبات الأربع الأولى في الخماسيّة، فإنّ الثلاثيّتين  $(a,b,e)$ ,  $(x,y,r)$  تولدان الخماسيّة:

$$(ax, ay, bx, by, er) \quad (28)$$

مثال 5:

من أجل الثلاثيّتين  $(3,4,5)$ ,  $(5,12,13)$  نحصل بتطبيق  $(28)$  على الخماسيّة فيثاغوريّة:

$$(15, 36, 20, 48, 65)$$

### 3. توليد ثلاثيّات فيثاغوريّة من ثلاثيّات فيثاغوريّة

لدى تطبيق العملية  $*$  على كلّ الخماسيّات فيثاغوريّة التي تمّ توليدها من الثلاثيّتين  $(a,b,e)$  ،  $(x,y,r)$  فإنّا نحصل على خماسيّات فيها مركّبات صفرّية، وبالتالي نحصل على ثلاثيّات فيثاغوريّة، وبالتالي نحصل على توليد لثلاثيّات فيثاغوريّة من ثلاثيّات فيثاغوريّة.

لتوضيح الأمر، نلاحظ أنّ:

$$(0,a,0,b,e) * (x,0,y,0,r) = (0, ax - by, 0, bx + ay, er)$$

وبالتالي يمكن تعريف عملية مغلقة على الثلاثيّات فيثاغوريّة على التحوّ:

$$(a,b,e) \square (x,y,r) = (ax - by, bx + ay, er) \quad (29)$$

وهذه العلاقة مطابقة تماماً لما توصل إليه إيكارت [1].

مثال 6:

نلاحظ أنّ:

$$(3,4,5) \square (5,12,13) = (-33, 56, 65)$$

في الحقيقة بالإضافة إلى العلاقة  $(29)$  يمكن برصد كلّ نتائج العملية  $*$  على الخماسيّات الممدّدة من الثلاثيّتين  $(x,y,r)$ ,  $(a,b,e)$  ، أن نعرف العمليّات المغلقة الآتية على الثلاثيّات فيثاغوريّة:

$$(a,b,e) \square (x,y,r) = (ax+by, bx-ay, er) \quad (30)$$

$$(a,b,e) \square (x,y,r) = (-ax-by, bx-ay, er) \quad (31)$$

$$(a,b,e) \square (x,y,r) = (ax+by, ay-bx, er) \quad (32)$$

$$(a,b,e) \square (x,y,r) = (-ax-by, ay-bx, er) \quad (33)$$

#### 4. النتائج الأساسية للبحث

1. تمكّن البحث من تحديد ووصف جميع العناصر داخل البنية الجبرية للخماسيات الفيئاغورية التي تمتلك عنصراً مقلوياً فيما يتعلق بالعملية الثانية المُعرفة (\*). وُجد أن هناك 16 عنصراً قابلاً للقلب بشكل كامل من بين جميع العناصر في هذه البنية.
2. بالنسبة للعناصر التي لا تمتلك مقلوياً كاملاً، قدم البحث مفهوم "شبه المقلوب" كأدلة بديلة. هذا المفهوم أثبت فعاليته في حل أنواع معينة من المعادلات داخل هذه البنية الجبرية، حتى عندما لا يكون العنصر قابلاً للعكس تماماً.
3. طور البحث طرائق منهجية لتوليد خماسيات فيئاغورية جديدة انتطلاقاً من: رباعيات فيئاغورية موجودة مسبقاً، حيث تم اقتراح 16 طريقة مختلفة لتحويل الرباعيات إلى خماسية وإجراء العمليات عليها لتوليد خماسيات جديدة، جميعها تشتراك في نفس القيمة للخامس الفيئاغوري. وكذلك من ثلاثيات فيئاغورية موجودة مسبقاً، مما يوسع نطاق الطرق المتاحة للتوليد.
4. كشف البحث عن أن تطبيق العملية (\*) على خماسيات مُولدة من ثلاثيات يقود في حالات معينة إلى الحصول على ثلاثيات فيئاغورية جديدة. أدى هذا الاكتشاف إلى تعرّيف عملية مغلقة جديدة (◎) على مجموعة ثلاثيات الفيئاغورية نفسها. ومن المثير للاهتمام، أن هذه العملية الجديدة تتطابق مع العملية التي قدمها باحثون سابقون

(إيكيرت)، مما يؤكد صحتها ويعيد إنتاجها من خلال هذا الإطار النظري الأوسع والأكثر عمومية للخمسائيات.

## 5. المقترنات والدراسات اللاحقة

1. يمكن تطوير خوارزميات حسابية فعالة مبنية على هذه الطرائق لتوليد أعداد كبيرة من الخمسائيات والرباعيات والثلاثيات الفيثاغورية، ودراسة التوزيع الإحصائي للعناصر المُولدة.
2. محاولة تعليم هذا النهج ليشمل "السداسيات الفيثاغورية" وما فوقها، وفحص إمكانية تعريف عمليات ثنائية ذات خواص مماثلة على هذه المجموعات الأكبر.
3. استكشاف الروابط المحتملة بين هذه البني الجبرية ونظريات أخرى في الرياضيات، مثل نظرية الزمر بمستوى أكثر تجريدًا، أو حتى في مجالات تطبيقية.

المراجع العلمية 4

1. Eckert, E. J. (1984). The Group of Primitive Pythagorean Triangles. *Mathematics Magazine*, 57 (1), 22–27.
2. Zanardo, P., & Zannier, U. (1991). The group of pythagorean triples in number fields. *Annali di Matematica Pura ed Applicata*, 159 (1), 81–88.
3. Beauregard, R. A., & Suryanarayanan, E. R. (1996). Pythagorean Triples: The Hyperbolic View. *The College Mathematics Journal*, 27 (3), 170–181.
4. Al-Arnous, B. (2025). Semigroups on the set of Pythagorean quintuples. *Homs University Journal, Series of Basic Sciences*.

## تأثير إشابة النيكل في الخصائص البنوية لمركب فلوريد السترانسيوم

عمر العبوش<sup>1</sup>, مفید دیاب<sup>2</sup>, احمد خضرو<sup>3</sup>

### الملخص

حضرت عينات من مسحوق فلوريد السترانسيوم مشابهة بتركيب مختلف من النيكل باستخدام طريقة تفاعل الحالة الصلبة. وصفت العينات باستخدام جهاز التقاضل الحراري(DTA)، جهاز الانبعاث بالأشعة السينية(XRD)، مطيافية الأشعة تحت الحمراء (FT-IR)، التألق الضوئي(PL). تم تلدين العينات عند درجة الحرارة 400°C لمدة 6 ساعات. درست الخصائص البنوية لعينات فلوريد السترانسيوم النقيه والمشابهه. أظهرت تبلور وفق بنية بلوريه مكعبية متراكزة الوجه (FCC) تنتهي إلى المجموعة الفراغية (Fd3m). تم حساب ثابت الشبكة البلورية وحجم وحدة الخلية في مركب SrF<sub>2</sub> النقي والتوجه المفضل له هو (111). تم حساب حجم الحبيبات للعينات مختلفة باستخدام علاقة ديباي-شرر. وجد أن حجم الحبيبات البلورية يزداد مع زيادة نسبة اشابة النيكل. ظهر قمم إضافية عند اشابة النيكل بنسبة (0.5 wt%) تعود لمركب (NiO). أظهرت أطيااف الاشعة تحت الحمراء عصابات امتصاص جديدة عند الاشابة بالنيكل بمختلف النسب، لوحظ عند اشابة النيكل بنسبة (0.5 wt%) اختفاء عصابات الامتصاص الدالة على ارتباط النيكل بفلوريد السترانسيوم وظهور عصابة جديدة تدل على تشكيل أكسيد النيكل. وجود قمة اصدار عند طول موجة λ<sub>em</sub> = 470 nm حيث كان الإصدار الأقوى للتألق عند الاشابة بالنيكل بالنسبة (0.45 wt %) من أجل إثارة عند الطول الموجي λ<sub>exc</sub> = 200 nm

<sup>1</sup> طالب دكتوراه: قسم الفيزياء- كلية العلوم - جامعة حمص - حمص - سوريا.

<sup>2</sup> أستاذ فيزياء في قسم الفيزياء - كلية العلوم-جامعة حمص.

<sup>3</sup> أستاذ فيزياء في قسم الفيزياء - كلية العلوم-جامعة اللاذقية.

**الكلمات المفتاحية:** بودرة، فلوريد السترانسيوم، تفاعل الحالة الصلبة، الخصائص البنوية، جهاز التفاضلي الحراري، جهاز الانبعاث بالأشعة السينية، التألق الضوئي.

## **Effect of chromium doping on the structural properties of strontium fluoride compound**

O. Alaboush<sup>1</sup>, M.Diab<sup>2</sup>, A.Khoudro<sup>3</sup>

### **Abstract**

Strontium fluoride powder samples doped with different concentrations of nickel were prepared using a solid-state reaction method. Strontium fluoride powder samples doped with different concentrations of Ni were prepared by solid-state reaction method. The samples were characterized by differential temperature analysis (DTA), X-ray diffraction (XRD), infrared spectroscopy (FT-IR), and photoluminescence (PL). The samples were annealed at 400°C for 6 h. The structural properties of pure and doped strontium fluoride samples were studied. They showed face-centered cubic (FCC) crystal structure belonging to the ( $Fd\bar{3}m$ ) space group. The crystal lattice constant and unit cell volume of pure SrF<sub>2</sub> were calculated and its preferred orientation was (111). The grain size of different samples was calculated using Debye-Scherrer relation. It was found that the crystal grain size increased with

---

<sup>1</sup> PhD student: Department of physics: Faculty of Science-Al-Baath university, Syria

<sup>2</sup> Prof the physics: Department of physics -Faculty of Science-Al-Baath University, Syria

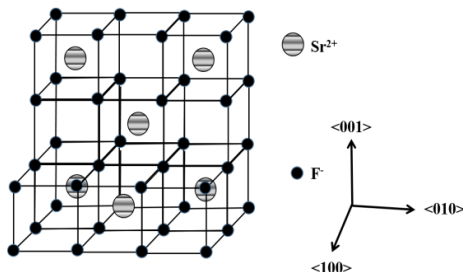
<sup>3</sup> Prof the physics: Department of physics -Faculty of Science- Tishreen University, Syria

increasing Ni doping ratio. The appearance of additional peaks at (0.5 wt%) Ni doping was attributed to (NiO) compound. The infrared spectra showed new absorption bands when doped with nickel at different ratios. When doped with nickel at a ratio of (0.5 wt%), the absorption bands indicating the association of nickel with strontium fluoride disappeared and a new band appeared indicating the formation of nickel oxide. The presence of an emission peak at a wavelength of  $\lambda_{em} = 470 nm$ , where the strongest emission of fluorescence was when doped with nickel at a ratio of (0.45 wt%) for excitation at a wavelength of  $\lambda_{exc} = 200 nm$ .

**Keywords:** powder,  $SrF_2$ , solid state reaction, Structural properties, DTA, XRD

## 1. مقدمة

تعتبر الفلوريدات القلوية الأرضية من المواد المهمة التي تشكل أساساً مهماً في تطبيقات فيزياء المواد الكثيفة وعلوم المواد [1,2]. لقد جذبت الفلوريدات الأرضية القلوية اهتماماً كبيراً من الباحثين نظراً لخصائصها المميزة مثل الأيونات العالية والفوتونات منخفضة الطاقة والمقاومة العالية والتوصيل الأيوني بالإضافة إلى سلوك متسلق الإلكترون [3,4]. يتبلور فلور السترانسيوم ( $\text{SrF}_2$ ) في بنية الفلوريت المكعبية مع مجموعة فضاء  $\text{Fm}3\text{m}$  مكعبه متقاربة من الكاتيونات مع الأيونات التي تحتل موقع رباعية السطوح [5]. تتكون البلورة من شبكة مكعبه بسيطة من أنيون  $\text{F}^-$  مع كاتيونات  $\text{Sr}^{+2}$  تشغل كل مكعب شبكة  $\text{F}^-$  ثانية. ينتج عن ذلك ستة مواقع بینية أو مكعبات فارغة تحيط بكل منها أيون  $\text{Sr}^{+2}$  (الشكل 1). يوجد موقع مكعبية شاغرة مساوية لعدد المواقع الكاتيونية المشغولة، يمكن لبلورة  $\text{SrF}_2$  استضافة عدد كبير من أنيون  $\text{F}^-$  البيني. يملك  $\text{SrF}_2$  مجال محظوظ واسع (11eV)، فهو عازل وشفاف ضوئياً، له فوتون منخفض الطاقة، ومعامل انكسار منخفض، ومقاومة عالية للإشعاع وقوة ميكانيكية جيدة. وله بنية مكعبية مركزية الوجوه (FCC)، وكتافته  $34.277\text{g/cm}^3$ . وزنه الجزيئي  $152.62\text{g/mol}$  ، ودرجة انصهاره  $1477^\circ\text{C}$ ، وثابت الشبكة البلورية  $5.798\text{\AA}$  [6].  
المكعبات الفارغة المتبقية مهمة جداً لتشكيل العيوب والانتشار، ولاحتواء الشوائب غير المرغوب فيها مثل العناصر الترابية النادرة [7] كما هو موضح في الشكل (1)



الشكل (1) رسم تخطيطي لبنية  $\text{SrF}_2$  النقى، والذي يوضح أن كل مكعب بسيط من الشكل الفرعى  $\text{F}^-$  يحتوى على أيون  $\text{Sr}^{+2}$  (الآخر فارغ).

يعتبر  $\text{SrF}_2$  أسرع الوماضات المعروفة اليوم وله معدل انبعاث إشعاعي أقل من جزء من النانو ثانية ويصدر عدة أشعة ضوئية والأسرع في مجال الأشعة فوق البنفسجية في المجال (200-220 نانومتر) وله زمن اضمحلال لأسرع المكونات  $\text{Ps}$  800-600. يلعب تديل خصائص فلورة البلورات المشابهة بعناصر منشطة دوراً مهماً في تطوير أجهزة الكشف الضوئية المعتمدة على الفلوريدات. ولهذا السبب، تم توجيه الأبحاث منذ سنوات على مركبات الفلوريدات الفلورية، وخاصة تلك التي لها فسفرة وتعطي انبعاث فوتون متذبذب [8,9].

## 2. أهداف البحث

يهدف هذا البحث إلى:

- إثابة مركب فلوريد السترانسيوم بعنصر النيكل بنسب مختلفة
- دراسة خصائص العينات بنبيوياً وضوئياً.

## 3. مواد وطرق البحث

### 3 - 1 - الأجهزة والمواد المستخدمة

- ميزان حساس بدقة 0.0001 gr
- بونقات خزفية تحمل درجات حرارة حتى  $1200^{\circ}\text{C}$ .
- هاون عقيق لطحن العينات.
- فرن لتلدين العينات من شركة (Carbolite) يصل أقصى درجة حرارة له  $1100^{\circ}\text{C}$ .
- جهاز التحليل الحراري التفاضلي DTA وهو من نوع Shimadzu.
- جهاز انعراج الأشعة السينية XRD من طراز Philips-PW-1840 الذي يعمل على مصدع من الكوبالت  $\text{Co-K}\alpha$  بطول موجة  $\lambda = 1.7889\text{A}^{\circ}$ .
- جهاز الأشعة ما تحت الحمراء نموذج FT-IR-4100 من شركة Jasco.
- جهاز الفلورة photo-Luminance (PLFS20).
- بودرة فلوريد السترانسيوم ذات حجم حبيبي أقل من 5 ميكرو بنقاوة 99.9% من إنتاج شركة SIGMA ALDRICH الأمريكية و بودرة معدن النيكل ذات نقاوة 99.0% من إنتاج شركة Eroulab TM MEDID و اسيتون نقى بنسبة 99% من إنتاج شركة:

### 2-3- تحضير العينات

تم تحضير العينات بطريقة تفاعل الحالة الصلبة. وفقاً لذلك، يتم خلط أوزان المساحيق المطلوبة لكل عينة للحصول على المركبات المطلوبة للدراسة، حيث تم ادخال شائبة النيكل بنسب وزنية محددة من الوزن الكلي للعينة (3g).

$\text{SrF}_2$ :  $\text{Ni}_x$  ( $x=0.1, 0.15, 0.2, 0.25, 0.3, 0.35, 0.4, 0.45, 0.5$ ) wt%

ويبين ذلك وفق الجدول (1).

**الجدول (1) كتل المواد المستخدمة في تحضير العينات من أجل النسب الوزنية**

X wt%	Ni	$\text{SrF}_2$
0.1	0.003	2.997
0.15	0.0045	2.9955
0.2	0.006	2.994
0.25	0.0075	2.9925
0.3	0.009	2.991
0.35	0.0105	2.9895
0.4	0.012	2.988
0.45	0.0135	2.9865
0.5	0.015	2.985

يتم طحن هذه المواد في هاون العقيق جيداً لتحويلها إلى مساحيق ناعمة جداً. تم استخدام الأسيتون للمساعدة في خلط المركبات الصلبة أثناء عملية تحضير العينة بكميات صغيرة نسبياً. تم طحن المواد السابقة وخلطها بهاون العقيق لضمان الحصول على خليط متجانس بعد إضافة كمية من الأسيتون لتحسين عملية الخلط المتGANSE له لمدة 15 دقيقة تقريباً حتى يجف الأسيتون. تكررت هذه العملية ثلاث مرات متتالية لكل عينة. بعد ذلك، يجف الخليط الناتج بتخزينه إلى درجة حرارة  $100^\circ\text{C}$  لمدة كافية لضمان إزالة الرطوبة.

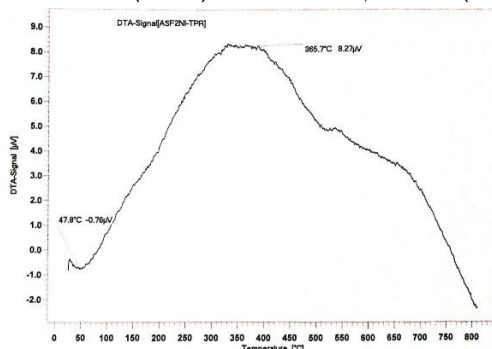
تم تلدين العينات عند درجة حرارة 400 درجة مئوية لمدة 6 ساعات، وبعد ذلك تم تبريد العينات تدريجياً في فرن التسخين إلى درجة حرارة الغرفة بمعدل 1 درجة مئوية / دقيقة.

#### 4 - النتائج والمناقشة

##### 4-1 - الخصائص البنائية للعينات المحضرة

###### 4-1-1 - دراسة منحني التحليل الحراري التفاضلي DTA

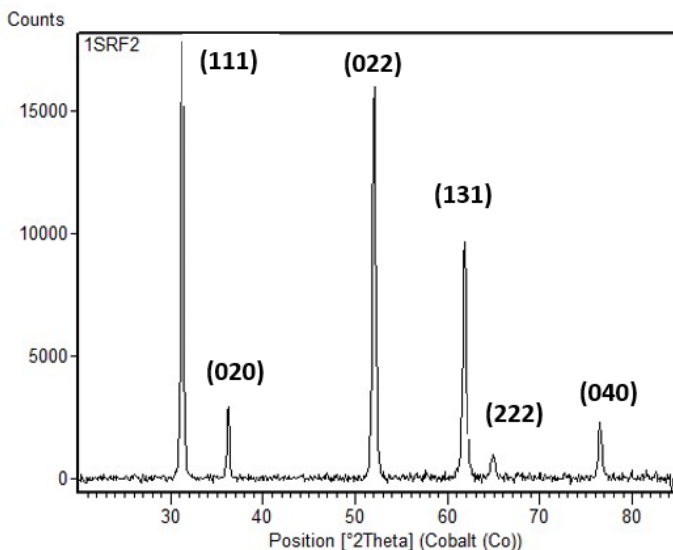
يبين المنحني المبين في الشكل التالي السلوك الحراري للجملة حيث تم المسح ضمن مجال درجات الحرارة (0-1000 °C). حيث تم اختيار النسبة (0.25) لدراسة التغيرات الحرارية.



**الشكل (1) مخطط (DTA)** لجملة فلوريد السترانسيوم المشاب بالنيكل بنسبة (0.25) يظهر على مخطط التحليل الحراري (DTA) للعينة المحضرة تأثيرات ناشرة للحرارة، يشير التأثير الحراري الأول الناشر للحرارة عند درجة الحرارة (365.7 °C) إلى دخول النيكل إلى داخل البنية البلورية لفلوريد السترانسيوم، ويشير التأثير الثاني الناشر للحرارة عند الدرجة (542.1 °C) إلى تشكيل أكسيد النيكل (NiO)، بينما يشير التأثير الحراري الثالث الناشر للحرارة عند الدرجة (677.3 °C) إلى تشكيل أكسيد السترانسيوم.

###### 4-1-2 - مخططات انعراج الأشعة السينية (XRD) للمركب النقي ( $\text{SrF}_2$ ) والمشاب بنسبي مختلف من النيكل.

تمت دراسة البنية البلورية لمركب فلوريد السترانسيوم النقي والمرمد عند الدرجة (400 °C) ولمدة (6h) وذلك ليطابق العينات المعالجة لاحقاً عند إضافة النيكل.



الشكل (2) طيف انعراج الأشعة السينية لمركب فلوريد السترانسيوم النقي

تم تحديد فرائن ميلر لقمة الانعراج لمركب فلوريد السترانسيوم النقي بالمقارنة مع بنك المعلومات **JCPDS** (Joint Committee on Powder Diffraction Standards) وتبيّن أن المخطط يتطابق مع البطاقة الرجعية (SrF<sub>2</sub>: 96-900-9044).

يتبلور فلوريد السترانسيوم النقي وفق بنية بلورية مكعبية متمركزة الوجوه (FCC).

بالاستفادة من قياسات انعراج الأشعة السينية لمركب فلوريد السترانسيوم النقي تم تعين القيمة الوسطية لثابت الشبكة البلورية  $a$  بعد حساب قيمة  $d$  (المسافة بين المستويات البلورية) من قانون برااغ [10]:

$$n\lambda = 2d \cdot \sin\theta \quad (1)$$

تم حساب ثابت اسبر سبريرية (a) في حالة البنية البلورية المكعبية وبالاعتماد على العلاقة الآتية [11] [12]:

$$\frac{1}{d_{hkl}^2} = \frac{h^2 + k^2 + l^2}{a^2}$$

$$a = d\sqrt{h^2 + k^2 + l^2} \quad (2)$$

تم حساب حجم وحدة الخلية أيضاً الذي يعطي بالعلاقة [13]:

$$V = a^3 \quad (3)$$

تم استنتاج حجم التبلور  $D$  للعينات بعد حساب العرض عند منتصف الشدة العظمى لقلم الانعراج باستخدام علاقة ديباي\_شيرر:

$$D = \frac{0.94\lambda}{\beta \cos\theta} \quad (4)$$

تم تقدير انفعال الشبكة البلورية و كثافة الانخلاصات ٨ من المعاملات البنوية التي تم استخلاصها من طيف الانتعاج السابق باستخدام العلاقتين (5) و (6) [14]:

$$\varepsilon = \frac{\beta \cos \theta}{4} \quad (5)$$

$$\delta = \frac{n}{D^2} \quad (6)$$

حيث أن:

n: عامل يعطي الحد الأدنى من الانخلالات عندما يكون مساوياً للواحد.

$\beta$ : عرض منتصف القمة ويؤخذ بواحدة الراديان عند منتصف الشدة العظمى.

زاوية براغ:  $\theta$

يبين الجدول (2) القيم التي تم حسابها.

الجدول (2) قيم كل من  $2\theta$  و  $d_{hkl}$  و  $a$  و  $V$  لمركب SrF<sub>2</sub> النقي.

$a(A^\circ)$	$d_{hkl} (A^\circ)$	$2\theta(^{\circ})$	( $hkl$ )
5.753	3.32134	31.248	(111)
5.757	2.87869	36.207	(020)
5.769	2.03979	52.020	(022)

**تأثير إشابة النikel في الخصائص البنوية لمركب فلوريد السترانسيوم**

---

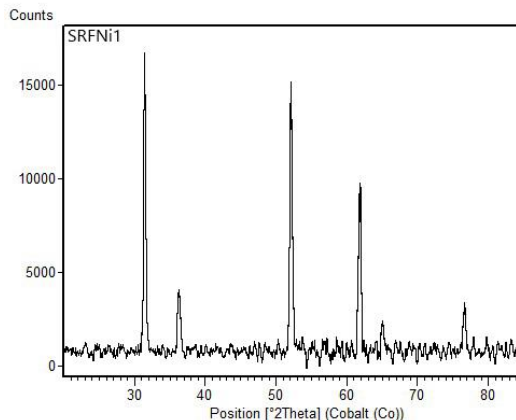
5.774	1.74107	61.830	(131)
5.775	1.66715	64.898	(222)
5.779	1.44474	76.507	(040)
$a = 5.768(A^\circ)$			
$V = 191.904(A^\circ)^3$			

يوضح الجدول (3) قيم كلٍ من  $D, \beta, \varepsilon, \delta$  لمركب فلوريد السترانسيوم النقي :

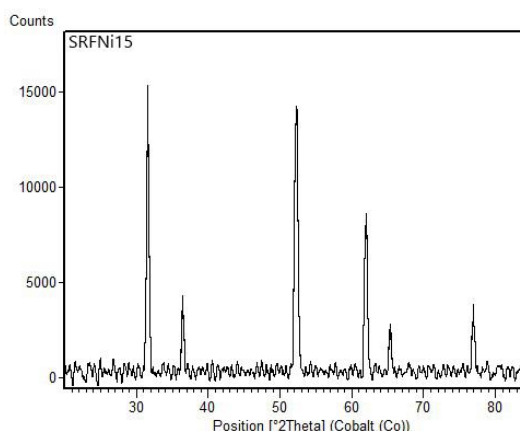
**الجدول (3) قيم كلٍ من  $D, \beta, \varepsilon, \delta$  لمركب فلوريد السترانسيوم النقي**

$\delta \times 10^{15}$	$\varepsilon \times 10^{-3}$	$D(nm)$	$\beta(^{\circ})$	$2\theta$
50.807	94.764	4.436	0.3936	31.248
27.839	70.147	5.993	0.2952	36.207
24.888	66.325	6.339	0.2952	52.020
40.321	84.420	4.980	0.3936	61.830
60.954	103.796	4.050	0.492	64.898
33.781	77.271	5.441	0.3936	76.507
$\bar{D} = 5.207nm , \delta = 39.765 , \varepsilon = 82.787$				

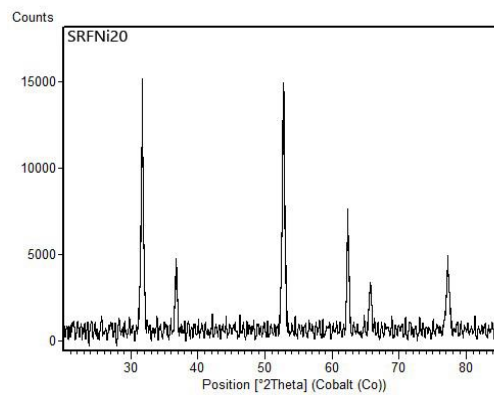
يبين الشكل (2) مخطط انعراج الأشعة السينية لمركب فلوريد السترانسيوم المشاب بالnickel بنسبة (0.1 %) والمتمد عند الدرجة (400 °C) ولمدة (4h).



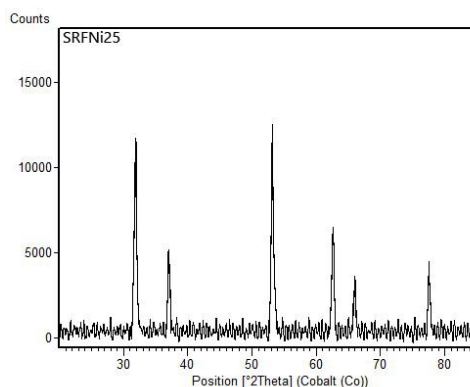
**الشكل (3) طيف انعراج الأشعة السينية لجملة ( $\text{SrF}_2:0.1\text{Ni}$ )**



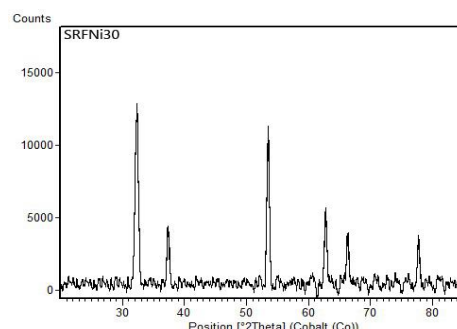
**الشكل (4) طيف انعراج الأشعة السينية لجملة ( $\text{SrF}_2:0.15\text{Ni}$ )**



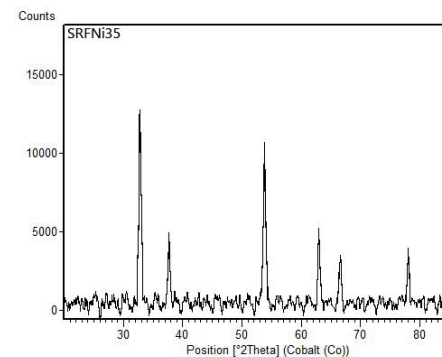
الشكل (5) طيف انعراج الأشعة السينية لجملة ( $\text{SrF}_2:0.2\text{Ni}$ )



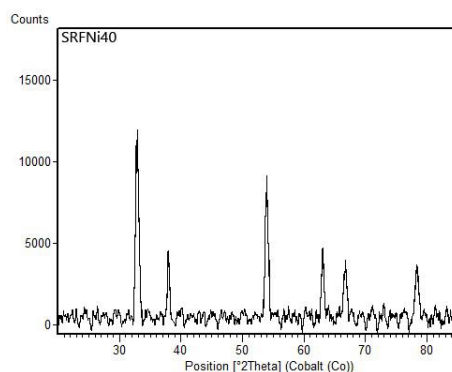
الشكل (6) طيف انعراج الأشعة السينية لجملة ( $\text{SrF}_2:0.25\text{Ni}$ )



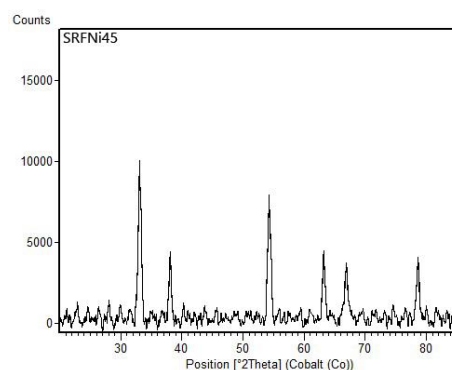
الشكل (7) طيف انعراج الأشعة السينية لجملة ( $\text{SrF}_2:0.3\text{Ni}$ )



الشكل (8) طيف انعراج الأشعة السينية لجملة ( $\text{SrF}_2:0.35\text{Ni}$ )



الشكل (9) طيف انعراج الأشعة السينية لجملة ( $\text{SrF}_2:0.4\text{Ni}$ )



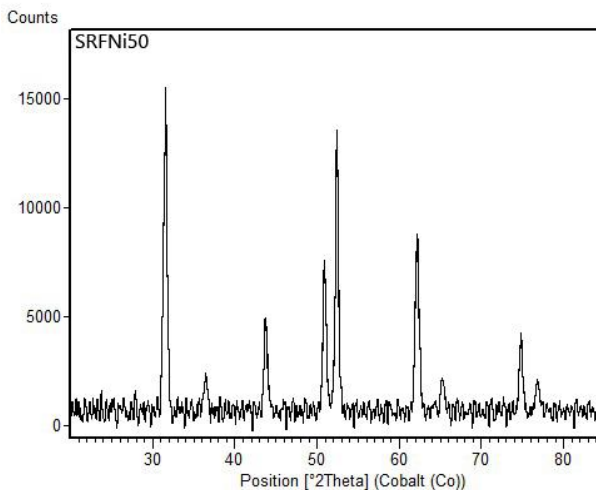
الشكل (10) طيف انعراج الأشعة السينية لجملة ( $\text{SrF}_2:0.45\text{Ni}$ )

لم يُلاحظ في الاشكال السابقة تغيير واضح في القم سوى انزيادات طفيفة في موقع القم نحو زوايا الانتعاج الأعلى مما يدل على توسيع البلورات، كما أن جميع القم تعود لمركب فلوريد السترانسيوم النقي [15].

يبين الجدول (4) قيم حجم التبلور وثابت الشبكة لمركب فلوريد السترانسيوم المشاب بنسب مختلفة من النيكل.

**الجدول (4) قيم حجم التبلور وثابت الشبكة لمركب فلوريد السترانسيوم**

X wt%	$a(A^\circ)$	$V(A^\circ)^3$	$\bar{D}(nm)$
0.1	5.765	191.559	6.374
0.15	5.744	189.498	6.999
0.2	5.716	186.764	7.767
0.25	5.690	184.265	7.776
0.3	5.655	180.928	8.381
0.35	5.630	178.492	8.644
0.4	5.612	176.810	9.074
0.45	5.584	174.244	9.672



**الشكل (11) طيف انعراج الأشعة السينية لجملة ( $\text{SrF}_2:0.5\text{Ni}$ )**

يلاحظ من المخطط الناتج ظهور قمم إضافية وذلك عند اشابة النيكل بنسبة 0.5% مما يدل على وجود طور آخر وبالبحث ضمن المركبات المحتمل تشكيلها تبين أن قرائين ميلر للقمن (022) (020) (111) المقابلة للزوايا (43.643), (50.837), (74.748) على التوالي الإضافية تعود لمركب ( $\text{NiO}$ ) بما يتطابق مع البطاقة المرجعية (96-101-0094) مع بقاء القمم الأساسية العائدة لفلوريد السترانسيوم بما يتوافق مع البطاقة المرجعية - $(\text{SrF}_2:0.5\text{Ni})$  900-9044. وبناء عليه تم دراسة كل طور لوحدة

. يبين الجدول (5) قيم كلٍ من  $2\theta$  و  $a$  و  $d_{hkl}$  و  $V$  لجملة ( $\text{SrF}_2:0.5\text{Ni}$ )

**الجدول (5) قيم كلٍ من  $2\theta$  و  $a$  و  $d_{hkl}$  و  $V$  لجملة ( $\text{SrF}_2:0.5\text{Ni}$ )**

$a(\text{\AA})$	$d_{hkl} (\text{\AA})$	$2\theta(\text{\\circ})$	$(hkl)$
5.717	3.301	31.447	(111)
5.739	2.869	36.328	(020)
5.740	2.029	52.311	(022)
5.750	1.734	62.117	(131)

5.756	1.662	65.140	(222)
5.766	1.441	76.717	(040)
$a = 5.745(A^\circ)$			
$V = 189.578(A^\circ)^3$			

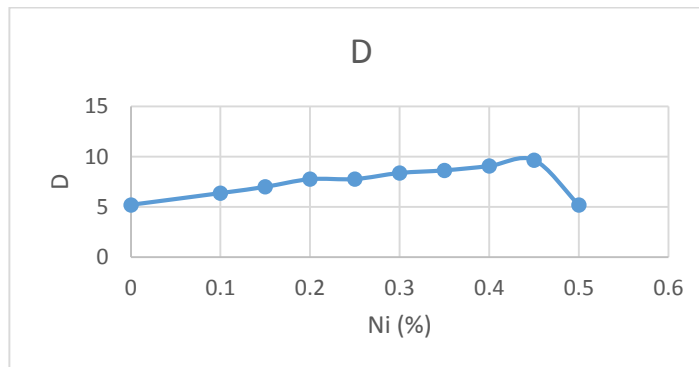
يوضح الجدول (6) قيم كلٍ من  $D, \beta, \varepsilon, \delta$  لجملة ( $SrF_2:0.5Ni$ )

#### الجدول (6) قيم كلٍ من $D, \beta, \varepsilon, \delta$ لجملة ( $SrF_2:0.5Ni$ )

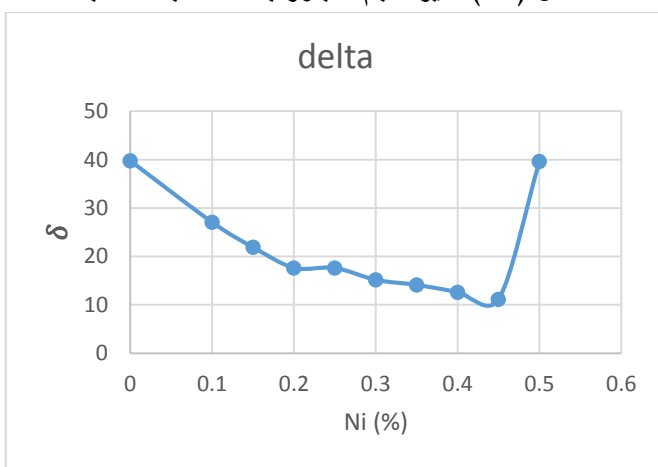
$\delta \times 10^{15}$	$\varepsilon \times 10^{-3}$	$D(nm)$	$\beta(^{\circ})$	$2\theta$
50.758	94.718	4.439	0.394	31.447
27.820	70.122	5.995	0.295	36.328
24.827	66.243	6.347	0.295	52.311
40.200	84.294	4.988	0.394	62.117
60.789	103.656	4.056	0.492	65.140
33.684	77.160	5.449	0.394	76.717
$\bar{D} = 5.212nm , \delta = 39.680 , \varepsilon = 82.699$				

ويرسم تغير كلٍ من حجم التبلور وكثافة الاختلاعات والانفعال الداخلي بدلالة نسبة الاشابة تظهر

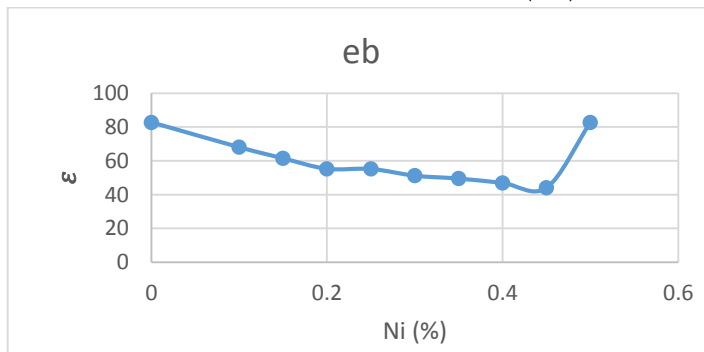
لدينا المخططات التالية:



الشكل (12) تغير حجم التبلور بدلالة نسبة الاشابة



الشكل (13) تغير كثافة الانخلاعات بدلالة نسبة الاشابة



#### الشكل (14) تغير الانفعال الداخلي بدلالة نسبة الاشابة

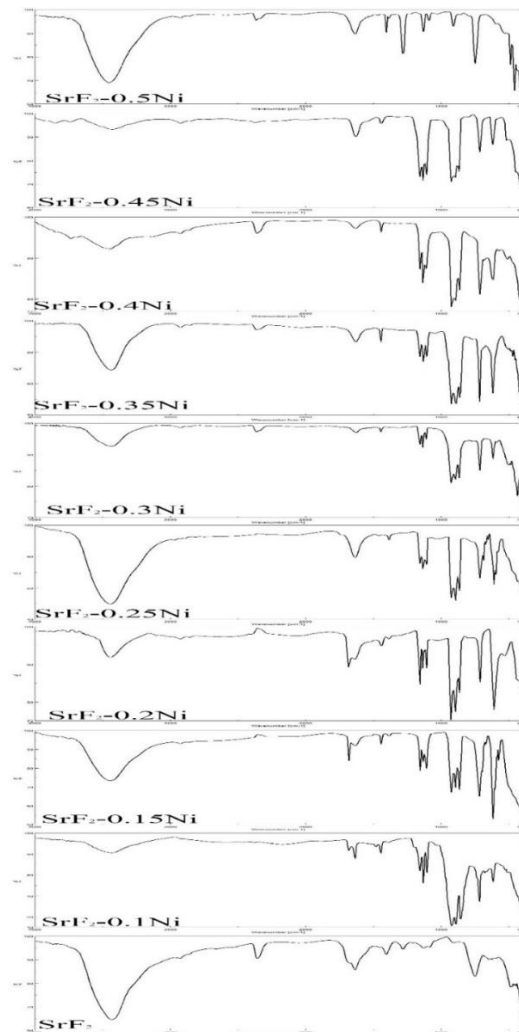
يلاحظ من المخططات السابقة تزايد في حجم التبلور بزيادة نسبة الاشابة بسبب حدوث انزيادات طفيفة في قيم  $(2\theta)$  نحو القيم الأعلى مما يؤدي إلى تناقص قيمة المقدار  $(\cos\theta)$  وبالتالي ازدياد قيمة حجم التبلور، حتى الوصول إلى النسبة (0.45%) لتوافق أعلى نسبة ممكنة للإشابة وبعدها عند زيادة نسبة النيكل يتشكل طور جديد لأكسيد النيكل. إضافة لطور نقى من فلوريد السترانسيوم.

كذلك يلاحظ انخفاض في قيمة (كثافة الانخلاءات) بما يتناسب مع نسبة الاشابة ويعود السبب في ذلك إلى وجود العلاقة العكسية بين حجم التبلور وكثافة الانخلاءات.

أما بالنسبة للإجهاد الداخلي فيلاحظ انخفاضه أيضاً بزيادة نسبة الاشابة حتى القيمة (0.45%) بسبب انخفاض قيمة المقدار  $(\cos\theta)$  بزيادة نسبة الاشابة كما وضحنا سابقاً.

4 - دراسة مطيافية الأشعة تحت الحمراء (FT-IR) لمركب فلوريد السترانسيوم النقى والمشاب بنسب مختلفة من النيكل

يبين الشكل التالي أطيف الأشعة تحت الحمراء للمركبات المحضرة وبنسب إشابة مختلفة.



**الشكل (12) أطیاف الأشعة تحت الحمراء لمركب فلوريد السترانسيوم النقي والمشابه بالنیکل بنسب مختلفة**

بمقارنة هذه الأطیاف مع بعضها يتبيّن لدينا ظهور عصابات امتصاص جديدة عند الاشارة بالنیکل بمختلف النسب وهذه العصابات تدل على تشكيل روابط جديدة بين النیکل وفلوريد السترانسيوم، حيث تعتمد مواقع الحزم والقمم الامتصاصية على البنية البلورية للمادة والتركيب الكيميائي وأيضاً

على مورفولوجيا المادة [16]. وعند الاشابة بالنسبة (0.5) يلاحظ تغير الطيف واحتفاء عصبات الامتصاص الدالة على ارتباط النikel بفلوريد السترانسيوم وظهور عصابة جديدة تدل على تشكل أكسيد النikel وهذا ما تطابق مع نتائج انعراج الأشعة السينية السابقة الذكر [15].

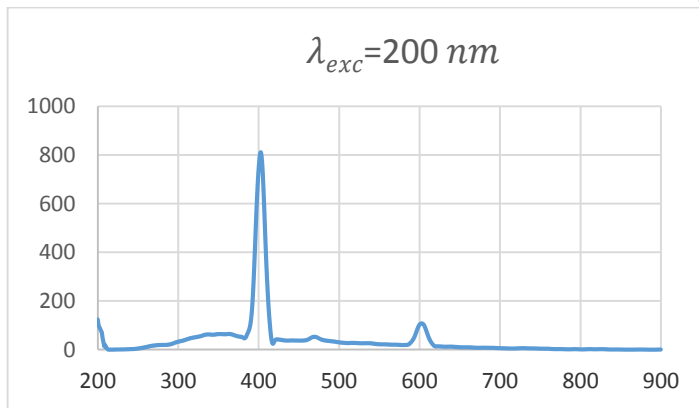
#### 4- 3 - دراسة التألق الضوئي(PL) لمركب فلوريد السترانسيوم النقى والمشاب بنسب مختلفة من النikel

قيست طيف الفلورة للعينات المحضرة باستخدام جهاز الفلورة الضوئية PL ضمن الأطوال الموجية 200-900nm.

حيث تم إثارة العينات بأطوال موجية مختلفة تتراوح ضمن المجال  $\lambda_{exc} = 200$  nm - 500 nm بإضافة 50 nm في كل إثارة وسجل طيف الإصدار لهذه العينات.

يبين الشكل التالي طيف التألق لمادة فلوريد السترانسيوم النقى والمثاررة عند طول موجة

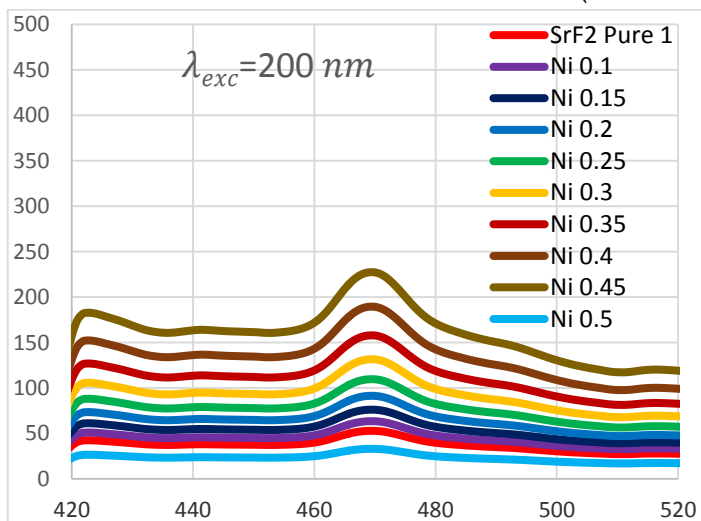
$$\lambda_{exc} = 200 \text{ nm}$$



الشكل (13) طيف الفلورة لمركب فلوريد السترانسيوم النقى

من أجل إثارة عند الطول الموجي  $\lambda_{exc} = 200 \text{ nm}$  كان الإصدار عند عدة أطوال موجية أهمها 358nm و 400nm، القمة الأولى للإصدار تعود إلى تألق الزجاج حيث أن العينة وضعت ضمن خلية حاملة ذات نافذة زجاجية، أما القمة الثانية فتعود لفلورة فلوريد السترانسيوم الطبيعية.

بينما يظهر الشكل التالي أطیاف التألق للعينات المحضرة بنسب اشباه مختلفة من النیکل وذلك عند تکبیر المجال (420-520 nm) لتوضیح تفاصیل قمة الفلوره لكل عینه فنلاحظ وجود قمة اصدار عند طول موجة  $\lambda_{em} = 470 nm$  حيث كان الإصدار الأکتوی للتألق عند الاشباه بالنیکل بالنسبة (0.45 wt %).



الشكل (14) طيف الفلوره لمركب فلوريد السترانسیوم المشاب بنسب مختلفه من النیکل ولحساب الفجوة الطاقیة يتم تحديد طول موجة الامتصاص والاصدار كما يلي:

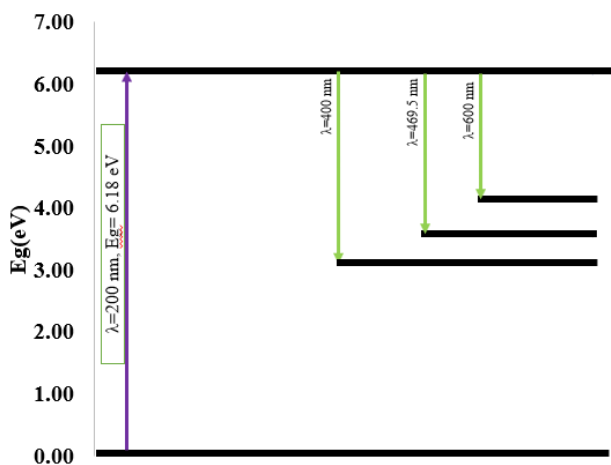
الجدول (7) قيم الفجوة الطاقیة

الفجوة الطاقیة (eV)	طول الموجة (nm)	
6.18	200	اثارة
3.10	400	اصدار
2.63	469.5	اصدار
2.06	600	اصدار

يمكن تمثیل هذه الانتقالات الالکترونیة بالمخھط التالي:

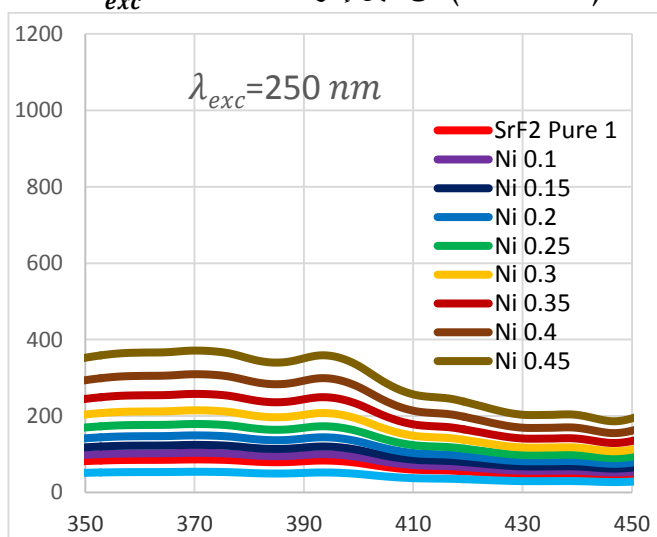
## تأثير إشابة النikel في الخصائص البنوية لمركب فلوريد السترانسيوم

---



الشكل (15) مخطط الانتقالات الالكترونية لمركب فلوريد السترانسيوم المشاب بالنيل

$$\lambda_{exc} = 200 \text{ nm} (0.45 \text{ wt\%})$$



الشكل (16) طيف الفلورة لمركب فلوريد السترانسيوم المشاب بنسبي مختلف من النيل

**الجدول (8) قيم الفجوة الطاقية**

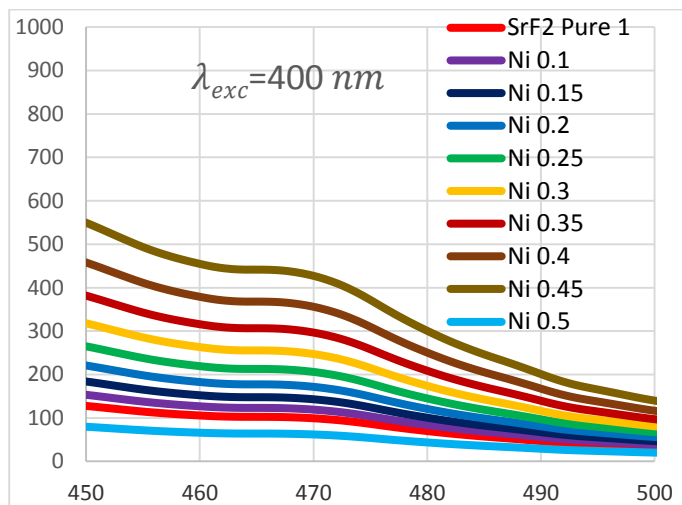
الفجوة الطاقية (eV)	طول الموجة (nm)	
4.95	250	اثارة
3.31	375	اصدار
3.19	394	اصدار

**الشكل (17) مخطط الانتقالات الالكترونية لمركب فلوريد السترانسيوم المشابب بالنيكل**

$$\lambda_{exc} = 250 \text{ nm} (0.45 \text{ wt\%})$$

## تأثير إشابة النikel في الخصائص البنوية لمركب فلوريد السترانسيوم

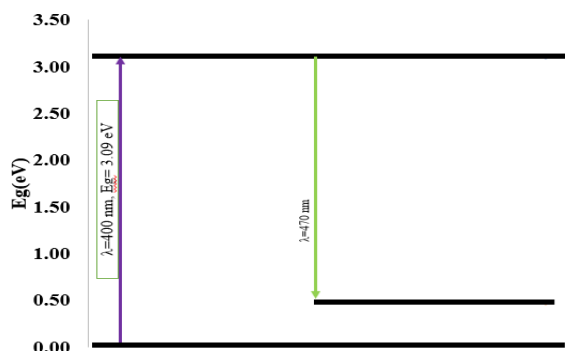
---



الشكل (18) طيف الفلورة لمركب فلوريد السترانسيوم المشابب بنسوب مختلفة من النيكيل

الجدول (9) قيم الفجوة الطاقية

الفجوة الطاقية (eV)	طول الموجة (nm)	
3.10	400	اثارة
2.64	470	اصدار



الشكل (19) مخطط الانتقالات الالكترونية لمركب فلوريد السترانسيوم المشابب بالنيكيل

$$\lambda_{exc} = 400 \text{ nm} (0.45 \text{ wt\%})$$

**الاستنتاجات**

1. تم تلدين العينات عند درجة حرارة 400 درجة مئوية اعتماداً على مخطط التحليل الحراري (DTA) لمدة 6 ساعات.
2. يشير التأثير الحراري من مخطط (DTA) الناشر للحرارة عند درجة الحرارة (365.7 °C) إلى دخول النيكل إلى داخل البنية البلورية لفلوريد السترانسيوم.
3. يشير التأثير الثاني الناشر للحرارة عند الدرجة (542.1 °C) إلى تشكّل أكسيد النيكل (NiO)، بينما يشير التأثير الحراري الثالث الناشر للحرارة عند الدرجة (677.3 °C) إلى تشكّل أكسيد السترانسيوم.
4. أظهرت نتائج XRD أن فلوريد السترانسيوم النقي يتبلور وفق بنية بلورية مكعبية متمركزة (FCC).
5. لم يلاحظ من نتائج XRD تغيير واضح في القم عند جميع الاشبادات بالنيكل (0.1 - 0.45 wt%) سوى انزيادات طفيفة في موقع القم نحو زوايا الانعراج الأعلى مما يدل على توسيع البليورات.
6. ظهر قم إضافية وذلك عند اشبابة النيكل بنسبة (0.5 wt%) مما يدل على وجود طور آخر تعود لمركب (NiO).
7. انخفاض في قيمة (كثافة الانخلاءات) بما يتناسب مع نسبة الاشبابة.
8. انخفاض الإجهاد الداخلي بزيادة نسبة الاشبابة حتى القيمة (0.45 wt%).
9. تبين من مطيافية الأشعة تحت الحمراء (FT-IR) ظهور عصابات امتصاص جديدة عند الاشبابة بالنيكل بمختلف النسب وهذه العصابات تدل على تشكّل روابط جديدة بين النيكل وفلوريد السترانسيوم.
10. يلاحظ من مطيافية (FT-IR) تغير الطيف وانخفاض عصابات الامتصاص الدالة على ارتباط النيكل بفلوريد السترانسيوم وظهور عصابة جديدة عند الاشبابة بالنسبة (0.5 wt%).

11. أظهر طيف التألق الضوئي (PL) لمركب  $SrF_2$  النقي من أجل إثارة  $\lambda_{exc} = 200 nm$  إصدار عند عدة أطوال موجية أهمها 358nm و 400nm؛ القمة الأولى

للإصدار تعود إلى تألق الزجاج أما القمة الثانية فتعود لفلورا فلوريد السترانسيوم الطبيعية

12. بين طيف التألق من أجل إثارة  $\lambda_{exc} = 200 nm$  وجود قمة اصدار عند طول موجة

$\lambda_{em} = 470 nm$  حيث كان الإصدار الأقوى للتألق عند الاشابة بالنيل بالنسبة

(0.45 wt %)

### الوصيات

1. استبدال الشائبة بأحد العناصر الأرضية النادرة.

2. دراسة التألق بجهاز ذو طاقة أعلى.

### المراجع:

- [1] S.M. Dorfman, F. Jiang, Z. Mao, A. Kubo, Y. Meng, V.B. Prakapenka, T.S. Duffy, (2010) Phys. Rev. B 81 174121.
- [2] A. Bensalah, M. Mortiera, G. Patriarche, P. Gredinc, D. Vivien, J. (2006) Solid. State. Chem. 179 2636–2644.
- [3] C. Feldmann, M. Roming, K. Trampert, (2006) Small 2 1248–1250.
- [4] Z.W. Quan, D.M. Yang, P.P. Yang, X.M. Zhang, H.Z. Lian, X.M. Liu, J.Lin, (2008) Inorg. Chem. 47 9509–9517.
- [5] X. Wu, S. Qin, Z.Y. Wu, (2006) Phys. Rev. B 73 134103.

- [6] Thomas, M. E. (1997) Strontium Fluoride ( $\text{SrF}_2$ ). Handbook of Optical Constants of Solids, 883–897. doi:10.1016/b978-012544415-.50138-2.
- [7] Faraji, S., Ghasemi, S. A., Parsaeifard, B., & Goedecker, S. (2019). Surface reconstructions and premelting of the (100)  $\text{CaF}_2$  surface. Physical Chemistry Chemical Physics.
- [8] Zahedifar, M., Sadeghi, E., Kashefi biroon, M., Harooni, S., & Almasifard, F. (2015) Thermoluminescence dosimetry features of DY and Cu doped  $\text{SrF}_2$  nanoparticles under gamma irradiation. Applied Radiation and Isotopes, 105, 176–181.
- [9] Sh.Karabasannavar; et al, (2014) Synthesis, Characterization and Antimicrobial Activity of some Metal Complexes Derived from Thiazole Schiff Bases with In-vitro Cytotoxicity and DNA Cleavage Studies, *Asian Journal of Pharmaceutical and Medicinal Chemistry*, 2(4), 214–229.
- [10] Antonyak, O. T, Vistovskyy, V. V. (2015) Defect Luminescence in  $\text{CaF}_2$  nanoparticles. *Journal of luminescence*, 167:249–253.
- [11] Turgut, G, Keskenler, E, F, Aydin, S, Sonmez, E, Dogan, S, Duzgun, B & Ertugrul, M. (2013) Effect Of Nb Doping On Structural Electrical And Optical Properties Of Spray Deposited  $\text{SnO}_2$  Thin Films. Super lattices and Microstructures. ; 56: 107–116.
- [12] الصالح. محمود، اسماعيل. ابراهيم; (2019)، تحضير الجملة  $\text{Ag}_2\text{SnO}_3$  بطريقة gel، مجلة جامعة البعث، المجلد 43 العدد 8.

- [13] Cullity B.D., Stock, S.R. (2001). Elements of XRay diffraction (3rd ed.), Prentice Hall.
- [14] Mariappan. R., Ponnuswamy. V, & Suresh. P.(2012) Effect Of Doping Concentration On The Structural And Optical Properties Of PureAndTinDopedZincOxideThinFilmsByNebulizerSprayPyrolysis(NSP)Technique.SuperlatticesandMicrostructures.;52:500–513.
- [15] Cuimiao Zhang, Zhiyao Hou. (2010). Mesoporous SrF<sub>2</sub> and SrF<sub>2</sub>:Ln<sup>3+</sup>(Ln)Ce,Tb,Yb,Er)HierarchicalMicrospheres:HydrothermalSynthesis,Growing Mechanism, and Luminescent Properties.J.Phys.Chem,114,6928–6936.
- [16] خضرو. أحمد، نجار. عبير؛ (2019)، دراسة مطابافية الأشعة تحت الحمراء لمركبات أوكسيد القصدير النقي والمشاب بالحديد، مجلة جامعة البعث، المجلد 43 العدد 8.

## تحليل خصائص التيار والجهد كتابع لدرجة الحرارة واستخراج المقاومة

### المتسسلة لدبود شوتكي Cu/ZnO/Al

زينب الحسن<sup>1</sup> أ.د. عبد الرزاق الصوفي<sup>2</sup> أ.د. عبد الله رستناوي<sup>3</sup>

#### الملخص

في هذا البحث تم تحليل قياسات الجهد-التيار (V - I) التي أجريت على دبودات شوتكي من النمط Cu/ZnO/Al عند درجات حرارة (27 - 400°C)، اعتماداً على نظرية الانبعاث بالتأين الحراري (TE). تم تحليل الميزة الأمامية V - I لاستخراج ثوابت دبود شوتكي Cu/ZnO/Al. لوحظ أن ارتفاع حاجز الكمون ازداد مع زيادة درجة الحرارة حتى الدرجة 200°C ثم بدأ بالتناقص، كما وجد أنه على علاقة عكسية مع تيار الإشباع، بينما عامل المثالية ازداد. وبالمقارنة مع طريقة Cheung و Cheung لاستخراج المقاومة التسلسلية، وُجد أنه مع زيادة درجة الحرارة، انخفضت المقاومة المتسسلة وارتفاع حاجز الكمون، وأيضاً ازداد عامل المثالية. يعود سبب ذلك إلى وجود عدم تجانس في ارتفاع الحاجز. نمت دراسة تغيرات المقاومة المتسسلة وارتفاع حاجز الكمون حسب نظرية (TE) وكانت النتائج متطابقة مع نتائج نظرية Cheung و Cheung . إضافة لذلك، تم إجراء الدراسة بالاعتماد على نظرية Norde وتم الحصول على قيم المقاومة المتسسلة وارتفاع حاجز الكمون والتي كانت أصغر بكثير من القيم في نظرية Cheung و Cheung وتوافق نظرية (TE) إلى حد كبير في قيم عامل المثالية.

**الكلمات المفتاحية:** دبود شوتكي، أوكسيد الزنك، نظرية Cheung، نظرية Norde، نظرية الانبعاث الحراري (TE)، عامل المثالية، المقاومة المتسسلة، ارتفاع حاجز الكمون، الميزة V - I.

<sup>1</sup>طالبة دكتوراه <sup>2</sup>دكتور في فيزياء البلورات والأشعة السينية <sup>3</sup>دكتور في الفيزياء النووية

**Analysis of temperature dependent current and voltage  
characteristics and extraction of series resistance in Cu/ZnO/Al  
Schottky diodes**

**Abstract**

In this research, we analyze the current–voltage ( $I$ – $V$ ) measurements performed on Cu/ZnO/Al Schottky diodes at temperatures of (27 – 200 – 400°C). Based on the TE theory, the forward bias  $I$  –  $V$  characteristic was analyzed to extract the Schottky diode constants for the Cu/ZnO/Al Schottky diode. It was observed that the potential barrier increased with increasing temperature up to 200°C. and then started to decrease. It was also found to be inversely related to the saturation current, while the ideality factor increased. Compared with Cheung and Cheung's method for extracting the series resistance, it was observed that the series resistance and potential barrier decreased with increasing temperature, and the ideality factor increased. This is attributed to the presence of inhomogeneity in the barrier height. The variations of the series resistance and potential barrier height were studied according to the TE theory, and the results were consistent with those of Cheung and Cheung. The study was carried out based on Norde's theory and the values of series resistance and potential barrier were obtained which

were much smaller than the values in Cheung and Cheung's theory and in good agreement with TE theory in ideality factor values.

**Keywords:** Schottky diode, zinc oxide, Cheung's theorem, Norde's theorem, thermionic emission (TE) theory, ideality factor, series resistance, potential barrier, ( $I - V$ ) characteristic.

## 1. مقدمة

### 1.1. أهمية أكسيد الزنك في التطبيقات الإلكترونية:

بعد ZnO مادة مهمة للبحث عن التيار نظراً للأهمية الإلكترونية الضوئية والإلكترونية النانوية، مما يجعله مرشحاً مثالياً للديودات الباعثة للضوء فوق البنفسجي، لتحقيق هذه الأجهزة للتطبيقات يجب أن تكون مناسبة. ولكن يصعب تصنيع وصلات شوتكي جيدة من المواد نصف الناقلة بسبب وجود حالات الوجه البياني بين الفيلم والمعدن والتي يمكن أن تؤدي إلى انحراف كبير عن السلوك المثالي، حيث استخدم الباحثون معادن مختلفة مثل Pt, Al, Au, Ag, Pd و لتحقيق وصلات شوتكي موثوقة. تحتوي وصلات شوتكي هذه على ارتفاعات حاجز كمون تتراوح بين 0.6 eV إلى 0.8 eV مما يشير إلى التأثير غير المهم لحالات عيوب الوجه البياني (interface) (السطح البياني). علاوة على ذلك، تعتمد حالات الوجه البياني هذه بشدة على الخل في كثافة الفيلم المزروع وبالتالي على تقنية النمو المستخدمة [1].

يعتبر أكسيد الزنك ZnO من أنجح أنصاف-النواقل لأكسيد المعدن في شكل بنائه النانوية نظراً لتطبيقاته العديدة في الأجهزة الإلكترونية الضوئية. ترجع العديد من هذه التطبيقات المحتملة لأكسيد الزنك إلى الأسباب التي تجعله يتمتع طاقة الفجوة العصابية (طاقة المجال المحظوظ) واسعة تبلغ 3.37 eV وميزة بارزة تتمثل في وجود طاقة إكسيتون عالية تبلغ 60 meV. تكون وصلة شوتكي

أمراً حيوياً بين المعدن وأنصاف النوافل، والتي تنشأ بسبب (I) التباين بين الألفة الإلكترونية لأنصاف-النوافل وتابع عمل المعادن، وكذلك (II) تثبيت مستوى فيرمي لأنصاف - النوافل. فيتشكل بين المعدن ونصف الناصل حاجز شوتكي هو حاجز طاقة يمكن ضبطه عن طريق التحكم بعرض منطقة النضوب ونقل الشحنات عبر الوصلة. عند جهد تحبيب ثابت، يُظهر ارتفاع التيار وال الحاجز علاقة أسيّة، مما يجعل حاجز شوتكي حاسماً لتشغيل أي وصلة من وصلات أنصاف النوافل [2].

## 1-2 تحديد ثوابت دiodات شوتكي:

في تحقيق الأجهزة القائمة على أنصاف-النوافل، هناك العديد من الثوابت التي يجبأخذها في الاعتبار: عملية تحضير السطح، تكون ارتفاع الحاجز بين المعدن وأنصاف-النوافل وتجانسه، كثافة حالات الوجه البيني والخلع، الجهد المطبق والمقاومة المتسلسلية ( $R_s$ ). وتعتبر من بين كل هذه معامل هام يتسبب في أن تكون الميزة الكهربائية للأجهزة غير متماثلة. هناك تقنيات مختلفة لتقدير الثوابت الكهربائية الرئيسية من قياسات V - I للتحبيب الأمامي مثل طريقة Cheung وCheung وقانون أوم. تقدم طريقة Cheung وطريقة Norde نهجاً بديلاً من قانون أوم لتحديد ارتفاع الحاجز وعامل المثالية و ( $R_s$ ) من قياسات V - I للأمامية، والتي تعد الثوابت الكهربائية الرئيسية في توصيف وتوفير معلومات مفيدة بشأن طبيعة الدiodات وتحديد ارتفاع حاجز الكمون.

لا يعطي تحليل الميزة V - I للأمامية والعكسية لهذه الدiodات عند درجة حرارة الغرفة فقط وصفاً تفصيلياً لآلية نقل التيار، بل تعطى الميزة V - I في مجال واسع من درجات الحرارة فهماً واضحاً لجوانب آلية نقل التيار وتكوين الحاجز. بشكل عام، تحرف الميزة V - I للأمامية لهذه الأجهزة عن نظرية TE المتماثلة وفقاً لطريقة Cheung وCheung. لا تزال هناك بعض الصعوبة في التنبؤ بظاهرة النقل الدقيق. يوفر التحليل الدقيق للميزة V - I للديودات عند درجات

حرارة مختلفة معلومات مفصلة عن عملية النقل وطبيعة تكوين الحاجز عند واجهة أنصاف-النوائق المعدنية. ومع ذلك، في حالة وجود جهد حاجز غير متجانس بين المعدن وأنصاف-النوائق، فإن كمون حاجز يشبه حاجزاً يتكون من بقع أعلى وأسفل يمر التيار من خلالها. وبالتالي، من الممكن تفسير ذلك من خلال نظرية TE مع التوزيع الغاوسي لجهد حاجز الكمون.

في هذه التحليل، تمت دراسة الميزة V – I الأمامية والعكسية كتابع لدرجة الحرارة لديود شوتكي Cu/ZnO/Al عند درجات حرارة (400 – 200 – 27). تم حساب المقاومة المتسلسلة وارتفاع حاجز شوتكي وعوامل المثالية باستخدام الطرق التقليدية وكذلك الطرق البديلة. تم الحصول على ارتباط عادل مع الطرق البديلة والطرق التقليدية في مناطق معينة من المخططات. كان الانحراف عن آلية نقل TE المثالية مشكلة مع مواد ZnO [3].

## 2. هدف البحث

- دراسة الميزة جهد- تيار V – I لديود شوتكي عند درجات حرارة مختلفة.
- دراسة تأثير درجة الحرارة على الميزة جهد - تيار.
- حساب ارتفاع كمون الحاجز وعامل المثالية وتيار الإشباع وفقاً لنظرية الانبعاث الحراري.
- حساب كمون الحاجز وعامل المثالية وتيار الإشباع وفقاً لنظرية Cheunge و Cheunge .
- حساب كمون الحاجز وعامل المثالية وتيار الإشباع وفقاً لنظرية Norde .
- مقارنة النتائج التي حصلنا عليها من النظريات الثلاثة.
- تحديد الطريقة المناسبة والأفضل لدراسة كديودات شوتكي.
- 

## 3. مواد وطرق البحث

تحليل خصائص التيار والجهد كتاب لدرجة الحرارة واستخراج المقاومة المتسلسلة لديود شوتكي  
**Cu/ZnO/Al**

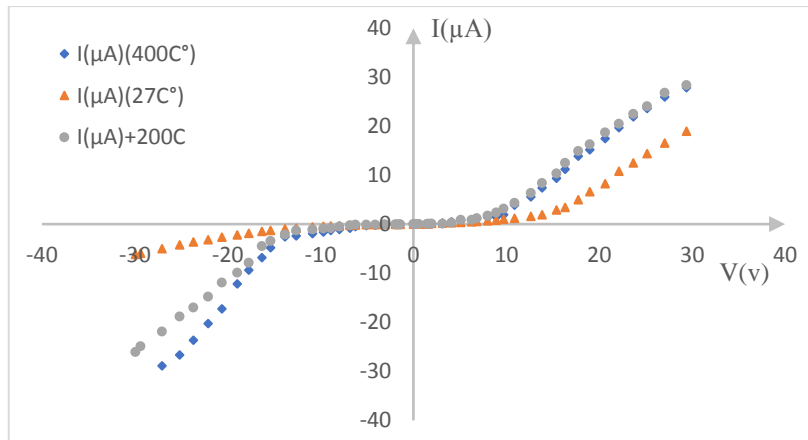
---

استعمل ZnO (99.5% ®Honeywell Riedel-de Haen) كعينة أساسية، تم ترسيب فيلم ZnO على Cu لتحقيق الوصلة الأومي بواسطة طريقة الطلاء بالبخ (وهي طريقة تم باستخدام ضغط الغاز يتم بخ المادة المراد تصايفها على المعدن). حيث أولاً حضرت الأقراص النحاسية بنصف قطر متماثل من أجل جميع العينات 1.0cm، غسلت بالماء المقطر وجافت لمدة 24 ساعة عند درجة حرارة المخبر. ثم جرى ترسيب الأكسيد بسمك 50 $\mu$ m على القرص باستعمال طريقة الطلاء بالبخ بمساعدة الغاز المضغوط (غاز التتروجين) [4.5]. حضرت وصلة شوتكي Al ذات سمك 1 $\mu$ m تقريباً التي تم بخها على الوجه العلوي من ZnO ، باستعمال طريقة البخ الحرارية.

تم الحصول على الميزة V – I الأمامية والعكسية باستخدام دارة إلكترونية مؤلفة من مقاييس أمبير - مقاييس فولت ومغذيه كهربائية ومجموعة من المقاومات (تم شرح آليات التوصيل للدارة الإلكترونية كما في الشكل (6) واخذت القيم من الملحق (1) المذكور في نهاية المقال).

#### 4. القسم العملي:

4.1 دراسة تأثير درجة الحرارة على الميزة V – I في دiode شوتكي :Cu/ZnO/Al يوضح الشكل (1) الميزة V – I لдиودات شوتكي من النمط Cu/ZnO/Al عند درجات حرارة (27 – 200 – 400 °C).



الشكل (1) الميزة V - I لليودات شوتكي من النط  $\text{Cu}/\text{ZnO}/\text{Al}$  عند درجات حرارة  $(27 - 200 - 400 \text{ K}^{\circ})$

تم رسم الميزة (V - I) لدiodات شوتكي من النمط Cu/ZnO/Al عند درجات حرارة (27 - 400°C). يُظهر سلوك المنحنيات اعتماداً قوياً على درجة الحرارة وانحرافاً عن دiodات شوتكي المثالىة، حيث تبدي الدiodات سلوكاً تقويمياً غير خطى.

إن الانحناء المcur للأسفل لمخطط الميزة الأمامية V - I (كما هو موضح في الشكل) عند الفولتية الكبيرة يرجع بشكل رئيسي إلى المقاومة المتسلسلة  $R_s$  الناتجة بشكل رئيسي عن المادة الأساسية (الركيزة) للديود. وبالتالي، من أجل تقييم الثوابت الكهربائية لـ diodes شونتكى بدقّة، عند قياس V - I يجب تحليل الميزة من خلالأخذ تأثير المقاومة المتسلسلة  $Cu/ZnO/Al$  [1]، [2]، [3]. يمكن أن تهيمن حالات الوجه البيني [5] في المنطقة بين نصف الناقل والمعدن. وُجد أن منطقة التحيز الأمامي تخضع لتأثير حالات الوجه البيني، بينما تظهر تأثيرات  $R_s$  في منطقة التحيز الأمامي العالية. من خلال الشكل (1) نلاحظ تناقص جهد التشغيل الذي يعزى إلى انخفاض ارتفاع حاجز الكمون مع ارتفاع درجة الحرارة، حيث الطاقة الحرارية المكتسبة تساعده حوامل الشحنة (إلكترونات-ثقوب) على تجاوز ارتفاع حاجز الكمون بسهولة أكبر، هذا يعني أن

## تحليل خصائص التيار والجهد كتاب لدرجة الحرارة واستخراج المقاومة المتسلسلة لديود شوتكي **Cu/ZnO/Al**

---

التيار نفسه يمكن تحقيقه بجهد أقل لأن الطاقة الحرارية تساعد على تنشيط حوامل الشحنة وبالتالي زيادة عددهم مما يحسن في الناقلة الكهربائية للطبقة نصف الناقلة، وتقلل درجات الحرارة المرتفعة من مقاومة النقل داخل المادة مما يقلل من الجهد المطلوب.

وجهد الانهيار عند تعرض الديودات للحرارة، كما أن الحرارة قد عملت على تدهور الديودات بشكل أكبر وهذا ما بينه تناقص جهد الانهيار مع ارتفاع درجة الحرارة.

### 4.2 دراسة تأثير درجة الحرارة على ارتفاع حاجز الكمون اعتماداً على نظرية الانبعاث

الحراري:

بالاعتماد على نظرية الانبعاث بالتأين الحراري (TE) [6]، [7].

$$I = I_s \exp\left(\frac{q(V - IR_s)}{nkT}\right)$$
$$I_s = AA^*T^2 \exp\left(-\frac{q\phi_B}{kT}\right) \quad (1)$$

إلى المعادلة التالية:

$$I \approx I_s \left\{ \exp\left(\frac{qV}{nkT}\right) - 1 \right\} \approx I_s \left\{ \exp\left(\frac{qV}{nkT}\right) \right\} \quad (2)$$
$$V > \frac{3kT}{q}$$

حيث  $q$  شحنة الإلكترون،  $V$  الجهد المطبق،  $n$  عامل المثالية،  $k$  ثابت بولتزمان،  $R_s$  المقاومة المتسلسلة،  $A$  مساحة الديود،  $A^*$  ثابت ريتشاردسون المقدر  $32 \text{ A cm}^{-2} \text{ K}^{-2}$

ZnO.

، درجة الحرارة المطلقة،  $I_s$  تيار الإشباع و  $\emptyset_{(B)}$  ارتفاع حاجز (بالفولت)، ويعطى  $\emptyset_{(B)}$  بالعلاقة:

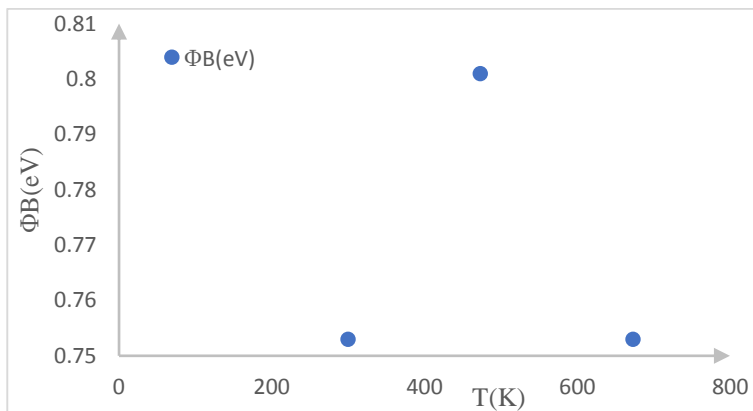
$$\emptyset_{(B)} = \frac{(kT)}{q} \frac{\ln(AA^* T^2)}{I_s} \quad (3)$$

تعطى قيم حاجز الكمون وفقاً للجدول التالي (1):

673	473	300	T(K)
0.753	0.801	0.7756	$\emptyset_B(eV)$

الجدول (1) قيم حاجز الكمون بدلالة درجة الحرارة.

يبين الشكل (2) ارتفاع حاجز الكمون بدلالة درجات الحرارة المختلفة.



الشكل (2) ارتفاع حاجز الكمون بدلالة درجات الحرارة المختلفة.

يوضح الشكل (3) مخطط ارتفاع الحاجز  $\emptyset_{B(I-V)}$  مقابل درجة الحرارة، عند درجات حرارة 27 – 200 – 400 °C ، نلاحظ أن حاجز الكمون يزداد بازدياد درجة الحرارة حتى الدرجة 200°C ثم يبدأ بالتناقص. في الظروف المثالية حاجز الكمون يميل للانخفاض أو أن يبقى ثابتاً مع زيادة درجة الحرارة بسبب الطاقة الحرارية. ولكن في الطبقات السميكة عند التسخين حتى الدرجة

تحليل خصائص التيار والجهد كتاب لدرجة الحرارة واستخراج المقاومة المتسلسلة لليود شوتكي  
**Cu/ZnO/Al**

---

200°C غالباً ما يحدث تحسن في جودة التماس بين الألمنيوم وطبقة أوكسيد الزنك باعتبار أن التسخين يزيل الرطوبة والملوثات أو الغازات المحبوسة في التماس ويعزز الارتباط بين الذرات، مما يؤدي إلى تقليل العيوب والتدخلات عند التماس. هذا يؤدي إلى زيادة حاجز الكمون حيث قد تظهر ظاهرة ارتفاع حاجز الكمون الظاهري بسبب إعادة الشحنات المحاصرة (مثل العيوب والمصائد) التي قد تتحرر أو تتوزع مما يؤدي إلى تغيير في ارتفاع الحاجز الظاهري، حيث يتحسن التبلور الجزيئي أو إعادة ترتيب الذرات في التماس الذي يمكن أن يزيد من حاجز الكمون وبالتالي يؤدي ذلك إلى زيادة حوامل الشحنة المتاحة عبر الحاجز هو السبب المحتمل لزيادة ارتفاع الحاجز مع درجة الحرارة. عند درجة الحرارة الأعلى 400°C قد تبدأ بعض الظواهر السلبية مثل انتشار (Diffusion) ذرات الألمنيوم داخل أوكسيد الزنك، مما يؤدي إلى تغيير تركيب التماس فت تكون مناطق غير متجانسة أو تتشكل طبقات أوكسيد جديدة أو تحدث تفاعلات كيميائية غير مرغوبة فزيادة العيوب أو حدوث هذه التفاعلات تعمل على زيادة ارتفاع حاجز الكمون. أيضاً قد يؤدي التسخين العالي إلى تدهور البنية البلورية أو زيادة المصائد مما يقلل ارتفاع الحاجز [8].

#### 4.3 دراسة تأثير درجة الحرارة على تيار الإشباع:

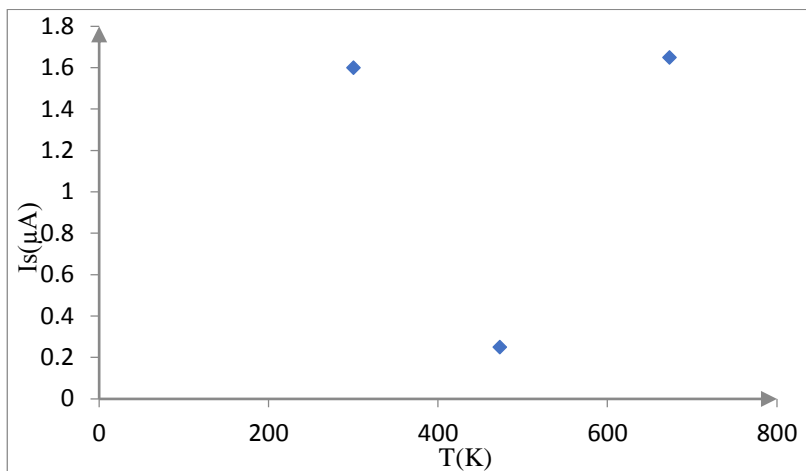
يتم حساب تيار الإشباع لمعرفة مدى التغيرات الحاصلة عليه بتغير درجة الحرارة باستخدام المعادلة (1)، يمكن حساب قيمة تيار الإشباع  $I_s$  من مخطط  $\ln I$  مع  $V$ . من الميزة المقاسة  $V - I$  الموضحة في الشكل (1).

يبين الجدول التالي (2) قيم تيار الإشباع المتعلقة عند درجات حرارة مختلفة:

673	473	300	T(K)
1.649	0.249	1.6	$I_s(\mu A)$

الجدول (2) قيم تيار الإشباع المتعلقة عند درجات حرارة مختلفة.

يوضح الشكل (3) تغيرات تيار الإشباع لديود شوتكي  $\text{Cu/ZnO/Al}$  بتغيير درجة الحرارة.



الشكل(3) تيار الإشباع لديود شوتكي  $\text{Cu/ZnO/Al}$  عند درجات حرارة مختلفة.

نلاحظ من خلال الشكل (3) نلاحظ أن ارتفاع حاجز الكمون يرتبط ارتباطاً مباشراً بتيار الإشباع حسب العلاقة (1)، فكلما ازداد تيار الإشباع تناقص ارتفاع حاجز الكمون، فهو يتناصف معه عكساً وهذا ما يفسر أن عند كل قيمة عظمى لتيار الإشباع. تمتلك الكواشف أصغر قيمة لارتفاع حاجز الكمون وبالعكس. كما لاحظنا تغير تيار الإشباع بتغيير درجة الحرارة حيث تتناقص قيمته مع ازدياد درجة الحرارة ويتصف بعدم الخطية، وعند الدرجة  $400^{\circ}\text{C}$  يزداد قليلاً مع تناقص ارتفاع حاجز الكمون عند هذه القيمة. إن تيار الإشباع العكسي  $I_s$  في هذه الدراسة هو في حدود  $10^{-6} \text{ A}$ ، مما يشير إلى أنه حتى عند إيقاف تشغيل الديود، يستمر تيار صغير في التدفق عبر الديود مرة أخرى. كلما كان التيار العكسي أكبر، كلما ظهرت مشاكل أكثر في بعض التطبيقات حيث يجب مراقبة كميات صغيرة من التيار [8].

#### 4.4 مقارنة تغير تيار الإشباع وعامل المثالية لдиود شوتكي $\text{Cu/ZnO/Al}$ عند درجات

حرارة المختلفة:

تحليل خصائص التيار والجهد كتاب لدرجة الحرارة واستخراج المقاومة المتسلسلة لليود شوتكي  
**Cu/ZnO/Al**

---

يمكن الحصول على قيم عامل المثلالية من خلال حساب ميل الخط البياني للميزة جهد - تيار وذلك باستخدام العلاقة [9]، [10] :

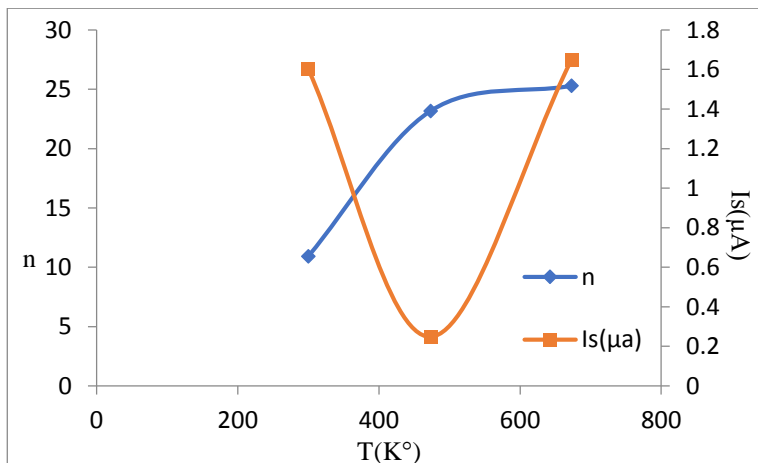
$$n = \frac{q}{(KT \times \text{slope})} \quad (4)$$

يوضح الجدول (3) التالي التغيرات الحاصلة لعامل المثلالية مع تغيرات تيار الإشباع عند درجات حرارة مختلفة.

<b>673</b>	<b>473</b>	<b>300</b>	<b>T(K)</b>
25.3	23.17	10.93	<b>n</b>

**(الجدول 3)**

يوضح الشكل (4) تغيرات تيار الإشباع وعامل المثلالية لليود شوتكي Cu/ZnO/Al عند درجات الحرارة مختلفة.



الشكل (4) تغيرات تيار الإشباع وعامل المثلالية لليود شوتكي Cu/ZnO/Al عند درجات حرارة مختلفة.

نلاحظ ارتباط عامل المثالية وتيار الإشباع وفق العلاقة (2)، من المتوقع أن يكون  $n$  صغيرة وقريبة من الواحد؛ ومع ذلك، يمكن ملاحظتها أكبر من هذه القيمة اعتماداً على التأثيرات المحتملة حتى لو كانت الانبعاث بالتأين الحراري TE (انبعاث إلكترونات بالحرارة) (thermionic emission) مهمين في تدفق التيار. بالإضافة إلى ذلك، يمكن أن يُعزى الانحراف عن افتراض TE إلى مجموعة متنوعة من التأثيرات المهيمنة لأداة التوصيل اعتماداً على تيار التوليد وإعادة الاتصال في منطقة الوصلة، وتدفق تيار النفق بسبب الطبقة البينية. وبالتالي، فإن قيمة  $n$  تعتمد على درجة الحرارة وهي في اتجاه تصاعدي مع زيادة درجة الحرارة [8]. ويمكن أيضاً أن تُعزى القيم العالية لـ  $n$  إلى عدم تجانس ارتفاع الحاجز عند الوجه البيني (interface) (السطح البيني) (وهو الوجه بين الطبقة نصف الناقلة والمعدن)، والنقل عبر حواجز الشحنة الأقلية، وإلى تيارات التسرب العالية. وبما أن قيمة  $(n > 20)$  فترجع على الأرجح إلى وجود عيوب في شبكة ZnO وأو ZnO/Al ووجود مصادر عند الوجه البيني. من ناحية أخرى، تُظهر هذه الاختلافات في ارتفاع الحاجز عامل المثالية مع درجات الحرارة ( $400^{\circ}\text{C} - 200 - 27$ ) أن نقل التيار عبر واجهة Al هو عملية نشطة بدرجة الحرارة، نظراً لأن ارتفاع الحاجز يتم توزيعه بشكل عشوائي بسبب ظاهرة عدم تجانس الحاجز، بالإضافة إلى مساهمة أليات نقل أخرى غير الانبعاث الحراري هذا يؤدي إلى سلوك أكثر تعقيداً وقيمة عامل مثالية أكبر.

كما نستنتج أن ارتفاع حاجز الكمون المقاس يكون أكبر وعامل المثالية أقل عند درجات الحرارة المنخفضة. ولكن مع ارتفاع درجة حرارة الكاشف، تكتسب الإلكترونات طاقة حركية أكبر للتغلب على ارتفاعات حاجز الكمون العالية مما يؤدي إلى قيم أصغر لارتفاعات الحاجز المقاسة وقيم أعلى لعامل المثالية عند ازدياد درجة الحرارة بما يتافق مع المرجع [4]، [11]، [12] .

#### 4.5 تحديد حاجز الكمون والمقاومة المتسلسلة لدiod شوتكي Cu/ZnO/Al عند درجات الحرارة المختلفة اعتماداً على نظرية TE و Cheung و Cheung

## تحليل خصائص التيار والجهد لليود شوتكي Cu/ZnO/Al

---

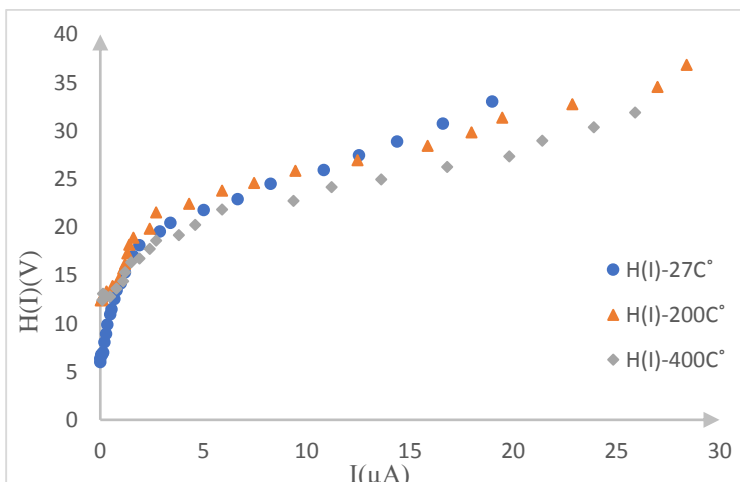
إن دراسة الميزة الكهربائية لليودات شوتكي وتحديد الثوابt الكهربائية اعتماداً على نظرية الانبعاث بالتأين الحراري غير كافي حيث لم تُظهر النظرية مدى تأثير المقاومة المتسلسلة على تغير ارتفاع حاجز الكمون وعامل المثالية، لذلك لابد من دراستهم عن طريق نظرية الانبعاث بالتأين الحراري ونظرية Cheung و Cheung بإضافة المقاومة المتسلسلة للثبات تبيان التغيرات الحاصلة في الثوابt عند وجود المقاومة المتسلسلة. لتحديد  $n$ , تم قياس  $R_s$  من الميزة الأمامية V – I باستخدام العلاقات التالية [10]، [13]:

$$\frac{(dV)}{d(\ln I)} = \frac{(nkT)}{q} + IR_s \quad (4)$$

$$H(I) = V - \left( \frac{(nkT)}{q} \right) \ln \left( \frac{I}{AA^*T^2} \right) \quad (5)$$

$$H(I) = n\phi_{(Beff)} + IR_s \quad (6)$$

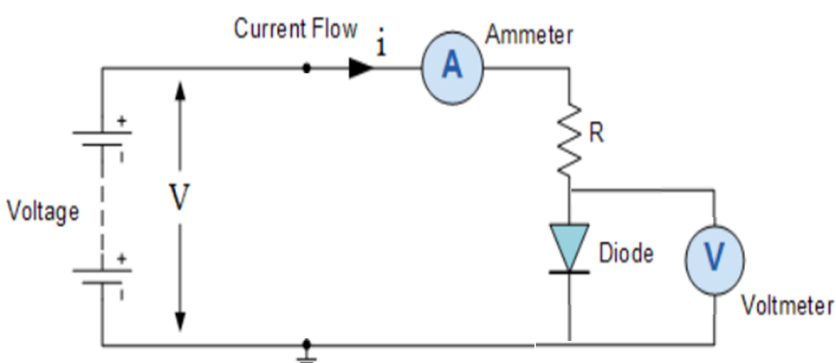
يبين الشكل (5) ارتفاع حاجز الكمون لليود شوتكي عند درجات حرارة مختلفة.



الشكل (5) ارتفاع حاجز الكمون لليود شوتكي عند درجات حرارة مختلفة.

باستخدام العلاقة (6) تم الحصول على الشكل (5) الذي يبين ارتفاع حاجز الكمون لليودات شوتكي عند درجات حرارة مختلفة حسب نظرية الانبعاث بالتأين الحراري بعد إضافة المقاومة المتسلسلة، ومن خلالها استطعنا تحديد المقاومة التسلسلية وحساب ارتفاع حاجز الكمون لليودات شوتكي وذلك من ميل الخطوط البيانية السابقة ونقطة التقاطع.

من الشكل (5) وبمقارنته القيم التي حصلنا عليها سابقاً لارتفاع حاجز الكمون وهذه القيم سوف نجد اختلافاً، من الواضح وجود تأثير للمقاومة المتسلسلة  $R_s$  على الثوابت المقدرة  $(B, I_s, n, \phi)$ . حيث أدى وجودها إلى انخفاض قيم ارتفاع كمون الحاجز مع ارتفاع درجة الحرارة. كما نلاحظ أن عامل المثالية قد حافظ على قيم ثابتة بعد إضافة المقاومة المتسلسلة. وبالتالي، لا يمكن إهمال انخفاض جهد الدiode  $R_s$  فيما يتعلق بالجهد المطبق. وفقاً لـ Tung (1992)، تكون الميزة  $V - I$  لوصلة شوتكي خطية عند جهد تحيز أمامي منخفض ولكنها تصبح غير خطية بشكل ملحوظ بطبعتها عند جهد تحيز أمامي أعلى بسبب المقاومة المتسلسلة  $R_s$  الناتجة من المادة الأساسية (الركيزة). من الواضح أن لها تأثير صغير جداً في منطقة التحيز الأمامي المنخفض، إلا أن لها تأثيراً كبيراً في منطقة التيار الأعلى بسبب الانخفاض الكبير في الجهد  $I R_s$ ، وتكون الدارة الإلكترونية المكافحة لليودات شوتكي ذات المقاومة التسلسلية  $R_s$  في الشكل (6) [14]، [15].



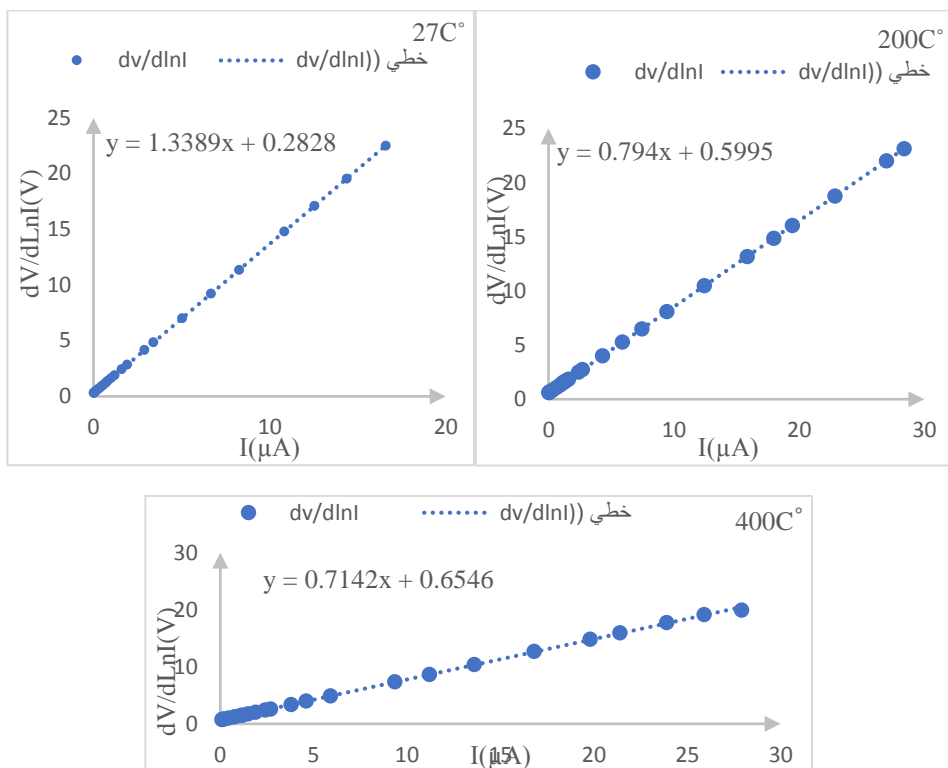
الشكل (6) الدائرة المكافحة لليودات شوتكي ذات المقاومة التسلسلية

**تحليل خصائص التيار والجهد كتابع لدرجة الحرارة واستخراج المقاومة المتسلسلة لديود شوتكي  
Cu/ZnO/Al**

بالاعتماد على نظرية Cheung و ذلك برسم  $\frac{dV}{d(\ln I)}$  مقابل  $I$  الموضح في الشكل

(7) يعطي قيمة للمقاومة المتسلسلة عند درجات الحرارة المختلفة. وذلك من المعادلة (4) بوصلة المخطط عند محور التيار الصفرى بـ  $\frac{\eta kT}{q}$  ، يتم تحديد قيمة  $n$ . تمثل الدوائر الممتلئة البيانات التجريبية بينما يمثل الخط المنقط (خط الاتجاه) مطابقتها. إن وجود المقاومة المتسلسلة  $R_s$  في طبقات أوكسيد الزنك Cu/ZnO/Al يجعل أداء الديودات غير مثالي بطبيعته.

يبين الشكل (7) مخطط  $\frac{dV}{d(\ln I)}$  مقابل الديودات شوتكي Al/ZnO عند درجات حرارة مختلفة.



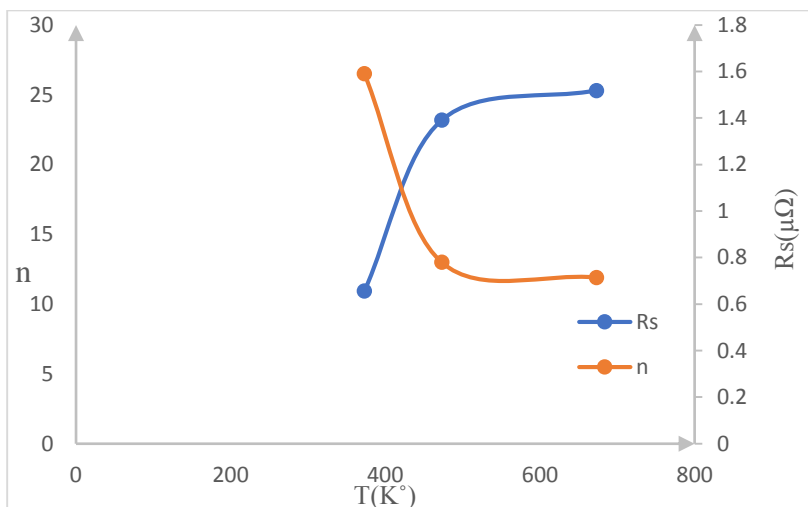
الشكل (7) مخطط  $dV/d \ln I$  مقابل الديودات شوتكي Cu/ZnO/Al عند درجات حرارة مختلفة.

يبين الجدول (4) قيم ارتفاع حاجز الكمون والمقاومة المتسلسلة وعامل المثالية بالاعتماد على نظرية الانبعاث بالتائين الحراري ونظرية Cheung و Cheung.

673	473	300	T(K)
0.58	0.67	0.993	$\emptyset_{(Beff)}(eV)$
0.7142	0.794	1.338	$R_s (\mu\Omega)$
25.3	23.17	10.93	$n$

الجدول (4)

يبين الشكل (8) تغيرات المقاومة المتسلسلة وعامل المثالية لليودات شوتكي Cu/ZnO/Al عند درجات حرارة مختلفة.



الشكل (8) تغيرات المقاومة المتسلسلة وعامل المثالية لليودات شوتكي Cu/ZnO/Al عند درجات حرارة مختلفة.

تحليل خصائص التيار والجهد كتاب لدرجة الحرارة واستخراج المقاومة المتسلسلة لليود شوتكي  
**Cu/ZnO/Al**

---

يوضح الشكل (8) تغير المقاومة المتسلسلة وعامل المثالية لليودات شوتكي Cu/ZnO/Al عند درجات حرارة مختلفة. يظهر من الشكل (8) اعتماد المقاومة المتسلسلة بشكل كبير على درجة الحرارة، حيث نلاحظ تناقص قيمتها مع ارتفاع درجة الحرارة، بينما يزداد عامل المثالية وهذا يدل على زيادة العيوب داخل بنية نصف الناقل وكذلك العيوب المتشكلة عند الوجه البيني بين نصف الناقل والمعدن [16]، [17]، [18]، [15]. وبالمقارنة مع القيم المحسوبة في الجدول (4) حسب نظرية الانبعاث بالتأين الحراري بعد إضافة المقاومة المتسلسلة نلاحظ تطابق في القيم مع نظرية Cheung و Cheung وهذا يدل على دقة النتائج.

#### 4.6 تحديد حاجز الكمون والمقاومة المتسلسلة لليود شوتكي Cu/ZnO/Al عند

درجات حرارة مختلفة اعتماداً على نظرية Norde :

سنحدد قيمة المقاومة المتسلسلة باستخدام دالة نورد [4]، [11] الموصوفة بالعلاقة التالية

$$F(V) = \frac{V}{\gamma} - \frac{kT}{q} \ln \left( \frac{I(V)}{AA^*T^2} \right) \quad (7)$$

حيث ( $n >$ ) هو أصغر عدد صحيح (بدون أبعاد) مقاساً بالطريقة التقليدية.

باستخدام القيم المقاسة المizza  $V - I$  ، يظهر اختلاف  $F(V)$  كدالة لجهد التحيز المطبق  $V$  في الشكل (9) وفقاً لطريقة نورد، يتم تحديد قيمة ارتفاع الحاجز بواسطة

$$\emptyset_{(Beff)} = F(V_0) + \frac{V_0}{\gamma} - \frac{kT}{q} \quad (8)$$

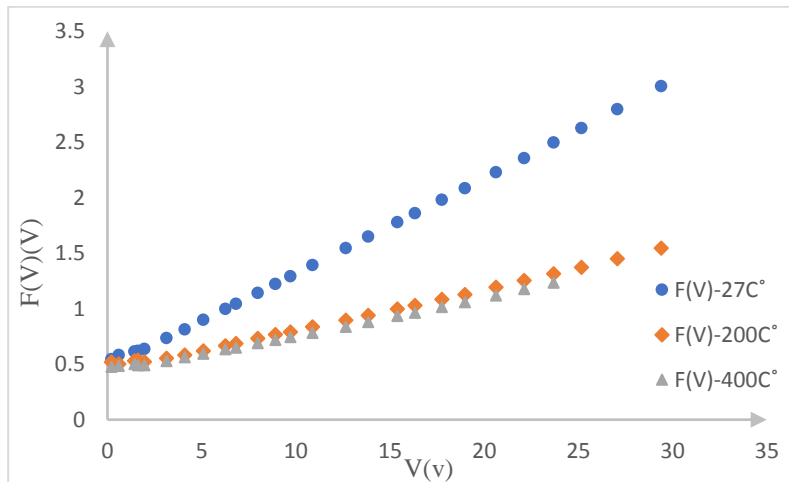
حيث ( $V_0$ ) هي النقطة الدنيا لـ  $F(V)$  التي تحدث عند  $V = V_0$ .

تم تحديد قيمة  $R_s$  لليودات Cu/ZnO/Al باستخدام العلاقة التالية:

$$R_s = \left( \frac{kT(\gamma - \eta)}{q I_{min}} \right) \quad (9)$$

حيث  $I_{min}$  هو الحد الأدنى للتيار المطابق للجهد  $V_0$  حيث تمتلك  $F(V)$  أدنى قيمة لها كما هو موضح أيضاً في الشكل (9).

يبين الشكل (9) ارتفاع حاجز الكمون لليودات شوتكي Cu/ZnO/Al عند درجات حرارة مختلفة.



الشكل (9) ارتفاع حاجز الكمون لليودات شوتكي Cu/ZnO/Al عند درجات حرارة مختلفة.

يبين الجدول (5) الكمون الأصغرى وقيمة ارتفاع حاجز الكمون والتيار الأصغرى وعامل المثالثية والمقاومة المتسلسلة عند درجات حرارة مختلفة

$R_s$ ( $\mu\Omega$ )	$(\emptyset_{(Beff)})$ (eV)	$n$	$F(V_0)$ (V)	$I_{min}$ ( $\mu A$ )	$V_0$ (V)	T(K)
0.181	0.53	10.93	0.54	0.01	0.2	300
0.306	0.507	23.17	0.502	0.07	0.2	473
0.181	0.45	25.3	0.47	0.1	0.2	673

من خلال الجدول (5) كانت جميع قيم ارتفاع حاجز الكمون المقاسة أقل من قيمة شوتكي-موت المتوقعة البالغة  $1.0 \text{ eV}$ ، مما يشير إلى أن بنية الوجه البيئي وحالاته المرتبطة به تؤثر على

## تحليل خصائص التيار والجهد كتابع لدرجة الحرارة واستخراج المقاومة المتسلسلة لديود شوتكي $\text{Cu/ZnO/Al}$

---

حاجز شوتكي [19]. وخصوصاً وفق لنظرية نورد، ولكن لا نستطيع في هذه النظرية حساب قيمة عامل المثالية دون نظريتي الابتعاث بالتأين الحراري ونظرية Cheung و Cheung، على الرغم من أن قيمة ارتفاع حاجز الكمون هنا تعتبر الأفضل حسب نورد من باقي القيم المحسوبة وفق النظريات السابقة، كم ورد في الجدول (4). كما لاحظنا أن قيم ارتفاع حاجز الكمون والمقاومة المتسلسلة متلاصقة مع ارتفاع درجة الحرارة حسب نورد. يمكن أن يعزى الأداء الضعيف لديودات شوتكي المصنعة إلى عدة عوامل، مثل عدم التساوي على سطحها العلوي، والمقاومة العالية على التوالي، والتوزيع غير المتساوي للشحنات في الوجه البيني، انخفاض الجهد عبر وصلة M/S وجود عيوب وتيارات تسرب ناتجة عن مستويات عالية من إعادة التركيب. علاوة على ذلك وبالتالي، قد تكون شواغر الأكسجين موجودة على سطح ZnO ، تعمل كمراكثر تشبه الجهات المانحة، مما يؤدي إلى تسرب كبير في نفق التيار من Al إلى بنية ZnO المودع [8].

علاوة على ذلك، فقد تبين أن الطبقات المحضرة باستخدام الطرق الكيميائية في الهواء تنتج طبقة عازلة تؤثر على ارتفاع الحاجز، لذلك كانت قيم  $n$  التي تم الحصول عليها لجميع العينات أعلى بكثير من الوحدة ويشير هذا إلى أن سلوك ديدون شوتكي غير مثالي ويمكن أن يعزى إلى المقاومة المتسلسلة وتوزيعات الشحنة البينية وانخفاض الجهد عبر الوصلة المعدنية/أنصاف-النواقل [20].

قمنا بتلخيص قيم جميع الثوابت مثل ارتفاع الحاجز، وعامل المثالية والمقاومة المتسلسلة التي تم الحصول عليها بالطريقة التقليدية، وطريقة Cheung وطريقة Norde إن تحليل الابتعاث الحراري التقليدية وطريقة Cheung يعطي ارتفاع في الحاجز وعامل المثالية والمقاومة المتسلسلة أكبر من طريقة Norde.

### 5. النتائج و مناقشتها

❖ تمت دراسة الميزة V – I عند تعريض الديودات للحرارة، لاحظنا تأثير واضح

لدرجة الحرارة على الميزة.

❖ استنتجنا أن الانحناء المقعر في الميزة يعود إلى المقاومة المتسلسلة لذلك اقترحنا أن تتم الدراسة بأكثر من طريقة.

❖ طريقة الاتبعاث التأين الحراري غير كافية لدبيودات شوتكي حيث لم تعطي تصوير كامل عن تغيرات في ارتفاع حاجز الكمون وعامل المثالية.

❖ يزداد ارتفاع حاجز الكمون مع ارتفاع درجة الحرارة ثم ينخفض وبالتالي يُظهر سلوك غير خطى مع تغير درجة الحرارة عند ( $27 - 400^{\circ}\text{C}$ )

❖ تيار الإشباع لأغلب الديبودات هو من رتبة  $A^{-6}$  ويتناقص مع بازديد درجة الحرارة ويتصف بعدم الخطية.

❖ توصلنا إلى وجود علاقة ارتباط بين عامل المثالية وتيار الإشباع حيث لاحظنا زيادة في عامل المثالية يقابلها تناقص في تيار الإشباع مع ارتفاع درجة الحرارة.

❖ تبين أن نظرية الاتبعاث بالتأين الحراري غير كافى لمثل الديبودات المحضرة، لم تظهر تأثير المقاومة المتسلسلة على تغير ارتفاع حاجز الكمون وعامل المثالية لذلك كان لابدا من تطبيق نظرية الاتبعاث وذلك بعد إضافة المقاومة المتسلسلة.

❖ بدراسة نظرية Cheunge وCheunge ونظرية الاتبعاث بالتأين الحراري بإدخال تأثير المقاومة المتسلسلة لاحظنا تناقص قيم ارتفاع حاجز الكمون والمقاومة المتسلسلة عند ارتفاع درجة الحرارة.

❖ وجدنا تطابق في القيم المحسوبة بنظرية الاتبعاث بالتأين الحراري ونظرية Cheunge وCheunge .

❖ حسبنا المقاومة المتسلسلة وارتفاع حاجز الكمون باستخدام طريقة Norde، فلاحظنا تناقص في قيم كل من ارتفاع كمون الحاجز والمقاومة المتسلسلة.

تحليل خصائص التيار والجهد كتابع لدرجة الحرارة واستخراج المقاومة المتسلسلة لdiyod شوتكي  
**Cu/ZnO/Al**

---

- ❖ توصلنا إلى أن أفضل القيم هي التي حصلنا عليها من نظرية Norde ولكن بسبب عدم القدرة على حساب عامل المثالية ووجود العامل الذي يسبب انحراف عن القيم المطلوبة تم الاعتماد على نظرية الانبعاث ونظرية Cheung.
- ❖ توصلنا إلى أن طريقة Cheung ونظرية الانبعاث بالتأين الحراري هي الطريقة المثلثى لدراسة ديدات شوتكي بحالة التي يكون فيها عامل المثالية كبير، أما طريقة نورد فهي متعدة بالحالة التي يكون فيها عامل المثالية مساوى أو أصغر من 1.

المراجع

[1]. ASGHAR, M. (2013)- Growth and interface properties of Au Schottky contact on ZnO grown by molecular beam epitaxy.

In: *Journal of Physics: Conference Series*. IOP Publishing, p012031.

[2].A. Lord et al, (2020)- Schottky Contacts on Polarity–Controlled Vertical ZnO Nanorods, *ACS Appl Mater Interfaces*, vol 2020, no 11, pp 13217–13228.

[3] Mayimele, M. A, van Rensburg, J. P. J, Auret, F. D, Diale, M, (2016)- Analysis of temperature–dependant current–voltage characteristics and extraction of series resistance in Pd/ZnO Schottky barrier diodes. Physical B: Condensed Matter Vol 480, Pp 58–62.

[4]. SOMVANSHI, Divya; JIT, Satyabrata. (2014)- Effects of Sn and Zn seed layers on the electrical characteristics of Pd/ZnO thin-film Schottky diodes grown on n-Si substrates. *IEEE Electron Device Letters*, Vol 35. No 9, Pp 945–947.

[5].CHENG, Ke, et al, (2007)-Surface states dominative Au Schottky contact on vertical aligned ZnO nanorod arrays synthesized by low-temperature growth. *New Journal of Physics*, Vol 9, No 7, pp 214.

[6] ASGHAR, M. (2013)–Electrical characterization of Au/ZnO/Si

Schottky contact. In: *Journal of Physics: Conference Series*. IOP

Publishing, Pp 012030.

[7]. RAJAN, Lintu; PERIASAMY, C.; SAHULA, Vineet. (2016)–Electrical characterization of Au/ZnO thin film Schottky diode on silicon substrate. Perspectives in Science. Vol 8, Pp66–68.

[8]Gullu, H. H, Bayraklı Sürçü, Ö, Terlemezoglu, M. A. K, B. U. L. E, Yildiz, D. E, & Parlak, M. (2019)– Investigation of electrical characteristics of Ag/ZnO/Si sandwich structure. *Journal of Materials Science: Materials in Electronics*, 30, 15371–15378.

[9]I. Hussain, M. Y. Soomro, N. Bano, O. Nur, (2012) – Interface trap characterization and electrical properties of Au–ZnO nanorod Schottky diodes by conductance and capacitance methods.

JOURNAL OF APPLIED PHYSICS. Vol 112, No 064506, Pp1–6

[10]KESKENLER, E. F.; HAIDAR, M. (2020)–Schottky diode fabrication via cold substrate evaporated ag on sol–gel derived ZnO ultra–thin films for semiconductor devices. *Journal of Ovonic Research.* Vol 16, no5, pp 309–321.

[11]Varma, T, (2017)–Design and Development of Zinc Oxide thin film based Schottky Diodes and TFTs and their application as UV

**Detectors.** (Doctoral dissertation, MNIT Jaipur) Vol 2, No 5, PP1–23.  
*vonic Research Vol.* 2020, 16.5: 309–321.

[12] MWANKEMWA, Benard S, (2023)– **Synthesis of Template-free**

**Flower-like ZnO Nanorods using a Simple Chemical Bath**

**Technique.** *Tanzania Journal of Science*, Vol 49, no 5, pp 1138–1150.

[13] Coppa, B. J., Davis, R. F., & Nemanich, R. J, (2003). **Gold**

**Schottky contacts on oxygen plasma-treated, n-type ZnO**

**(0001).** *Applied Physics Letters*, 82(3), 400–402.

[14] M. Özer, D. E. Yıldız, Ş. Altindal, and M. M. Bülbül, (2007)–  
**Temperature dependence of characteristic parameters of the**  
**Au/SnO<sub>2</sub>/n-Si (MIS) Schottky diodes**, *Solid State Electron*, vol. 51, no  
6, pp 941–949.

[15] Faraz, S. M., Khranovskyy, V., Yakimova, R., Ulyashin, A., &

Wahab, Q, (2011)–**Temperature dependent current transport in**

**Schottky diodes of nano structured ZnO grown on Si by magnetron**

**sputtering.** *Regional Symposium on Micro and Nano Electronics*, Vol  
978, No1, pp. 48–51

- [16] BRILLSON, Leonard J.; LU, Yicheng, (2011)-**ZnO Schottky barriers and Ohmic contacts.** *Journal of Applied Physics*, Vol 109, no12.
- [17] ASGHAR, M. et al. (2013)-**Electrical characterization of Au/ZnO/Si Schottky contact.** *In: Journal of Physics: Conference Series*. pp 012030.
- [18] MIRANDA, Enrique; MILANO, Gianluca; RICCIARDI, Carlo, (2020)-  
**Compact modeling of the IV characteristics of ZnO nanowires including nonlinear series resistance effects.** *IEEE Transactions on Nanotechnology*, vol 19, pp 297–300.
- [19] COPPA, B. J. (2005)-**Structural, microstructural, and electrical properties of gold films and Schottky contacts on remote plasma-cleaned, n-type ZnO {0001} surfaces.** *Journal of applied physics*, Vol,97, No 10.
- [20] AZHAR, Ebraheem Ali, et al. (2018)-**ZnO-based Schottky and oxide multilayer devices for visibly transparent photovoltaic applications.** *IEEE Transactions on Electron Devices*, vol 65, no8, pp 3291–3299.

## دراسة في المجموعات المولدة الصغرى لزمرة تبديلية

هيفاء صوبيص<sup>1</sup> د. إيمان الخوجة<sup>2</sup> د. عدنان الطيباني<sup>3</sup>

### الملخص

يعدُّ البحث عن مجموعاتٍ مولدة لزمرة تبديلية، وارتباط مفهوم التوليد بمفهوم الاستقلال وتعدد أنواع الاستقلال من القضايا الهامة في نظرية الزمر، حيث تكتسب الزمرة التبديلية التي تملك مجموعة مولدة خصائصاً هامة تميزها عن الزمر التي لا تماثلها. في هذه الورقة قمنا بدراسة مفهوم المجموعات المولدة الصغرى لزمرة تبديلية ومفهوم  $S$ -استقلال وذلك في زمرة الأعداد الصحيحة بالمقاس  $n$  وفي الزمر الدوارة المنتهية، كما قمنا بإيجاد مجموعات مولدة صغيرة لزمرة التبديلية الحرة حيث إن هذه المجموعات لا تشكل أساساً حرّاً لها، فضلاً عن إيجاد مجموعات مولدة صغرى لزمرة الأعداد الصحيحة.

**الكلمات المفتاحية.** مجموعة مولدة صغرى، مجموعة مستقلة، مجموعة مستقلة خطياً، مجموعة  $S$ -مستقلة، الأساس، الأساس الحر.

<sup>1</sup> طالبة دراسات عليا في قسم الرياضيات - كلية العلوم - جامعة حمص.

<sup>2</sup> أستاذ مساعد في قسم الرياضيات - كلية العلوم - جامعة حمص.

<sup>3</sup> مدرس في قسم العلوم الأساسية - كلية الهندسة الميكانيكية والكهربائية - جامعة حمص.

---

## A Study of Minimal Generating Sets of an Abelian Group

---

Haifaa Swies <sup>1</sup> Dr. Eaman Al-Khouja <sup>2</sup> Dr. Adnan Al-Taybani <sup>3</sup>

### Abstract

The aim of this paper is to study minimal generating sets of an abelian group and  $S$  – independent sets, in addition to examining the effect of the concept of independence, in its various forms, on the generating set of the abelian group, since an abelian group that has a generating set has important properties that distinguish it from non-isomorphic ones. We also studied minimal generating sets of  $(\mathbb{Z}_n, +)$  and finite cyclic groups. Additionally, we found minimal generating sets of free abelian groups; however, these sets don't form a free basis. Finally, we determine minimal generating sets of  $(\mathbb{Z}, +)$ .

**Key Words:** Minimal generating set, Independent set, linearly Independent set, Basis, Free Basis.

---

<sup>1</sup> Graduate Student , Department of Mathematics Homs University

<sup>2</sup> Assistant Professor, Department of Mathematics Homs University.

<sup>3</sup> .Department of Basic Sciences, Faculty of Mechanical and Electrical Engineering Homs University.

## مقدمة.

تعد مسألة التعبير عن عناصر بنية جبرية بدلالة عناصر مجموعة جزئية غير خالية منها من المسائل الهامة وذات أثر كبير في الرياضيات عموماً وفي الجبر على وجه الخصوص، ويعد البحث عن أصغر المجموعات المولدة لمختلف البنى الجبرية كالزمرة والحلقة وغيرها من البنى الجبرية، والتي درست من قبل M. Hrbek و P. Ruzicka في [1] و [2] و [3] و [4]، من أبرز الدراسات وأحدثها في هذا المجال، ففي عام 2015 قام M. Hrbek و P. Ruzicka في [4] بدراسة المجموعات المولدة الصغرى لأنواع من الزمر التبديلية كزمر الفتل والزمر عديمة الفتل وذلك من خلال طرح مفهوم  $S$ -استقلال، حيث تجدر الإشارة إلى أن مفهوم الاستقلال بأنواعه وتعوييماته وحالاته الخاصة تلعب دوراً هاماً في توصيف المجموعات المولدة للبنى الجبرية المختلفة، وبشكل خاص في الزمر التبديلية، وقد قمنا في هذه المقالة بدراسة ثلاثة أنواع من المجموعات وهي المجموعة المستقلة والمجموعة المستقلة خطياً بالإضافة إلى المجموعة الد  $S$ -مستقلة، حيث بيننا العلاقة بين هذه المجموعات كما قمنا بدراسة المجموعات المولدة ضمن حالات الاستقلال السابقة وبشكل خاص المجموعة المولدة الصغرى والتي تكون حسب تعريفها  $S$ -مستقلة، حيث قمنا بتوصيف طبيعة العلاقة بين عناصر مجموعة جزئية من زمرة الأعداد الصحيحة بالمقاس  $n$  لتكون مجموعة مولدة صغرى لهذه الزمرة، فضلاً عن تحديد قدرة أكبر مجموعة مولدة صغرى لها، بالإضافة إلى تعين المجموعات المولدة الصغرى لزمرة الدوارة المنتهية والتي مرتبتها  $n$  بناءً على التمايز بين هذه الزمرة وزمرة الأعداد الصحيحة بالمقاس  $n$ ، فضلاً عن ذلك قمنا بإيجادمجموعات مولدة صغرى لزمرة التبديلية الحرة انطلاقاً من أساس حر لها وذلك بطريقتين مختلفتين حيث إن المجموعة المولدة الصغرى في هذه الحالة لا تتشكل أساساً حرّاً لزمرة، فضلاً عن العديد من المبرهنات والنتائج الهامة المرتبطة بمفهوم المجموعة المولدة لزمرة والمجموعات المستقلة بأنواعها.

### 1- تعاريف ومبرهنات أساسية.

نعرض في هذه الفقرة بعض المفاهيم الأساسية المتعلقة بالزمرة والمجموعات المولدة لزمرة، والبداية مع التعريف الآتي:

#### تعريف. [3].

لتكن  $(G, +)$  زمرة ولنفرض أنّ  $S$  مجموعة جزئية غير خالية من  $G$ ، عندئذ نقول عن المجموعة  $S$  إنها مولدة للزمرة  $G$  إذا كانت أصغر زمرة جزئية من  $G$  تحوي  $S$  هي  $G$  نفسها. إذا كانت المجموعة  $S$  مولدة للزمرة  $G$  فإننا نعبر ذلك بالشكل  $\langle S \rangle = G$ .

#### تعريف. [3].

لتكن  $(G, +)$  زمرة، عندئذ نقول عن الزمرة  $G$  إنها منتهية التوليد إذا وجدت في  $G$  مجموعة جزئية غير خالية منتهية مولدة لها، وإلا فإن الزمرة  $G$  غير منتهية التوليد.

#### مبرهنة. 1.1. [3].

لتكن  $(G, +)$  زمرة ولنفرض أنّ  $S$  مجموعة جزئية غير خالية من  $G$ ، عندئذ فإنّ  $\langle S \rangle = G$  إذا وفقط إذا كان كل عنصر  $x \in G$  يكتب بدلالة عناصر مجموعة جزئية منتهية من عناصر المجموعة  $S$ .

#### تعريف. [3].

لتكن  $(G, +)$  زمرة، عندئذ نقول عن الزمرة  $G$  إنها دوارة إذا وجد عنصر  $a \in G$  يحقق أنّ  $\langle \{a\} \rangle = G$ ، ونقول في هذه الحالة إنّ  $G$  زمرة دوارة مولدة بالعنصر  $a$  ونكتب اختصاراً  $.G = \langle a \rangle$ .

#### مبرهنة. 1.2. [3].

لتكن  $(G, +)$  زمرة دوارة مرتبتها  $n$  ومولدة بالعنصر  $a$  ولنفرض أنّ  $k \in \mathbb{Z}^+$ ، عندئذ فإنّ  $\gcd(n, k) = 1$  إذا وفقط إذا كان  $G = \langle a^k \rangle$

### مبرهنة 1.3. [6]

لتكن  $G$  زمرة و  $a \in G$  عنصر مرتبته  $n$  ، ولنفرض أنّ  $k, r, s \in \mathbb{Z}^+$  عندئذ فإنَّ

القضايا الآتية صحيحة:

$$\cdot \langle a^k \rangle = \langle a^{\gcd(n,k)} \rangle - 1$$

$$\cdot o(a^k) = \frac{n}{\gcd(n,k)} - 2$$

$$\cdot \gcd(n,r) = \gcd(n,s) \quad \text{عندما فقط عندما } \langle a^r \rangle = \langle a^s \rangle - 3$$

### مبرهنة 1.4. [6,3]

لتكن  $\{G_i\}_{i=1}^n$  أسرة من الزمر الدوارة المنتهية، عندئذ فإنَّ الشرط الازم والكافي لتكون زمرة الجداء المباشر  $G_1 \times G_2 \times \dots \times G_n$  دوارة هو أن تكون  $(G_i : 1)$  و  $(G_j : 1)$  أعداداً أولية فيما بينها وذلك لأجل كل  $i \neq j$  حيث إنَّ  $1 \leq i, j \leq n$ .

### مبرهنة 1.5. [3]

لتكن  $(\square, +)$  زمرة الأعداد الصحيحة ولنفرض أنَّ  $n_1, n_2, \dots, n_k$  أعداداً صحيحة موجبة

$$\cdot \langle n_1, n_2, \dots, n_k \rangle = \langle d \rangle \quad \text{وأنَّ } \gcd(n_1, n_2, \dots, n_k) = d$$

### مبرهنة 1.6. [6,3]

لتكن  $G$  زمرة دوارة، ولنفرض أنَّ  $G = \langle a \rangle$ ، عندئذ القضايان الآتية صحيحتان:

-1 إذا كانت  $G$  غير منتهية فإنَّ  $G \cong \mathbf{Z}$ .

-2 إذا كانت  $G$  منتهية من المرتبة  $n$  فإنَّ  $G \cong \mathbb{Z}_n$ .

### مبرهنة 1.7. [6,4,3]

لتكن  $(G, +)$  زمرة تبديلية، ولنفرض أنَّ  $\zeta(G) = \{x \in G; o(x) \in \mathbb{Z}^+\}$  ، عندئذ فإنَّ المجموعة  $(G)$  تشكل زمرة جزئية من الزمرة  $G$ .

### تعريف. [6,4,3].

لتكن  $(G, +)$  زمرة تبديلية، عندئذ تدعى الزمرة الجزئية  $(G)$  بزمرة الفتل الجزئية من الزمرة  $G$ ، وإذا كانت  $= G$  عندئذ نقول إن  $G$  زمرة فتل، وإذا كان  $\langle e \rangle = \{e\}$  نقول عن الزمرة  $G$  أنها زمرة فتل حرة (عديمة الفتل).

### تعريف. [6,3].

لتكن  $(G, +)$  زمرة تبديلية، لنفرض أن  $X = \{x_i\}_{i=1}^n$  مجموعة جزئية من الزمرة  $G$  عناصرها مغایرة للصفر، عندئذ نقول عن المجموعة  $X$  إنها مستقلة إذا كان لأجل أي مجموعة جزئية  $\{\alpha_i\}_{i=1}^n \subset X$  وتحقق  $\sum_{i=1}^n \alpha_i x_i = 0$  ينتج أن  $\alpha_i x_i = 0$  لأجل كل  $1 \leq i \leq n$ . ونقول عن المجموعة  $X$  إنها مرتبطة إذا لم تكن مستقلة.

### تعريف. [6,3].

لتكن  $(G, +)$  زمرة تبديلية، لنفرض أن  $X$  مجموعة جزئية غير خالية من الزمرة  $G$  عناصرها مغایرة للصفر، عندئذ نقول عن المجموعة  $X$  إنها مستقلة إذا كانت كل مجموعة جزئية غير خالية ومتناهية منها مستقلة. ونقول عن المجموعة  $X$  إنها مرتبطة إذا لم تكن مستقلة.

### مبرهنة. 1.8. [3].

لتكن  $(G, +)$  زمرة تبديلية، لنفرض أن  $X$  مجموعة جزئية غير خالية من  $G$ ، عندئذ تكون المجموعة  $X$  مستقلة إذا وفقط إذا كانت  $\langle X \rangle = \sum_{x \in X} \langle x \rangle$ .

### تعريف. [3].

لتكن  $(G, +)$  زمرة تبديلية، لنفرض أن  $X$  مجموعة جزئية غير خالية ومتناهية من  $G$  عناصرها مغایرة للصفر، عندئذ نقول إن  $X$  أساساً للزمرة  $G$  إذا كان  $\langle X \rangle = G$  وكانت المجموعة  $X$  مستقلة.

### تعريف.[3].

لتكن  $(G, +)$  زمرة تبديلية، لنفرض أن  $X = \{x_i\}_{i=1}^n$  مجموعة جزئية من الزمرة  $G$  عندئذ نقول إن المجموعة  $X$  مستقلة خطياً إذا كان لأجل أي مجموعة جزئية  $\{\alpha_i\}_{i=1}^n \subset \square$  وتحقق  $\sum_{i=1}^n \alpha_i x_i = 0$  لأجل كل  $1 \leq i \leq n$ . ونقول عن المجموعة  $X$  إنها مرتبطة خطياً إذا لم تكن مستقلة خطياً.

### تعريف.[3].

لتكن  $(G, +)$  زمرة تبديلية، لنفرض أن  $X$  مجموعة جزئية غير خالية من  $G$ ، عندئذ نقول عن المجموعة  $X$  إنها مستقلة خطياً إذا كانت كل مجموعة جزئية غير خالية ومتلائمة منها مستقلة خطياً. ونقول عن المجموعة  $X$  إنها مرتبطة خطياً إذا لم تكن مستقلة خطياً.

### مبرهنة.1.9.

لتكن  $(G, +)$  زمرة تبديلية عديمة الفتل، ولنفرض أن  $X$  مجموعة جزئية غير خالية من عناصرها مغایرة للصفر، عندئذ تكون المجموعة  $X$  مستقلة إذا وفقط إذا كانت مستقلة خطياً.

البرهان. واضح.

### مبرهنة.1.10.

لتكن  $(G, +)$  زمرة تبديلية، لنفرض أن  $X$  مجموعة جزئية غير خالية من  $G$ ، عندئذ القضايا الآتية صحيحة:

- 1 إذا كان  $X \in 0$  فإن المجموعة  $X$  تكون مرتبطة خطياً.
- 2 إذا كانت  $X$  مستقلة خطياً فإنها تكون مستقلة.
- 3 تكون  $X$  مرتبطة إذا وفقط إذا هي مجموعة جزئية غير خالية ومتلائمة مرتبطة.
- 4 تكون  $X$  مرتبطة خطياً إذا وفقط إذا هي مجموعة جزئية غير خالية ومتلائمة مرتبطة خطياً.

## دراسة في المجموعات المولدة الصغرى لزمرة تبديلية

5- إذا كانت  $X$  مرتبطة فإنها تكون مرتبطة خطياً.

البرهان.

1- واضح.

2- لنفرض أن المجموعة  $X$  مستقلة خطياً عندئذ فإن عناصر المجموعة  $X$  مغایرة للصفر، من جهة أخرى أيًّا كانت العناصر  $\{\alpha_i\}_{i=1}^n \subset \mathbf{Z}, \{x_i\}_{i=1}^n \subset X$  والتي تحقق أن  $\sum_{i=1}^n \alpha_i x_i = 0$  فإن  $\alpha_i = 0$  لأجل كل  $1 \leq i \leq n$  وبالتالي فإن  $\alpha_i v_i = 0$  لأجل كل  $1 \leq i \leq n$  ، وهذا يبين أن المجموعة  $X$  مستقلة.

3- واضح.

5- لنفرض أن المجموعة  $X$  مرتبطة عندئذ توجد في  $X$  مجموعة جزئية منتهية ولكن  $\sum_{i=1}^n \alpha_i x_i = 0$  مرتقبة، وبالتالي توجد العناصر  $\{\alpha_i\}_{i=1}^n \subset \mathbf{Z}$  تتحقق أن  $\alpha_i v_i \neq 0$  ، وهذا يبين أن المجموعة عندئذ يوجد  $1 \leq i \leq n$  يتحقق أن  $\alpha_i v_i \neq 0$  وبالتالي فإن  $\alpha_i \neq 0$  ، وهذا يبين أن المجموعة  $\{x_i\}_{i=1}^n$  مرتقبة خطياً، وبالتالي فإن  $X$  مرتقبة خطياً.

نتيجة.

لتكن  $(G, +)$  زمرة تبديلية، لنفرض أن  $X$  مجموعة جزئية غير خالية ومتلخصة من  $G$  عناصرها مغایرة للصفر، عندئذ إذا كانت المجموعة  $X$  مستقلة فليس بالضرورة أن تكون مستقلة خطياً، وإذا كانت المجموعة  $X$  مرتقبة خطياً فليس بالضرورة أن تكون مرتقبة.

تعريف. [6,4,3]

لتكن  $(G, +)$  زمرة تبديلية، عندئذ نقول عن الزمرة  $G$  إنها حرة إذا وجد في  $G$  مجموعة جزئية غير خالية  $X$  مستقلة خطياً ومولدة لها، وندعو المجموعة  $X$  في هذه الحالة أساساً حرراً للزمرة  $G$ .

نتيجة.

لتكن  $(G,+)$  زمرة حرة، عندئذ إذا كان  $X$  أساساً حراً للزمرة  $G$  فهو أساس لها، لكن العكس غير صحيح بالضرورة.

**مبرهنة 1.11. [6,3]**

لتكن  $(G,+)$  زمرة تبديلية، ولنفرض أن  $X$  مجموعة جزئية غير خالية من  $G$ ، عندئذ تشكل المجموعة  $X$  أساساً حراً للزمرة  $G$  إذا وفقط إذا كان كل عنصر  $x \in G$  يكتب بدلالة عناصر مجموعة جزئية منتهية من عناصر المجموعة  $X$  وبطريقة وحيدة.

**مبرهنة 1.12. [6,3]**

لتكن  $(G,+)$  زمرة تبديلية، عندئذ تكون الزمرة  $G$  حرة إذا وفقط إذا كانت مجموعاً مباشراً لزمراً جزئية دوارة غير منتهية منها.

**مبرهنة 1.13. [6,3]**

لتكن  $(G,+)$  زمرة تبديلية حرة، ولنفرض أن  $X, Y$  أساسين حرين مختلفين لها، عندئذ فإن  $\text{card}(X) = \text{card}(Y)$ .

ملاحظة.

لتكن  $(G,+)$  زمرة تبديلية، ولنفرض أن  $X, Y$  أساسين مختلفين لها، عندئذ ليس بالضرورة أن يكون  $\text{card}(X) = \text{card}(Y)$ ، فضلاً عن ذلك إذا كان  $X$  أساساً للزمرة  $G$ ، عندئذ أياً كان  $x \in G$  فإن  $x$  يكتب بدلالة عناصر مجموعة جزئية منتهية من عناصر المجموعة  $X$  لكن ليس بالضرورة أن تكون هذه الكتابة وحيدة.

**مبرهنة 1.14.**

لتكن  $(G,+)$  زمرة تبديلية حرة، ولنفرض أن  $X$  أساساً حراً للزمرة  $G$ ، عندئذ أياً كان العنصرين  $x, y \in X$  فإن  $x \notin \langle y \rangle, y \notin \langle x \rangle$ .

البرهان. واضح.

## 2- المجموعة المولدة الصغرى لزمرة تبديلية.

نعرض في هذه الفقرة مفهوم المجموعة المولدة الصغرى لزمرة تبديلية وأهم المبرهنات المتعلقة بهذا المفهوم، فضلاً عن النتائج التي تم التوصل لها، والبداية مع التعريف الآتي:

### تعريف. [5,1]

لتكن  $(G, +)$  زمرة تبديلية، لنفرض أن  $X$  مجموعة جزئية غير خالية من  $G$ ، عندئذ نقول عن  $X$  إنها  $S$ -مستقلة إذا كان  $x \in X \setminus \{x\}$  وذلك أياً كان  $x \in X$ .

### مبرهنة. 2.1

لتكن  $(G, +)$  زمرة تبديلية، لنفرض أن  $X$  مجموعة جزئية غير خالية من  $G$ ، عندئذ فإن  $X$  تكون  $S$ -مستقلة إذا وفقط إذا كانت كل مجموعة جزئية غير خالية ومتהبة منها  $S$  مستقلة.

البرهان. واضح.

### مبرهنة. 2.2

لتكن  $(G, +)$  زمرة تبديلية، لنفرض أن  $X$  مجموعة جزئية غير خالية من  $G$ ، عندئذ تكون القضيةتان الآتيتان متكافئتين:

- 1- المجموعة  $X$  هي  $S$ -مستقلة.

- 2- أياً كانت  $\sum_{i=1}^n \alpha_i x_i = 0$  فإن  $\{\alpha_i\}_{i=1}^n \subset \mathbf{Z}$ ,  $\{x_i\}_{i=1}^n \subseteq X$  لأجل كل  $1 \leq i \leq n$ .

البرهان.

$\Leftarrow$  (2). لنفرض أن  $X$  هي  $S$ -مستقلة وأن  $\{\alpha_i\}_{i=1}^n \subset \mathbf{Z}$ , لتكن  $\sum_{i=1}^n \alpha_i x_i = 0$  ولنفرض جدلاً أنه يوجد دليل  $1 \leq j \leq n$  بحيث إن  $\alpha_j = \pm 1$  تتحقق أن  $\sum_{i=1}^n \alpha_i x_i = 0$

عندئذ نجد أن  $\langle X \setminus \{x_j\} \rangle$  وهذا ينافي كون المجموعة  $X$  هي  $S$ -مستقلة، ومنه الفرض الجدي خاطئ وبالتالي  $\alpha_i \neq \pm 1$  لأجل كل  $1 \leq i \leq n$ .

. (1)  $\Leftarrow$  (2)

لنفرض أن (2) محققة، ولنفرض جدلاً أن  $X$  ليست  $S$ -مستقلة وبالتالي يوجد عنصر  $x \in X$  بحيث إن  $\sum_{i=1}^n \alpha_i x_i = x$

$$\sum_{i=1}^n \alpha_i x_i + (-x) = \sum_{i=1}^n (-\alpha_i) x_i + x = 0$$

وهذا ينافي الفرض (2). ومنه الفرض الجدي خاطئ وبالتالي المجموعة  $X$  هي  $S$ -مستقلة.

### نتيجة.

لتكن  $(G, +)$  زمرة تبديلية، لنفرض أن  $X$  مجموعة جزئية غير خالية من  $G$ ، عندئذ فإن  $X$  تكون  $S$ -مستقلة إذا وفقط إذا تحقق الشرط:

أياً كان  $x \in X$  وكانت العناصر  $\{\alpha_i\}_{i=1}^n \subset \mathbf{Z}$ ،  $\{x_i\}_{i=1}^n \subseteq X$  التي تتحقق أن  $x \in \{x_i\}_{i=1}^n$  فإن  $\sum_{i=1}^n \alpha_i x_i = x$

### مبرهنة 2.3.

لتكن  $(G, +)$  زمرة تبديلية، لنفرض أن  $X$  مجموعة جزئية غير خالية من  $G$ ، عندئذ إذا كانت المجموعة  $X$  مستقلة فإنها تكون  $S$ -مستقلة.

### البرهان.

لنفرض أن المجموعة  $X$  مستقلة وبالتالي فإن جميع عناصرها مغایرة للصفر، لنفرض جدلاً أن المجموعة  $X$  ليست  $S$ -مستقلة وبالتالي يوجد  $x \in X$  بحيث إن  $\langle X \setminus \{x\} \rangle$  ومنه

---

يوجد  $\{\alpha_i\}_{i=1}^n \subset \mathbf{Z}$ ,  $\{x_i\}_{i=1}^n \subset X \setminus \{x\}$  وبالتالي  $\sum_{j=1}^n \alpha_j x_j = x$  بحيث إن  $\{\alpha_i\}_{i=1}^n \subset \mathbf{Z}$ ,  $\{x_i\}_{i=1}^n \subset X \setminus \{x\}$  وبالتالي  $\sum_{j=1}^n \alpha_j x_j = x$ , بما إن المجموعة  $X$  مستقلة فإن  $\alpha_j x_j = 0$  لكل  $1 \leq j \leq n$  و  $x = 0$  ومنه  $\sum_{j=1}^n \alpha_j x_j = 0$  وهذا تناقض. ومنه الفرض الجدلي خاطئ وبالتالي المجموعة  $X$  هي  $S$ -مستقلة.

### نتيجة.

- لتكن  $(G, +)$  زمرة تبديلية، لنفرض أن  $X$  مجموعة جزئية غير خالية من  $G$ ، عندئذ فإن:
- 1- إذا كانت المجموعة  $X$  مستقلة خطياً فإنها تكون  $S$ -مستقلة.
  - 2- إذا كانت المجموعة  $X$  هي  $S$ -مستقلة فليس بالضرورة أن تكون مستقلة.
  - 3- إذا كان  $0 \in X$  فإن المجموعة  $X$  ليست  $S$ -مستقلة.
  - 4- أيًا كان  $g \in G$  فإن المجموعة  $\{g\}$  هي  $S$ -مستقلة.

### تعريف. [3,2,1].

لتكن  $(G, +)$  زمرة تبديلية، لنفرض أن  $X$  مجموعة جزئية غير خالية من  $G$ ، عندئذ نقول إن  $X$  مجموعة مولدة صغرى للزمرة  $G$  إذا كانت  $S$ -مستقلة وكان  $G = \langle X \rangle$ .

### مبرهنة. 2.4.

لتكن  $(G, +)$  زمرة تبديلية (حرة)، لنفرض أن  $X$  أساساً (أساساً حراً) للزمرة  $G$ ، عندئذ فإن  $X$  مجموعة مولدة صغرى للزمرة  $G$ .

البرهان. ينتج مباشرة عن المبرهنة 2.3. والنتيجة الأخيرة.

### نتيجة.

لتكن  $(G, +)$  زمرة تبديلية (حرة)، لنفرض أن  $X$  مجموعة جزئية غير خالية من  $G$ ، عندئذ فإن:

- 1- إذا كانت  $X$  أساساً (أساساً حراً) للزمرة  $G$  فإنها تكون مولدة صغرى للزمرة  $G$ .

- إذا كانت  $X$  مجموعة مولدة صغرى للزمرة  $G$  فليس بالضرورة أن تكون أساساً (أساساً حراً) للزمرة  $G$ .

### مثال.1

إن  $(+, \square)$  زمرة حرة، وإن المجموعة  $\{1\}$  تشكل أساساً حراً لها وبالتالي فهي مجموعة مولدة صغرى، من جهة أخرى نلاحظ أن المجموعة  $\{6, 10, 15\}$  تشكل مجموعة مولدة صغرى ولا تشكل أساساً حراً لها، فضلاً عن ذلك نلاحظ أنه أيًّا كان  $x \in \square$  فإن:

$$\begin{aligned}x &= (x)(10 + (x)(15 + (-4x)) \\x &= (x)(10 + (-x)(15 + (x)(6)))\end{aligned}$$

### مثال.2

نعلم أنَّ الزمرة  $(U_{15}, \cdot)$  هي زمرة تبديلية غير دواره، إن  $\{7, 8\}$  مجموعة مولدة صغرى للزمرة  $U_{15}$  لكنها ليست أساساً لها، من جهة أخرى إن  $\{7, 11\}$  تشكل أساساً للزمرة وبالتالي هي مجموعة مولدة صغرى لها.

### نتيجة.

لتكن  $(G, +)$  زمرة تبديلية، لنفرض أن  $X$  مجموعة مولدة صغرى للزمرة  $G$ ، عندئذ أيًّا كان  $x \in G$  فإن  $x$  يكتب بدلالة عناصر مجموعة جزئية من عناصر المجموعة  $X$  لكن ليس بالضرورة أن تكون هذه الكتابة وحيدة.

### مبرهنة.2.5

لتكن  $(G, +)$  زمرة تبديلية، ولنفرض أن  $X$  مجموعة جزئية غير خالية من  $G$ ، عندئذ الشرط اللازم والكافي حتى تكون المجموعة  $X$  مجموعة مولدة صغرى للزمرة  $G$  هو أن تكون  $X$  مجموعة مولدة للزمرة  $G$  وأن لا تحوي مجموعة جزئية فعلية مولدة للزمرة  $G$ .

### البرهان.

$(\Leftarrow)$  لتكن  $X$  مجموعة جزئية غير خالية من  $G$ ، ولنفرض أن  $X$  مجموعة مولدة صغرى للزمرة  $G$ . لنفرض جدلاً أنه توجد مجموعة جزئية  $X_1 \subset X$  تحقق أن  $\langle X_1 \rangle = G$ ، عندئذ

يوجد عنصر  $x \in X$  بحيث إن  $x \notin X_1$ ، عندئذ  $\langle X_1 \rangle \subseteq \langle X \setminus \{x\} \rangle$ ، أي إن  $x \in \langle X \setminus \{x\} \rangle$  وهذا يبين أن المجموعة  $X$  ليست مولدة صغرى للزمرة  $G$ ، لأنها ليست  $S$ -مستقلة وهذا تناقض، وبالتالي الفرض الجدي خاطئ، أي إن  $X_1$  ليست مولدة للزمرة  $G$ ، وبالتالي المجموعة  $X$  لا تحوي أي مجموعة جزئية فعلية مولدة للزمرة  $G$ .

( $\Rightarrow$ ) لتكن  $X$  مجموعة جزئية غير خالية من  $G$ ، ولنفرض أن  $X$  مجموعة مولدة للزمرة  $G$  ولا تحوي أي مجموعة جزئية فعلية تولد الزمرة  $G$ ، وبالتالي أيًّا كان  $x \in X$  فإن  $x \notin \langle X \setminus \{x\} \rangle$  وبالتالي المجموعة  $X$  هي  $S$ -مستقلة، وبالتالي المجموعة  $X$  مولدة صغرى للزمرة  $G$ .

## مبرهنة 2.6.

لتكن  $(G, +)$  زمرة تبديليتين، ولنفرض أن  $f: G \rightarrow \bar{G}$ : تماثلاً زمراً، عندئذ إذا كانت  $X$  مجموعة مولدة صغرى للزمرة  $G$  فإن  $f(X)$  هي مجموعة مولدة صغرى للزمرة  $\bar{G}$ .

### البرهان.

ليكن  $f: G \rightarrow \bar{G}$ : تماثلاً زمراً من الزمرة  $G$  إلى الزمرة  $\bar{G}$  ولنفرض أن  $X$  مجموعة مولدة صغرى للزمرة  $G$ ، عندئذ بما أن  $\bar{G} = \langle f(X) \rangle$  فإن  $G = \langle X \rangle$

لنفرض جدلاً أن المجموعة  $f(X)$  ليست  $S$ -مستقلة عندئذ فإنه يوجد عنصر  $y \in \langle f(X) / \{y\} \rangle$  وبالتالي  $y \in f(X)$  توجد عناصر  $y_i \in \langle f(x_i) / \{y\} \rangle$  حيث إن  $\{y_i\}_{i=1}^n \subset \mathbf{Z}$ ,  $\{y_i\}_{i=1}^n \subseteq f(X) / \{y\}$  كما أنه يوجد  $y = \prod_{i=1}^n (y_i)^{\alpha_i}$  ،  $\alpha_i \in \mathbf{Z}$ ، وذلك لأجل كل  $1 \leq i \leq n$  وأن  $\{x_i\}_{i=1}^n \subseteq X$ ,  $x_i \in X$  تتحقق أن  $y_i = f(x_i)$  وبالتالي  $y = f(x)$

$$y = f(x) = \prod_{i=1}^n (y_i)^{\alpha_i} = \prod_{i=1}^n (f(x_i))^{\alpha_i} = f \left( \sum_{i=1}^n \alpha_i x_i \right)$$

وهذا يكافيء أنَّ :

$$f\left(-x + \sum_{i=1}^n \alpha_i x_i\right) = 0$$

وبما أنَّ  $f$  تماثلاً زمرياً فإنَّ  $x = \sum_{i=1}^n \alpha_i x_i$  وبما أنَّ  $X$  هي  $S$ -مستقلة فإنَّ  $x \in \{x_i\}_{i=1}^n$  وبالتالي فإنَّ  $y \in \{y_i\}_{i=1}^n$  وهذا تناقض وبالتالي فإنَّ الفرض الجلدي خاطئ والمجموعة  $(X)$  هي  $f$ -مستقلة، أي إنَّ  $(X)$  مجموعة مولدة صغرى للزمرة  $\overline{G}$ .

## مبرهنة 2.7.

لتكن  $(\cdot, +)$  زمرة تبديلتين، ولنفرض أنَّ  $X$  مجموعة مولدة صغرى للزمرة  $G$  وأنَّ  $Y$  مجموعة مولدة صغرى للزمرة  $\overline{G}$ ، عندئذ فإنَّ المجموعة  $Z = (X \times \{0\}) \cup (\{0\} \times Y)$

. البرهان.

واضح أنَّ المجموعة  $Z$  مولدة للزمرة  $G \times \overline{G}$ . ليكن  $(x, y) \in Z$  حيث إنَّ  $x \in X, y \in Y$  عندئذ طالما أنَّ  $X, Y$  مجموعات  $S$ -مستقلة فإنَّ  $x \notin \langle X \setminus \{x\} \rangle, y \notin \langle Y \setminus \{y\} \rangle$

$$(x, 0) \notin \langle (X \times \{0\}) \setminus \{(x, 0)\}, (0, y) \notin \langle (\{0\} \times Y) \setminus \{(0, y)\} \rangle$$

ومنه فإنَّ  $(x, y) \notin \langle Z \setminus \{(x, y)\} \rangle$  وبالتالي  $Z$  هي مجموعة  $S$ -مستقلة.

### 3- المجموعات المولدة الصغرى لبعض الزمر التبديلية الشهيرة.

في هذه الفقرة سنقوم بدراسة وجود المجموعات المولدة الصغرى لزمرة الأعداد الصحيحة بالمقاس  $n$  ضمن عدة حالات، فضلاً عن دراسة وجود مجموعات مولدة صغرى للزمر التبديلية الحرة بحيث لا تشكل أساساً حراً لها، بالإضافة لعدد من البرهنات والنتائج الهامة، والبداية مع البرهنة الآتية:

#### برهنة 3.1.

ليكن  $p$  عدداً أولياً و  $n$  عدداً صحيحاً موجباً، ولنفرض أنّ  $(+)$  زمرة الأعداد الصحيحة بالمقاس  $p^n$  ، ولنفرض أنّ  $X$  مجموعة مولدة صغرى لزمرة  $Z_{p^n}$  عندئذ فإنّ  $Card(X) = 1$

. البرهان.

ليكن  $x \in Z_{p^n}$  عنصراً مغایراً للصفر وأولي مع  $p$  ، عندئذ فإنّ  $\langle \{x\} \rangle$  ، فضلاً عن ذلك المجموعة  $\{x\}$  هي  $S$ -مستقلة وبالتالي فإنّ  $\{x\}$  مجموعة مولدة صغرى لزمرة  $Z_{p^n}$  .  
لفرض جدلاً أنّ  $X$  مجموعة مولدة صغرى لزمرة  $Z_{p^n}$  وأنّ  $Card(X) > 1$  عندئذ فإنّ  
 $0 \notin X$  ، ونميز حالتين:

الحالة الأولى: إذا كان أحد عناصر المجموعة  $X$  أولي مع  $p$  ولتكن  $x_0$  عندئذ فإنّ  $\{x_0\}$  مجموعة مولدة صغرى لزمرة  $Z_{p^n}$  وهذا ينافي كون المجموعة  $X$  مولدة صغرى لزمرة  $Z_{p^n}$

الحالة الثانية: كل عناصر المجموعة  $X$  ليس أولية مع  $p$  ولنفرض أنّ  $d$  هو القاسم المشترك الأكبر لعناصر المجموعة  $X$  ، وبالتالي فإنّ  $\langle d \rangle = Z_{p^n} = \langle X \rangle$  ، من جهة أخرى إنّ  $p$  يقسم  $d$  وبالتالي  $\langle d \rangle = \langle X \rangle$  ، وهذا يتناقض مع كون المجموعة  $X$  مجموعة مولدة صغرى لزمرة  $Z_{p^n}$  للزمرة  $Z_{p^n}$ .

ما سبق نجد أنّه إذا كانت  $X$  مجموعة مولدة صغرى للزمرة  $Z_p$  فإنّ  $\text{Card}(X) = 1$ .

نتيجة.

ليكن  $p$  عدداً أولياً و  $n$  عدداً صحيحاً موجباً، ولنفرض أنّ  $(+, Z_{p^n})$  زمرة الأعداد الصحيحة بالمقاس  $p^n$ ، عندئذ تكون المجموعة  $\{a\}$  مولدة صغرى للزمرة  $Z_{p^n}$  إذا وفقط إذا كان  $a \in Z_{p^n}$ .  
أولاً مع  $p$ .

### مبرهنة 3.2.

ليكن  $p, q$  عددان أوليان و  $n, m$  عددان صحيحان موجبان، ولنفرض أنّ  $(+, Z_{p^n q^m})$  زمرة الأعداد الصحيحة بالمقاس  $p^n q^m$ ، ولنفرض أنّ  $X$  مجموعة مولدة صغرى للزمرة  $Z_{p^n q^m}$  عندئذ

القضايا الآتية صحيحة:

$$\text{Card}(X) \leq 2 - 1.$$

- 1- لتكن  $a, b \in Z_{p^n q^m}$ ، عندئذ تكون المجموعة  $\{a, b\}$  مولدة صغرى للزمرة  $Z_{p^n q^m}$  إذا وفقط إذا كان  $a, b$  ليسا أوليان مع  $p, q$  و  $d = \gcd(a, b)$  أولي .
- 2- لتكن  $a, b \in Z_{p^n q^m}$ ، ولنفرض أنّ  $o(a) = p^n, o(b) = q^m$  عندئذ تكون المجموعة  $\{a, b\}$  مولدة صغرى للزمرة  $Z_{p^n q^m}$ .
- 3-

البرهان.

-1- ليكن  $x \in Z_{p^n q^m}$  عنصراً أولياً مع  $p, q$ ، عندئذ فإنّ  $\langle \{x\} \rangle$ ، فضلاً عن ذلك المجموعة  $\{x\}$  هي  $S$ -مستقلة وبالتالي فإنّ  $\{x\}$  مجموعة مولدة صغرى للزمرة  $Z_{p^n q^m}$ .  
نعلم أنّ  $Z_{p^n} \times Z_{q^m} \cong Z_{p^n} \times Z_{q^m}$  وبالتالي يوجد  $f: Z_{p^n} \times Z_{q^m} \rightarrow Z_{p^n q^m}$  تمثلاً زمرياً من الزمرة  $Z_{p^n} \times Z_{q^m}$  إلى الزمرة  $Z_{p^n q^m}$ ، ولنفرض أنّ  $X, Y$  مجموعات مولدة صغرى للزمرة  $Z_{p^n}, Z_{q^m}$  على الترتيب، عندئذ  $\text{Card}(X) = \text{Card}(Y) = 1$  وذلك حسب المبرهنة 3.1،  
كما أنّ  $Z = (X \times \{0\}) \cup (\{0\} \times Y)$  مولدة صغرى للزمرة  $Z_{p^n q^m}$  وذلك حسب المبرهنة

### دراسة في المجموعات المولدة الصغرى لزمرة تبديلية

2.6، ونلاحظ أن  $\text{Card}(Z) = 2$ ، ومنه حسب المبرهنة 2.5 فإن المجموعة  $(Z)$  مولدة صغرى للزمرة  $Z_{p^n q^m}$ ، وإن  $\text{Card}(f(Z)) = 2$ .

لنفرض جدلاً أن الزمرة  $Z_{p^n q^m}$  تملك مجموعة مولدة صغرى  $X_1$  تحقق أن وبالنالي فإن الزمرة  $\text{Card}(X_1) > 2$  تملك مجموعة مولدة صغرى  $Z_1$  تتحقق أن  $X_1$  وذلك لأن  $\text{Card}(Z_1) > 2$  وهذا غير ممكن وبالنالي إذا كانت مجموعة مولدة صغرى للزمرة  $Z_{p^n q^m}$  فإن  $2 \leq \text{Card}(X_1)$ .

-2 (لفرض أن المجموعة  $\{a, b\}$  مولدة صغرى للزمرة  $Z_{p^n q^m}$ ، عندئذ تكون المجموعة مولدة للزمرة  $Z_{p^n q^m}$  وبالنالي فإن  $d = \gcd(a, b)$  أولي مع  $pq$ ، لنفرض جدلاً أن واحد على الأقل من  $a, b$  أولي مع  $pq$  وليكن  $a$  عندئذ  $\langle a \rangle = Z_{p^n q^m} \subseteq \langle b \rangle = Z_{p^n q^m}$  وبالنالي المجموعة  $\{a, b\}$  ليست  $S$ -مستقلة، وبالنالي  $a, b$  أوليان مع  $pq$ .  
 (ل يكن  $a, b$  ولنفرض أن  $a, b \in Z_{p^n q^m}$  ليسا أوليان مع  $pq$  و  $d = \gcd(a, b)$  أولي  
 ، عندئذ  $\langle \{a, b\} \rangle = \langle d \rangle = \langle pq \rangle$  ولنفرض أن  $a \in \langle \{b\} \rangle$  ومنه فإن:

$$\langle \{a\} \rangle \subseteq \langle \{b\} \rangle = \langle \{a, b\} \rangle = Z_{p^n q^m}$$

وهذا يعني أن  $b$  أولي مع  $pq$  وهذا تناقض، ومنه فإن المجموعة  $\{a, b\}$  هي  $S$ -مستقلة، وهذا يبين أن المجموعة  $\{a, b\}$  مولدة صغرى للزمرة  $Z_{p^n q^m}$ .

-3 لنفرض أن  $\langle \{a, b\} \rangle : 1$  (قبل القسمة على كل من  $p^n, q^m$ ). بما أن  $\langle \{a, b\} \rangle : o(a) = p^n, o(b) = q^m$  . من جهة أخرى بما أن  $\gcd(o(a), o(b)) = 1$   $\langle \{a, b\} \rangle = \langle p^n, q^m \rangle$   
 $\langle \{a, b\} \rangle = \langle \{a\} \times \{b\} \rangle$  ومنه فإن المجموعة  $\{a, b\}$  مستقلة، وهذا يبين أن  $\langle \{a, b\} \rangle = \{0\}$   
 حسب المبرهنة 2.3.2، فإن المجموعة  $\{a, b\}$  هي  $S$ -مستقلة، مما سبق نجد أن المجموعة  $\{a, b\}$  مولدة صغرى للزمرة  $Z_{p^n q^m}$ .

### 3.3. مبرهنة.

لتكن  $p, q, r$  أعداداً أولية مختلفة و  $n, m, t$  أعداداً صحيحة موجبة، ولنفرض أنَّ  $(Z_{p^n q^m r^t}, +)$  زمرة الأعداد الصحيحة بالمقاييس  $p^n q^m r^t$ ، ولنفرض أنَّ  $X$  مجموعة مولدة صغري للزمرة  $Z_{p^n q^m r^t}$  عندئذ القضايا الآتية صحيحة:

$$Card(X) \leq 3 - 1$$

-1 ليكن  $a, b \in Z_{p^n q^m r^t}$ ، عندئذ تكون المجموعة  $\{a, b\}$  مولدة صغري للزمرة إذا وفقط إذا كان  $a, b$  ليسا أوليان مع  $d = \gcd(a, b)$  و  $pqr$  أولي

-2 ليكن  $a, b, c \in Z_{p^n q^m r^t}$ ، عندئذ إذا كان  $o(a) = p^n, o(b) = q^m, o(c) = r^t$  فإن المجموعة  $X = \{a, b, c\}$  مولدة صغري للزمرة

### البرهان.

-1 نعلم أنَّ  $f: Z_{p^n q^m} \times Z_{r^t} \rightarrow Z_{p^n q^m r^t}$  وبالتالي يوجد  $Z_{p^n q^m r^t} \cong Z_{p^n q^m} \times Z_{r^t}$  تماثلاً زمرياً من الزمرة  $Z_{p^n q^m r^t}$  إلى الزمرة  $Z_{p^n q^m} \times Z_{r^t}$ ، ولنفرض أنَّ  $X, Y$  مجموعات مولدة صغري للزمرة  $Z_{p^n q^m}, Z_{r^t}$  على الترتيب، عندئذ  $Card(Y) = 1$  وذلك حسب المبرهنة 3.1، و

$Card(X) \leq 2$  وذلك حسب المبرهنة 3.2، وبالتالي فإنَّ  $Card(X_1) \leq 3$ .

-2 لنفرض أنَّ المجموعة  $\{a, b\}$  مولدة صغري للزمرة  $Z_{p^n q^m r^t}$ ، عندئذ تكون المجموعة  $\{a, b\}$  مولدة للزمرة  $Z_{p^n q^m r^t}$  وبالتالي فإنَّ  $d = \gcd(a, b)$  أولي  $pqr$ ، لنفرض جدلاً أنَّ واحد على الأقل من  $a, b$  أولي مع  $pqr$  ولتكن  $a$  عندئذ  $\langle b \rangle \subseteq \langle a \rangle = Z_{p^n q^m r^t}$  وبالتالي  $a, b$  ليسا مستقلة، وبالتالي  $a, b$  أوليان مع  $pqr$ .

$d = \gcd(a, b)$  ولنفرض أنَّ  $a, b \in Z_{p^n q^m r^t}$  ليسا أوليان مع  $pqr$  و  $\langle a, b \rangle = \langle d \rangle = \langle \{a, b\} \rangle$  ليس أولي  $pqr$ ، عندئذ  $\langle a, b \rangle = \langle \{a, b\} \rangle$  ليس مستقلة ولنفرض أنَّ  $a \in \langle \{b\} \rangle$  ومنه فإنَّ  $S$ :

$$\langle \{a\} \rangle \subseteq \langle \{b\} \rangle = \langle \{a, b\} \rangle = Z_{p^n q^m r^t}$$

وهذا يعني أنّ  $b$  أولي مع  $pqr$  وهذا تناقض، ومنه فإنّ المجموعة  $\{a, b\}$  هي  $S$ -مستقلة، وبالتالي تكون المجموعة  $\{a, b\}$  مجموعة مولدة صغرى لزمرة  $Z_{p^n q^m r^t}$

3- لنفرض أنّ  $\langle \{a, b, c\} \rangle : 1$  . بما أنّ  $(o(a) = p^n, o(b) = q^m, o(c) = r^t)$  يقبل القسمة على كل من  $p^n, q^m, r^t$  فإنّ  $Z_{p^n q^m r^t} = \langle \{a, b, c\} \rangle$  . من جهة أخرى بما أنّ  $\langle \{a\} \rangle \cap \langle \{b\} \rangle \cap \langle \{c\} \rangle = \{0\}$  ، وهذا يبين أنّ  $\gcd(o(a), o(b), o(c)) = 1$  .  $Z_{p^n q^m r^t} = \langle \{a\} \rangle \times \langle \{b\} \rangle \times \langle \{c\} \rangle$  مولدة صغرى لزمرة  $Z_{p^n q^m r^t}$  ومنه فإنّ المجموعة  $\{a, b, c\}$  هي  $S$ -مستقلة، مما سبق نجد أنّ المجموعة  $\{a, b, c\}$  المبرهنة.

### مبرهنة 3.4.

لتكن  $(Z_n, +)$  زمرة الأعداد الصحيحة بالمقاس  $n$  حيث إنّ  $n$  يقبل القسمة على عددين أوليين مختلفين على الأقل، ولنفرض أنّ  $X$  مجموعة جزئية من الزمرة  $Z_n$ . عندئذ القضايا الآتية صحيحة:

-1 إذا كانت  $X = \{x_1, x_2\}$  عندئذ تكون المجموعة  $X$  مولدة صغرى إذا وفقط إذا كان  $\gcd(x_1, x_2) = d$  أولي مع  $n$  و  $x_1, x_2$  ليست أولية مع  $n$ .

-2 إذا كانت  $X = \{x_1, x_2, \dots, x_m\}$  حيث إنّ  $m > 2$ ، ولنفرض أنّ  $x_i \in X$  حيث إنّ  $1 \leq i \leq n$ ، وأنّ  $\gcd(x_1, \dots, x_{i-1}, x_{i+1}, \dots, x_m) = d_i$ ، عندئذ تكون المجموعة  $X$  مولدة صغرى إذا وفقط إذا كان  $\gcd(x_1, x_2, \dots, x_m) = d$  أولي مع  $n$  و  $x_1, x_2, \dots, x_m$  ليست أولية مع  $n$  وكان  $d_i$  لا يقسم  $x_i$  لكل  $1 \leq i \leq n$ .

البرهان.

-1 ( $\Leftarrow$ ) لنفرض أن المجموعة  $X$  مولدة صغرى لزمرة  $Z_n$ ، عندئذ تكون المجموعة  $\{x_1, x_2\}$  مولدة لزمرة  $Z_n$  وبالتالي فإن  $\gcd(x_1, x_2) = d$  أولي  $n$ ، لنفرض جدلاً أنّ واحد على الأقل

من  $x_1, x_2$  أولي مع  $n$  ولتكن  $x_1$  عندئذ  $\langle x_1 \rangle = Z_n$  وبالتالي المجموعة  $\{a, b\}$  ليست  $S$ -مستقلة، وبالتالي  $x_1, x_2$  أوليان مع  $n$ .

( $\Rightarrow$ ) لتكن  $x_1, x_2 \in Z_n$  ولنفرض أن  $x_1, x_2$  ليسا أوليان مع  $n$  و  $d = \gcd(x_1, x_2)$  أولي مع  $n$ ، عندئذ  $Z_n = \langle d \rangle$ ، لنفرض جدلاً أن المجموعة  $\{x_1, x_2\}$  ليست  $S$ -مستقلة ولنفرض أن  $\langle \{x_1\} \rangle \subseteq \langle \{x_2\} \rangle = Z_n = \langle \{x_1, x_2\} \rangle$  وهذا يعني أن  $x_2$  أولي مع  $n$  وهذا تناقض، ومنه فإن  $x_1, x_2$  هي  $S$ -مستقلة، وبالتالي تكون المجموعة  $\{x_1, x_2\}$  مولدة صغرى للزمرة  $Z_n$ .

-2 ( $\Leftarrow$ ) لنفرض أن المجموعة  $X$  مولدة صغرى للزمرة  $Z_n$ ، ولنفرض جدلاً أن  $d$  ليس أولي مع  $n$  و بما أن  $\langle d \rangle = \langle X \rangle$  وهذا غير ممكن ومنه  $d$  أولي مع  $n$ ، من جهة أخرى إذا كان أحد عناصر المجموعة  $X$  ولتكن  $x_i$  أولياً مع  $n$  فإن  $Z_n = \langle x_i \rangle$  وهذا ينافي كون المجموعة  $X$  هي  $S$ -مستقلة.

لنفرض جدلاً أن  $d_i$  يقسم  $x_i$  ومنه  $x_i \in \langle d_i \rangle$  وبالتالي  $x_i \in \langle X / \{x_i\} \rangle$  وهذا ينافي كون المجموعة  $X$  هي  $S$ -مستقلة و  $d_i$  لا يقسم  $x_i$  لكل  $1 \leq i \leq n$ .

( $\Rightarrow$ ) بما أن  $d$  أولي مع  $n$ ، فإن  $\langle X \rangle = \langle d \rangle = Z_n$ ، من جهة أخرى بما أن كل عناصر المجموعة  $X$  ليست أولية مع  $n$  فإن  $X$  لا تحوي عنصراً مولداً للزمرة  $Z_n$ ، لنفرض جدلاً أن المجموعة  $X$  ليست  $S$ -مستقلة أي إنه يوجد  $x_i \in X$  بحيث إن  $x_i \in \langle X / \{x_i\} \rangle$  ومنه فإن  $x_i \in \langle d_i \rangle$ ، عندئذ يوجد  $\alpha \in \mathbf{Z}$  بحيث  $x_i = \alpha d_i$  وهذا ينافي كون  $d_i$  لا يقسم  $x_i$ ، وبالتالي الفرض الجلدي خاطئ، أي إن المجموعة  $X$  هي  $S$ -مستقلة وبالتالي المجموعة  $X$  مولدة صغرى للزمرة  $Z_n$ .

من المبرهنات السابقة، نلاحظ أن المجموعات المولدة الصغرى للزمرة  $Z_n$  في حالة كان  $n \geq 2$  ليست متساوية القدرة، في المبرهنة الآتية نبين أكبر قدرة ممكنة لمجموعة مولدة الصغرى للزمرة  $Z_n$  حيث  $n \geq 2$

### مبرهنة 3.5.

لتكن الزمرة  $(Z_n, +)$  زمرة الأعداد الصحيحة بالمقاس  $n$  و  $X$  مجموعة جزئية من الزمرة  $Z_n$ . ولنفرض أن  $n = p_1^{\alpha_1} p_2^{\alpha_2} \dots p_t^{\alpha_t}$  حيث إن  $p_1, p_2, \dots, p_t$  أعداد أولية مختلفة و  $\alpha_1, \alpha_2, \dots, \alpha_t$  أعداد صحيحة موجبة تماماً، عدئذ إذا كانت المجموعة  $X$  مولدة صغرى لزمرة  $Z_n$  فإن  $card(X) \leq t$ .

البرهان.

لنفرض أن المجموعة  $X$  مولدة صغرى لزمرة  $Z_n$  وإن  $n = p_1^{\alpha_1} p_2^{\alpha_2} \dots p_t^{\alpha_t}$  حيث إن  $p_1, p_2, \dots, p_t$  أعداد أولية مختلفة و  $\alpha_1, \alpha_2, \dots, \alpha_t$  أعداد صحيحة موجبة تماماً، سنورد البرهان بالاستقراء حسب  $t$ :

حسب المبرهنات 3.1، 3.2، 3.3 نجد أن المبرهنة صحيحة لأجل  $t \in \{1, 2, 3\}$ .

- لنفرض أن المبرهنة صحيحة لأجل  $t - 1$ ، أي لنفرض أنه لأجل  $t - 1$  فإذا كانت المجموعة  $X$  مولدة صغرى لزمرة  $Z_n$  فإن:

$$card(X) \leq t - 1$$

- لأجل  $t$ ، نعلم أن:

$$Z_n \cong Z_{p_1^{\alpha_1} \dots p_{t-1}^{\alpha_{t-1}}} \times Z_{p_t^{\alpha_t}}$$

وبالتالي يوجد:

$$f : Z_{p_1^{\alpha_1} \dots p_{t-1}^{\alpha_{t-1}}} \times Z_{p_t^{\alpha_t}} \rightarrow Z_n$$

تماثلاً زمراياً من الزمرة  $Z_n$  إلى الزمرة  $Z_{p_1^{\alpha_1} \dots p_{t-1}^{\alpha_{t-1}}} \times Z_{p_t^{\alpha_t}}$ ، ولنفرض أن  $X_1, Y$  مجموعات مولدة صغرى لزمرة  $Z_{p_1^{\alpha_1} \dots p_{t-1}^{\alpha_{t-1}}}$  على الترتيب، عدئذ  $Card(Y) = 1$  وذلك حسب المبرهنة 3.1، و ذلك حسب الفرض الاستقرائي، وبالتالي فإن  $Card(X_1) \leq t - 1$ ، وذلك حسب  $Card(X) \leq t$ .

مثال 3.

لتكن  $(Z_{16}, +)$  زمرة الأعداد الصحيحة بالمقاس  $2^4 = 16$  ، وبالتالي أي مجموعة مولدة صغرى للزمرة  $Z_{16}$  تكون مؤلفة فقط من عنصر واحد.

#### .مثال .4

لتكن  $(Z_{210}, +)$  زمرة الأعداد الصحيحة بالمقاس  $2 \times 3 \times 5 \times 7 = 210$  ، وبالتالي أي مجموعة مولدة صغرى للزمرة  $Z_{210}$  تكون مؤلفة فقط من أربع عناصر على الأكثر ، فعلى سبيل المثال ، كل مجموعة من المجموعات الآتية:

$$X = \{70, 42, 30, 105\} \quad Y = \{10, 21, 35\}$$

$$Z_1 = \{105, 2\} \quad Z_2 = \{22, 33\} \quad E = \{13\}$$

تكون مجموعة مولدة صغرى للزمرة  $(Z_{210}, +)$  ، ونلاحظ أنه لأجل المجموعة  $X$  أنَّ:

$$o(70) = 3, o(42) = 5, o(30) = 7, o(105) = 2$$

أما المجموعة  $\{35, 21, 15, 45\}$  فهي مولدة لكنها ليست مولدة صغرى لأنَّ  $gcd(21, 15, 35) = 1$

#### .مثال .5

لتكن  $(Z_{60}, +)$  زمرة الأعداد الصحيحة بالمقاس  $2^2 \times 3 \times 5 = 60$  . إنَّ كل مجموعة من المجموعات:

$$Z = \{35, 21\} , Y = \{12, 5\} , X = \{15, 20, 12\}$$

هي مجموعة مولدة صغرى للزمرة  $Z_{60}$  ، ونلاحظ أنه لأجل المجموعة  $X$  أنَّ:

$$o(15) = 4, o(20) = 3, o(12) = 5$$

### مبرهنة 3.6.

لتكن  $G$  زمرة دوارة منتهية مرتبتها  $n \geq 2$  مولدة بالعنصر  $a \in G$ ، ولنفرض أنَّ:

$$X = \{x_1, x_2, \dots, x_m\}$$

مجموعة مولدة صغرى للزمرة  $Z_n$ ، عندئذ فإنَّ المجموعة  $\{a^{x_1}, a^{x_2}, \dots, a^{x_m}\}$  مولدة صغرى للزمرة  $G$ .

البرهان.

بما أنَّ  $(Z_n : 1) = (G : 1)$  فإنه يوجد  $f : Z_n \rightarrow G$  تماثلاً زمراً من الزمرة  $Z_n$  إلى الزمرة  $G$ ، معرفاً بالشكل  $f(r) = a^r$  وذلك لكل  $r \in Z_n$ ، ولنفرض أنَّ  $f(\langle X \rangle) = \langle f(X) \rangle$  مجموعة مولدة صغرى للزمرة  $Z_n$ ، وبما أنَّ  $X = \{x_1, x_2, \dots, x_m\}$  يكون  $f(\langle X \rangle) = \langle f(x_1), f(x_2), \dots, f(x_m) \rangle = \langle a^{x_1}, a^{x_2}, \dots, a^{x_m} \rangle$ ، ولما كانت المجموعة  $X$  مجموعة مولدة صغرى للزمرة  $Z_n$  فإنَّ المجموعة  $\{a^{x_1}, a^{x_2}, \dots, a^{x_m}\}$  مولدة صغرى للزمرة  $G$  وذلك حسب المبرهنة 2.5.

### مبرهنة 3.7.

لتكن  $(+, \square)$  زمرة الأعداد الصحيحة، ولتكن  $X = \{x_1, x_2, \dots, x_m\}$  مجموعة من الأعداد الصحيحة الموجبة تماماً، ولنفرض أنَّ  $\gcd(x_1, x_2, \dots, x_m) = 1$  وأنَّ  $\gcd(x_1, x_2, \dots, x_{i-1}, x_{i+1}, \dots, x_m) = d_i \neq 1$ ،  $1 \leq i \leq m$  حيث إنَّ  $x_i \in X$  لأجل  $\gcd(x_1, x_2, \dots, x_{i-1}, x_{i+1}, \dots, x_m) = d_i \neq 1$  حيث إنَّ  $x_i \in \langle x_1, x_2, \dots, x_{i-1}, x_{i+1}, \dots, x_m \rangle$ .  $\square, +$  تكون المجموعة  $X = \{x_1, x_2, \dots, x_m\}$  مولدة صغرى للزمرة  $(+, \square)$ .

البرهان.

بما أنَّ  $\gcd(x_1, x_2, \dots, x_m) = 1$   $\mathbf{Z} = \langle X \rangle$ ، ولنفرض جدلاً أنَّ المجموعة  $X$  ليست  $S$ -مستقلة عندئذ يوجد  $x_i \in X$  يتحقق أنَّ  $x_i \in \langle X / \{x_i\} \rangle$  حيث إنَّ  $x_i \in \langle d_i \rangle$ ،  $x_i \in \langle d_i \rangle$  حيث  $\alpha \in \mathbf{Z}$  يوجد  $\alpha \in \langle d_i \rangle$  بحيث  $x_i = \alpha d_i$ ، ومنه فإنَّ  $\alpha d_i \in \langle d_i \rangle$ ،  $\alpha d_i \in \langle d_i \rangle$  حيث  $\alpha \in \mathbf{Z}$ ، وبالتالي  $\gcd(x_1, x_2, \dots, x_m) = d_i \neq 1$  هذا ينافق كون  $\gcd(x_1, x_2, \dots, x_m) = 1$  وبالتالي الفرض الجدي خاطئ أي

إن  $X$  هي مجموعة  $S$ -مستقلة، مما سبق نجد أن المجموعة  $X$  مجموعة مولدة صغرى للزمرة  $Z$ .

### مبرهنة 3.7.

لتكن  $G$  زمرة تبديلية حرة على المجموعة  $X$  ولتكن  $p, q$  عددين أوليين مختلفين. عندئذ فإن  $Z = pX \cup qX$  مجموعة مولدة صغرى للزمرة  $G$ .

البرهان.

بما أن  $p, q$  عددين أوليين مختلفين فإنه يوجد عددين  $\alpha, \beta \in \mathbb{Q}$  بحيث إن  $\alpha p + \beta q = 1$  ، وبالتالي أيًّا كان  $x \in X$  فإن  $x = \alpha(px) + \beta(qx)$  ، ومنه نجد أنَّ المجموعة  $Z$  مولدة للزمرة  $G$ .

أيًّا كان  $x_1, x_2 \in X$  فإن  $px_1 \neq qx_2$  وذلك لأنَّ المجموعة  $X$  مستقلة خطياً، لنفرض جدلاً أنَّ المجموعة  $Z$  ليست  $S$ -مستقلة عندئذ فإنه يوجد عنصر  $z \in Z$  يحقق أنَّ  $z \in \langle Z / \{z\} \rangle$  وبالتالي توجدمجموعات جزئية منتهية من العناصر:

$$\{\alpha_i\}_{i \in I} \subset \mathbb{Q}, \{z_i\}_{i \in I} \subseteq Z$$

$$\text{حيث إن } z = \sum_{i \in I} \alpha_i z_i \text{ و } z \notin \{z_i\}_{i \in I}, \text{ كما أنه يوجد } x \in X \text{ بحيث إن: } z = \lambda x, z_i = \beta_i x_i; \forall i \in I$$

$$\text{وإن } z \in \langle Z / \{z\} \rangle, \text{ بما أن } \lambda, \beta_i \in \{p, q\}; \forall i \in I, \text{ وبالتالي:}$$

$$-\lambda x + \sum_{i \in I} (\alpha_i \beta_i) x_i = 0$$

وبما أنَّ  $X$  مستقلة خطياً، فإن  $\lambda = 0, \alpha_i \beta_i = 0; \forall i \in I$  وهذا يكافي أن  $p = 0$  أو  $q = 0$  وهذا غير ممكن، وبالتالي فإنَّ الفرض الجدي خاطئ أي إن  $z \notin \langle Z / \{z\} \rangle$  والمجموعة  $Z$  هي  $S$ -مستقلة. ومما سبق نجد أنَّ المجموعة  $Z$  مجموعة مولدة صغرى للزمرة  $G$ .

.مثال 6.

لأجل الزمرة  $(+, \square)$  نعلم أنَّ المجموعة  $\{2\}$  تشكل أساساً حراً لها، لأجل العددين 2,3 فإنَّ  $\{4, 6\}$  هي مجموعة مولدة صغرى.

.مبرهنة 3.8

لتكن  $(G, +)$  زمرة تبديلية حرة على المجموعة  $X$ . ولتكن  $p_1, p_2, \dots, p_k$  أعداد أولية فيما بينها مثنى مثنى. ولنفرض أنَّ  $n = \prod_{i=1}^k p_i$  فإنَّ المجموعة:

$$M = \bigcup_{i=1}^k \left\{ \frac{n}{p_i} x \mid x \in X \right\}$$

هي مجموعة مولدة صغرى للزمرة  $G$ .

.البرهان.

لنفرض أنَّ  $n = \prod_{i=1}^k p_i$  ولنعرف المجموعة  $N$  بالشكل:

$$N = \left\{ n_i = \frac{n}{p_i} \right\}_{i=1}^k$$

من الواضح أنَّ  $\sum_{i=1}^k \alpha_i n_i = 1$  حيث  $\alpha_1, \dots, \alpha_k \in \mathbf{Z}$  بالتالي يوجد  $\gcd(n_1, n_2, \dots, n_k) = 1$

من جهة أخرى فإنه لأجل كل  $y \in G$  توجد عناصر  $x_j \in X$  تتحقق

$$\text{أنَّ } y = \sum_{j \in J} \beta_j x_j \text{ ، وبالتالي:}$$

$$y = 1 \cdot y = \left[ \sum_{i=1}^k \alpha_i n_i \right] y = \sum_{i=1}^k \sum_{j \in J} \alpha_i \beta_j n_i x_j$$

ومنه فإنَّ  $y \in \langle M \rangle$  ، وهذا يبين أنَّ المجموعة  $M$  مولدة للزمرة التبديلية الحرة  $G$ .

لنفرض جدلاً أن المجموعة  $M$  ليست  $S$ -مستقلة، عندئذ ودون المساس بعمومية المسألة  
لفرض أنه لأجل  $n_1 \in N$  يوجد عنصر  $X \in M \setminus \{n_1 z\}$  بحيث إن  $z \in X$  ، وبالتالي  
توجد مجموعات جزئية منتهية:

$$\left\{ n_i x_j \right\}_{j \in J}^{1 \leq i \leq k} \subseteq M \setminus \{n_1 z\}, \left\{ \alpha_{i,j} \right\}_{j \in J}^{1 \leq i \leq k} \subset \square$$

تحقق أن:

$$n_1 z = \sum_{j \in J, 1 \leq i \leq k} \alpha_{i,j} (n_i x_j)$$

وهنا نميز الحالتين:

أولاً. إذا كان  $-n_1 z + \sum_{j \in J, 1 \leq i \leq k} \alpha_{i,j} (n_i x_j) = 0$  ، وبما أن  
المجموعة  $X$  مستقلة خطياً فإن  $n_1 = 0$  وهذا تناقض.

ثانياً. إذا كان  $n_1 z = \sum_{j \in J, 1 \leq i \leq k} \alpha_{i,j} (n_i x_j)$  ، عندئذ فإن  $\{x_j\}_{j \in J}$   
تكتب بالشكل:

$$\sum_{\substack{j \in J, 1 \leq i \leq k \\ x_j \neq z}} \alpha_{i,j} (n_i x_j) + \sum_{\substack{j \in J, 1 < i \leq k \\ x_j = z}} \alpha_{i,j} (n_i z) - n_1 z = 0$$

وبالتالي:

$$\sum_{\substack{j \in J, 1 \leq i \leq k \\ x_j \neq z}} \alpha_{i,j} (n_i x_j) + \left( \sum_{\substack{j \in J, 1 < i \leq k \\ x_j = z}} [\alpha_{i,j} n_i] - n_1 \right) z = 0$$

وبما أن المجموعة  $X$  مستقلة خطياً فإن:

$$\sum_{j \in J, 1 < i \leq k} [\alpha_{i,j} n_i] - n_1 = 0$$

وبالتالي فإن:

$$n_1 = \sum_{j \in J, 1 < i \leq k} \alpha_{i,j} n_i$$

## دراسة في المجموعات المولدة الصغرى لزمرة تبديلية

ولما كان  $p_1 = \gcd(n_1, n_2, \dots, n_k) = 1$  فإن  $\gcd(n_1, \dots, n_k) = p_1$  وهذا تناقض لأنَّ عدد أولي.

ما سبق نجد أنَّ الفرض الجدلي خاطئ وبالتالي المجموعة  $M$  هي  $S$ -مستقلة. ومما سبق نجد أنَّ  $M$  هي مجموعة مولدة صغرى لزمرة  $G$ .

### المراجع العلمية:

- [1]– M. Herbk and P. Ruzicka, "Characterization of Abelian Group With Minimal generating Set," *Quaestiones Mathematicae*, Vol. 38, no. 1, pp. 103–120, 2015.
- [2]– P. Ruzicka, "Abelian groups with a minimal generating set," *Quaestiones Mathematicae*, Vol. 33, no. 2, pp. 147–153, 2010.
- [3]– J. J. Rotman, *An Introduction to the Theory of Groups*, 4th ed., Springer– Verlag , New York, 1995.
- [4]– L. Fuchs, *Infinite Abelian Groups*, Vol. I, *Pure and Applied Mathematics*, Vol. 36, Academic Press, New York, 1970.
- [5]– G. Gratzer, *Universal Algebra*, D. Van Nostrand Company, Princeton, New Jersey, 1968.
- [6]– A. G. Kurosh, *The Theory of Groups*, Vols. I, II, AMS Chelsea Publishing, Providence, RI, 1960.